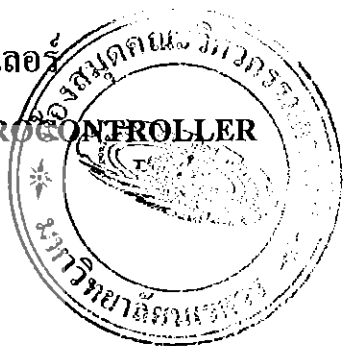
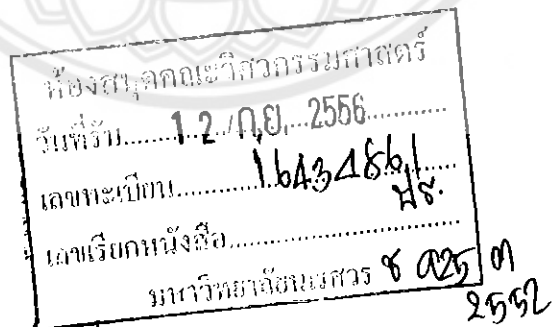


ตู้แช่รักซีนควบคุมด้วยไมโครคอนโทรลเลอร์

VACCINE REFRIGERATOR CONTROL WITH MICROCONTROLLER



นายไชยศิริ เนตรแก้ว รหัส 49364011
นายศิริชัย ศิรุณานนท์ รหัส 49364295



ปริญญาอนิพนธ์นี้เป็นส่วนหนึ่งของการศึกษาหลักสูตรปริญญาวิศวกรรมศาสตรบัณฑิต
สาขาวิชาชีวกรรมไฟฟ้า ภาควิชาชีวกรรมไฟฟ้าและคอมพิวเตอร์
คณะวิศวกรรมศาสตร์ มหาวิทยาลัยนเรศวร
ปีการศึกษา 2552



ใบรับรองปริญญานิพนธ์

ชื่อหัวข้อโครงการ ศูนย์แลกเปลี่ยนความคุ้มค่าชีวิตในโกรคอนโทรัลเลอร์
ผู้ดำเนินโครงการ นายไชยศรี เนตรแก้ว รหัส 49364011
 นายศรีชัย ศิรุณหิบาลันท์ รหัส 49364295
ที่ปรึกษาโครงการ ดร.มนติษา สงวนจันทร์
สาขาวิชา วิศวกรรมไฟฟ้า
ภาควิชา วิศวกรรมไฟฟ้าและคอมพิวเตอร์
ปีการศึกษา 2552

คณะกรรมการศาสตร์ มหาวิทยาลัยนเรศวร อนุมัติให้ปริญญานิพนธ์ฉบับนี้เป็นส่วนหนึ่ง
ของการศึกษาตามหลักสูตรวิศวกรรมศาสตรบัณฑิต สาขาวิชาวิศวกรรมไฟฟ้า

.....ที่ปรึกษาโครงการ

(ดร.มนติษา สงวนจันทร์)

.....กรรมการ

(ดร.อนันตชัย อุย়েগাও)

.....กรรมการ

(ดร.สุภารัตน์ พลพิทักษ์ชัย)

ชื่อหัวข้อโครงการ	ศูนย์เชี่ยวชาญความคุณค่าวัยในโครงการฯ	
ผู้ดำเนินโครงการ	นายไชยศรี เนตรแก้ว	รหัส 49364011
	นายศิริชัย ศิรุษพินานนท์	รหัส 49364295
ที่ปรึกษาโครงการ	ดร.นฤมิตา สงวนจันทร์	
สาขาวิชา	วิศวกรรมไฟฟ้า	
ภาควิชา	วิศวกรรมไฟฟ้าและคอมพิวเตอร์	
ปีการศึกษา	2552	

บทคัดย่อ

โครงการนี้เป็นการประดิษฐ์ศูนย์เชี่ยวชาญความคุณค่าวัยในโครงการฯ โดยใช้เพลตฟอร์มเป็นตัวทำความเย็นแบบพีไอดี (PID Controller) และศึกษาทฤษฎีของการควบคุมแบบพีไอดีด้วยวิธีการของ Ziegler-Nichols ในการปรับแต่งค่าพารามิเตอร์ โดยวิธีการปรับอัจฉริยะกันเองของตัวควบคุมพีไอดีจะค้องทำการทดลองเพื่อนำผลการทดลองมาคำนวณหาสมการค่าพารามิเตอร์ K_p , K_i และ K_d ในการควบคุมอุณหภูมิของอากาศภายในศูนย์เชี่ยวชาญ จากผลการทดลองศูนย์เชี่ยวชาญความคุณค่าวัยในโครงการฯ มีความสามารถในการทำความเย็นให้ได้อย่างมีประสิทธิภาพที่ตั้งค่าไว้โดยควบคุมอุณหภูมิได้ในช่วง 5 - 8 องศาเซลเซียส

Project title	Vaccine Refrigerator Control with Microcontroller		
Name	Mr. Chaisiri Natkaew	ID. 49364011	
	Mr. Sirichai Sirawutnanon	ID. 49364295	
Project advisor	Miss Mutita Songjun, Ph.D.		
Major	Electrical Engineering		
Department	Electrical and Computer Engineering		
Academic year	2009		

Abstract

This project aim to invent the vaccine refrigerator control with microcontroller which is PID Controller refrigeration by using peltier and study the PID theory with Ziegler-Nichols mean of parameter setting. The mean of value adjustment of PID Controller has to experiment and calculate the K_p , K_i and K_d parameter equation from the result of the experiment in the temperature control of the air inside the vaccine refrigerator. The result of the project was found that the vaccine refrigerator control with microcontroller can refrigerate as temperature setting of 5 – 8 °C.

กิตติกรรมประกาศ

โครงการนิเทศน์ ได้รับความคุ้มครองในโครงการโกรลเดอร์ สำเร็จได้ด้วยดี เนื่องจากได้รับคำแนะนำ และความช่วยเหลือรวมทั้งข้อคิดเห็นต่างๆ อันเป็นประโยชน์ในการทำ โครงการนี้จาก ดร. นฤทธิ์ สงวนจันทร์ ขอกราบขอบพระคุณที่ประสิทธิ์ประสานวิชาความรู้ให้กับ คณะผู้ดำเนินงาน

ขอขอบคุณ อาจารย์ประจำภาควิชาวิศวกรรมไฟฟ้าและคอมพิวเตอร์ อาจารย์ประจำ ภาควิชาวิศวกรรมเครื่องกล และคณะกรรมการ ที่ให้ความรู้ ข้อคิดเห็น และความช่วยเหลือในทุกด้าน รวมทั้ง ทางคณะวิศวกรรมศาสตร์ที่ให้ความอื้อเพื่อเครื่องมือ อุปกรณ์ และเงินทุนสำหรับ สนับสนุนบางส่วนในการทำโครงการนี้

สุดท้ายนี้ ขอขอบคุณ พี่ๆ เพื่อนๆ และครอบครัวของคณะผู้จัดทำ ที่ให้คำแนะนำ และ ให้กำลังใจตลอดจนการสนับสนุนในทุกด้าน เป็นอย่างดี งานโครงการนี้สำเร็จลุล่วงไปได้ด้วยดี

นายไชยศิริ เมตรแก้ว

นายศิริชัย ศิรุณภินานนท์

สารบัญ

หน้า

ใบรับรองปริญญาบัณฑิต.....	ก
บทคัดย่อภาษาไทย.....	ข
บทคัดย่อภาษาอังกฤษ.....	ค
กิตติกรรมประกาศ.....	ง
สารบัญ.....	จ
สารบัญตาราง.....	ฉ
สารบัญรูป.....	ญ
 บทที่ 1 บทนำ.....	1
1.1 ที่มาและความสำคัญของ โครงการ	1
1.2 วัตถุประสงค์ของ โครงการ	1
1.3 ขอบเขตของ โครงการ	2
1.4 ขั้นตอนและแผนการดำเนินงาน	2
1.5 ประโยชน์ที่คาดว่าจะได้รับจาก โครงการ	2
1.6 งบประมาณ	3
 บทที่ 2 หลักการและทฤษฎี.....	4
2.1 อุณหภูมิและสเกลอุณหภูมิ	4
2.2 กฎข้อที่หนึ่งและกฎข้อที่สองของเทอร์โมไดนา mik สสำหรับระบบเปิด	6
2.2.1 กฎข้อที่หนึ่งของเทอร์โมไดนา mik สสำหรับระบบเปิด.....	6
2.2.2 กฎอนุรักษ์มวลสำหรับระบบเปิด	7
2.2.3 กฎการอนุรักษ์พลังงานสำหรับระบบเปิด	7
2.2.4 กฎที่ข้อที่สองของเทอร์โมไดนา mik สสำหรับระบบเปิด	8
2.3 การถ่ายโอนความร้อน (Heat transfer)	8
2.4 สมประสิทธิ์สมรรถนะ	8
2.5 ปรากฏการณ์เพลเทียร์เอยฟเฟกต์	9
2.5.1 โครงสร้างเบื้องต้นของอุปกรณ์เพลเทียร์.....	9

สารบัญ (ต่อ)

	หน้า
2.5.2 เบอร์ของเพลเทียร์ หรือ TEC.....	11
2.5.3 ชุดอ่อนของเพลเทียร์.....	13
2.6 ในโกรคอน ไทรอลเดอร์.....	13
2.6.1 สถาปัตยกรรมของในโกรคอน ไทรอลเดอร์.....	15
2.6.2 หน่วยประมวลผลกลางหรือซีพี尤.....	17
2.6.3 หน่วยความจำ.....	18
2.6.4 หน่วยความจำพิเศษ	20
2.6.5 การทำงานของในโกรคอน ไทรอลเดอร์	22
2.7 ในโกรคอน ไทรอลเดอร์ตระกูล AVR.....	23
2.7.1 โครงสร้างและสถาปัตยกรรมของ ATmega 64	23
2.7.2 ตัวถังและตำแหน่งขาสัญญาณของ ATmega 64	25
2.8 การทำงานของเซอร์วัคอุณหภูมิ	28
2.8.1 ขาสัญญาณสำหรับสื่อสารข้อมูลของ ไมค์ลุค DS18S20.....	29
2.8.2 รูปแบบการสื่อสารข้อมูลของ SHT15	29
2.9 รีเลย์	31
2.10 มอเตอร์ไฟฟ้ากระแสตรง (DC MOTOR).....	31
2.10.1 หลักการทำงานของมอเตอร์กระแสตรง	31
2.10.2 การขับและกลับทิศทางของมอเตอร์กระแสตรง (DC MOTOR)	32
2.10.3 การควบคุมความเร็วของมอเตอร์กระแสตรง.....	33
2.11 การควบคุมแบบพีไอดี (PID Control)	33
2.11.1 ทฤษฎีการควบคุมแบบพีไอดี	33
2.11.2 การควบคุมแบบสัดส่วน (Proportion Control).....	34
2.11.3 การควบคุมแบบอินทิกรัล (Integral Control)	34
2.11.4 การควบคุมแบบอนุพันธ์ (Derivative Control).....	35
2.11.5 การตั้งค่าตัวควบคุมผลตอบสนองต่อสัญญาณขั้นบันไดโดยใช้วิธี Ziegler-Nichols	36
2.11.6 การแปลงค่าพารามิเตอร์ และค่าคงที่เวลาของตัวควบคุม	37
2.11.7 ตัวควบคุม พีไอดีแบบคิจิตอล.....	38

สารบัญ (ต่อ)

หน้า

บทที่ 3 ขั้นตอนการดำเนินงานและการออกแบบ.....	40
3.1 การออกแบบวงจรควบคุมระบบตู้เชื้อวัคซีนด้วยไมโครคอนโทรลเลอร์.....	40
3.1.1 วงจรไฟเลี้ยงไมโครคอนโทรลเลอร์.....	42
3.1.2 การต่อใช้งานขอแอดชีดี 16x2	42
3.1.3 การต่อใช้งานสวิตช์.....	43
3.1.4 การต่อใช้งานไอซีวัสดุอุณหภูมิ DS18S20	43
3.1.5 การต่อใช้งาน MAX 232	44
3.1.6 การต่อใช้งานสัญญาณเตือน	45
3.1.7 การต่อใช้งานพัดลม DC 12 โวลต์	45
3.1.8 การต่อใช้งานเพลเทียร์.....	46
3.1.9 การต่อใช้งานในไมโครคอนโทรลเลอร์ตระกูล AVR (ATmega 64)	47
3.2 การเขียนโปรแกรมควบคุมการทำงานของไมโครคอนโทรลเลอร์.....	48
3.2.1 การทำงานของโปรแกรมการควบคุมแบบพีไอดี.....	50
3.2.2 การเขียนโปรแกรมนำค่า $n(t)$ ออกไปควบคุมอุปกรณ์ภายนอก.....	52
3.3 การประกอบนอร์ดควบคุมในไมโครคอนโทรลเลอร์เข้ากับตู้เชื้อวัคซีน	53
บทที่ 4 ผลการทดลองและผลการวิเคราะห์.....	56
4.1 การทดลองหาระยะเวลาที่ตู้เชื้อวัคซีนควบคุมด้วยไมโครคอนโทรลเลอร์ทำงาน	56
4.2 การคำนวณหาค่าพารามิเตอร์ K_p , K_i และ K_d	58
4.3 ผลการทดลอง	61
บทที่ 5 สรุปผลของโครงการ.....	70
5.1 สรุปผลการทดลอง	70
5.2 ปัญหาและการแก้ไข	70
5.3 ข้อเสนอแนะ	71
เอกสารอ้างอิง	72

สารบัญ (ต่อ)

หน้า

ภาคผนวก ก รายละเอียดของ โปรแกรม	73
ภาคผนวก ข รายละเอียดของ ATmega 64	88
ภาคผนวก ค รายละเอียดของ LCD 16x2	95
ภาคผนวก ง รายละเอียดของ TLP250N, IRFP2907, LM2575, POWER RELAY	97
ภาคผนวก จ รายละเอียดของเซ็นเซอร์ DS18S20	113
ภาคผนวก ฉ รายละเอียดของไอซีเบอร์ MAX 232	120
ประวัติผู้ดำเนินโครงการ	122



สารบัญตาราง

ตารางที่	หน้า
2.1 ชื่อขา ตำแหน่งขา ชนิดขาและหน้าที่การทำงานของในโกรคอน โพรเลอร์ ATmega 64.....	26
2.2 การตั้งค่าพารามิเตอร์โดยการวิเคราะห์จากผลตอบสนองต่อสัญญาณขั้นบันได	37
2.3 สัมประสิทธิ์ของตัวควบคุม และค่าคงที่ของเวลา.....	38
4.1 ผลการทดลองหาระยะเวลาที่ตู้แร่รักษาความคุณด้วยในโกรคอน โพรเลอร์ทำงาน เมื่ออุณหภูมิ มีการเปลี่ยนแปลงทุก 0.5 องศาเซลเซียส.....	56
4.2 การคำนวณหาค่าพารามิเตอร์โดยการวิเคราะห์จากผลตอบสนองต่อสัญญาณขั้นบันได โดยใช้วิธี Ziegler-Nichols	59
4.3 การคำนวณหาค่าพารามิเตอร์โดยการวิเคราะห์จากผลตอบสนองต่อสัญญาณขั้นบันได โดยใช้วิธี Ziegler-Nichols	60
4.4 การคำนวณหาค่าสัมประสิทธิ์ของตัวควบคุม และค่าคงที่ของเวลา	60
4.5 ผลการทดลองหาอุณหภูมิในระยะเวลาทุกๆ 1 นาที เมื่อเชคอุณหภูมิ 15.0 องศาเซลเซียส	61
4.6 ผลการทดลองหาอุณหภูมิในระยะเวลาทุกๆ 1 นาที เมื่อเชคอุณหภูมิ 12.0 องศาเซลเซียส	64
4.7 ผลการทดลองหาอุณหภูมิในระยะเวลาทุกๆ 1 นาที เมื่อเชคอุณหภูมิ 10.0 องศาเซลเซียส	67

สารบัญรูป

รูปที่

หน้า

2.1 การเกิดสมดุลระหว่างวัตถุ ก และวัตถุ ข ที่มีอุณหภูมิต่างกัน	4
2.2 เปรียบเทียบสเกลอุณหภูมิในหน่วยต่างๆ.....	6
2.3 เปรียบเทียบลักษณะของระบบปีคและระบบเปี๊ค	7
2.4 แสดงโครงสร้างเบื้องต้นของอุปกรณ์เพลเทียร์	10
2.5 แสดงการเกิดเพลเทียร์ເອີ່ມເພື່ອຕົກ	11
2.6 ความหมายของรหัสເບົອຮ່ອງເພີເທີຣ	12
2.7 ความสัมพันธ์ระหว่างความสามารถการปืนความร้อน (Qc) กับกระแส (I) ที่ຈ່າຍເພີເທີຣ	13
2.8 โครงสร้างและส่วนประกอบหลักเบื้องต้นของในโครงตน ໂກຣຄອນ ໂກຣລເລອຣ	15
2.9 โครงสร้างສານປັດຍຽນຂອງໃນໂກຣຄອນ ໂກຣລເລອຣແບນພຣິນຫີຕັນຫີ່ອຟອນນິວແມນ	16
2.10 โครงสร้างສານປັດຍຽນຂອງໃນໂກຣຄອນ ໂກຣລເລອຣແບນຫຸ້ວ່າວິດ	17
2.11 ส่วนประกอบหลักຂອງຕີ່ພື້ນໃນໃນໂກຣຄອນ ໂກຣລເລອຣ	18
2.12 ກລົດໄກຮັດການກຳນົດຂອງສະເໜີກອຍ່າງ່າຍ	22
2.13 ສານປັດຍຽນພາຍໃນຂອງໃນໂກຣຄອນ ໂກຣລເລອຣ ATmega 64	25
2.14 ຕັດຈິງຂອງ ATmega 64 ແລະ ຕຳແໜ່ງຂາສັ້ນຢູ່າມຕົ້ງ	26
2.15 Block diagram ຂອງ DS18S20	28
2.16 ຮູບປິດຂອງໂມຄູລ DS18S20	29
2.17 Temperature Register Format	29
2.18 Memory Map	30
2.19 ຮີເລີຍ	31
2.20 ວິຊາການໃນຂອງຮີເລີຍ	31
2.21 ແສດ ໂກຣສ້າງທ້າວໄປໝອງນອເຕອົກຮະແສຕຽງ	32
2.22 ແສດແຜນກາພບລື້ອກຂອງການຄວນຄຸນແບນພື້ອອື່ນ	33
2.23 ແສດແຜນກາພບລື້ອກຂອງການຄວນຄຸນແບນສັດສ່ວນ	34
2.24 ແສດແຜນກາພບລື້ອກຂອງການຄວນຄຸນແບນອິນທິກຣັດ	35
2.25 ແສດແຜນກາພບລື້ອກຂອງການຄວນຄຸນແບນອຸ່ພັນຫີ	36
2.26 ກາຮາຄຸນສົມບັດຂອງຮະບົນໂດຍກາວິຄຣະໜ້າຈັກພັດຕອບສັນອົດສັ້ນຢູ່າມຫັ້ນນັ້ນໄດ	37
2.27 ຮູບແສດແຜນກາພກໄລ່ຂອງສັ້ນຢູ່າມສໍາຫັກຕົວຄວນແບນດິຈິຕອລ	38

สารบัญรูป (ต่อ)

รูปที่	หน้า
3.1 ภาพรวมของระบบทั้งหมดในโครงงาน	40
3.2 รูปวงจรควบคุมอุณหภูมิคัววายในโครงคอน โทรลเลอร์	41
3.3 วงจรไฟเลี้ยงในโครงคอน โทรลเลอร์	42
3.4 วงจรขอแอลซีดี	42
3.5 วงรสวิตช์	43
3.6 วงจร DS18S20 ตรวจวัดอุณหภูมิ	43
3.7 วงจร MAX 232 ส่งข้อมูลไปยังคอมพิวเตอร์	44
3.8 วงจร LDR	45
3.9 วงจร BUZZER	45
3.10 วงจรพัดลม DC 12 โวลต์	45
3.11 วงจรจ่ายกระแสไฟฟ้าเพลทีเยอร์	46
3.12 วงจรใช้งานในโครงคอน โทรลเลอร์	47
3.13 รูปโปรแกรม Code Vision AVR C Compiler	48
3.14 การทำงานของโปรแกรม	49
3.15 แผนภูมิการทำงานของโปรแกรมควบคุมพื้ไอเดียเบนคิจitol	51
3.16 แผนภูมิการทำงานของโปรแกรมนำค่า $n(t)$ ออกไปควบคุมอุปกรณ์ภายนอก	52
3.17 รูปการทำงานแบบ PWM ของ $n(t)$	53
3.18 บอร์ดควบคุมในโครงคอน โทรลเลอร์	54
3.19 กล่องควบคุมในโครงคอน โทรลเลอร์	54
3.20 ตู้แซฟว์วัคซีนควบคุมคัววายในโครงคอน โทรลเลอร์	55
4.1 กราฟแสดงผลกระทบเวลาที่อุณหภูมิมีการเปลี่ยนแปลง	58
4.2 การหาคุณสมบัติของระบบโดยการวิเคราะห์จากผลตอบสนองต่อสัญญาณขั้นบันได	59
4.3 กราฟแสดงผลการเปรียบเทียบหาอุณหภูมิที่มีการเปลี่ยนแปลง	63
4.4 กราฟแสดงผลการเปรียบเทียบหาอุณหภูมิที่มีการเปลี่ยนแปลง	66
4.5 กราฟแสดงผลการเปรียบเทียบหาอุณหภูมิที่มีการเปลี่ยนแปลง	69

บทที่ 1

บทนำ

1.1 ที่มาและความสำคัญของโครงการ

วิทยาศาสตร์และเทคโนโลยีเป็นปัจจัยสำคัญในการพัฒนาประเทศทั้งในด้านวิทยาการ ความก้าวหน้าทางด้านเครื่องมือการแพทย์ เครื่องมือทางด้านการเกษตร เครื่องมือทางด้านการทำอาหาร เป็นต้น ซึ่งวิทยาการความก้าวหน้าทางด้านเครื่องมือแพทย์มีความสำคัญมาก ภายในประเทศไทย เป็นสิ่งที่ช่วยพัฒนาให้คุณภาพชีวิตของประชากรภายในประเทศไทยนั้นๆ ดีขึ้น จาก การรักษาพยาบาล การให้บริการสาธารณสุขด้วยเครื่องมือที่ทันสมัยและมีประสิทธิภาพรวมไปถึง ยาและเวชภัณฑ์ต่างๆ เนื่องจากจำนวนประชากรที่มีการเจ็บป่วยได้เข้ารับการรักษาพยาบาลเป็น จำนวนมาก เป็นเหตุผลให้มีปริมาณยาและเวชภัณฑ์เพิ่มมากขึ้นเพื่อเป็นการรองรับการใช้รักษาผู้ที่ เจ็บป่วย ซึ่งยาและเวชภัณฑ์บางชนิดนั้นต้องการเก็บรักษาในสถานที่ที่มีอุณหภูมิที่พอเหมาะสมที่ โอดมีลักษณะเป็นตู้แช่แข็งขนาดเล็กกะทัดรัดขนาดบรรจุ 4 ลิตร โดยประมาณ หน่วยแก๊สการใช้ งานในโรงพยาบาล คลินิก อนามัย ที่มีพื้นที่จำกัด เพื่อเป็นการเก็บรักษายาและเวชภัณฑ์ให้มี คุณภาพคงเดิม มีขนาดบรรจุภัณฑ์ที่เล็ก ทำให้เกิดความเป็นระเบียบ สะดวกในการเก็บรักษาและ การนำออกมายังในแต่ละครั้ง

โครงการนี้จึงเป็นการศึกษาค้นคว้าหลักการทำงานของเพลเทียร์เซ็กต์ ในการทำความเย็นภายในตู้แช่แข็ง ให้มีความเย็นอยู่ในภาวะสมดุลตามที่ต้องการ เพื่อเป็นประโยชน์ต่อ การแพทย์ในการรักษาคุณภาพของวัสดุน้ำเกล็ดที่มีระบบควบคุมความเย็น ตลอดจนสามารถนำไป ประยุกต์ใช้เพลเทียร์ในระบบทำความเย็นแบบต่างๆ ได้

1.2 วัตถุประสงค์ของโครงการ

สร้างตู้แช่แข็งโดยใช้ทฤษฎีการควบคุมแบบพีไอดีที่นำไปใช้ควบคุมเพลเทียร์เซ็กต์ เพื่อรักษาความสมดุลของอุณหภูมิภายในตู้แช่แข็ง

1.3 ขอบเขตของโครงการ

- 1) ศึกษาเพลทียร์ເອົບເຟັກຕິແລະ ໃນໂຄຣຄອນ ໂໂຮລເລອຣ໌
- 2) ສ້າງຕູ້ແຂ່ວັດທີ່ຄວນຄຸມອຸນຫຍຸນໄດ້ຮ່ວມວ່າງ 5 ຕື່ 8 ອົງຄາຫລເຊີຍສ
- 3) ສາມາດຄວນຄຸມອຸນຫຍຸນໃຈກະຕິທີ່ມີຄວາມຈຸ 4 ລິຕຣ
- 4) ສາມາດເຕືອນເນື່ອກະຕິກຳໄໝໄດ້ປັດໄດ້
- 5) ເພີ້ນຄໍາສັ່ງຄວນຄຸມຮະບນ ໃນໂຄຣຄອນ ໂໂຮລເລອຣ໌ ດ້ວຍໂປຣແກຣມກາຍາເຊີ

1.4 ຂໍ້ຕອນແລະ ແຜນການດໍາເນີນງານ

ຮາຍລະເອີຍຄ	ປີ 2555						
	ນ.ຄ.	ກ.ພ.	ນີ.ຄ.	ແມ.ບ.	ພ.ຄ.	ນີ.ບ.	ກ.ຄ.
1) ຮົບຮັມຂໍ້ອນນຸດ							
2) ສຶກນາການທຳມະນຸດ							
3) ຕິດຕັ້ງແລະ ທົດສອບ							
4) ປັບປຸງແກ້ໄຂແລະ ວິເຄຣະໜີ							
5) ສຽບປຸກການດໍາເນີນງານ							
6) ຈັດທຳປົງປົງພາບສົມບູນ							

1.5 ປະໂຍບນໍ້ທີ່ຄາດວ່າຈະໄດ້ຮັບຈາກໂຄຣງານ

- 1) ເຂົ້າໃຈຫລັກການທຳມະນຸດ ຢ່າງໃນໂຄຣຄອນ ໂໂຮລເລອຣ໌
- 2) ເຂົ້າໃຈຄື່ງການທຳມະນຸດ ໃນໂປຣແກຣມກາຍາເຊີ
- 3) ເຂົ້າໃຈຫລັກການທຳມະນຸດ ພັດທິບໍດາເຟັກຕິ
- 4) ລັດຄ່າໃຊ້ຈ່າຍໃນການນຳເຂົ້າຕູ້ແຂ່ວັດທີ່ມີຄວາມແພງຈາກຕ່າງປະເທດ
- 5) ສາມາດນຳເຂົ້າຕູ້ແຂ່ວັດທີ່ມີຄວາມຈຸ ໃນໂຄຣຄອນ ໂໂຮລເລອຣ໌ ປະໂຍບນໍ້ໃຫ້ການແພ່ງຍໍໄດ້

1.6 งบประมาณในการทำโครงการ

1) ค่าอุปกรณ์ที่ทำความเข็นและอิเล็กทรอนิกส์	1,500 บาท
2) ค่าเอกสาร	300 บาท
3) ค่าวัสดุอื่นๆ	200 บาท
รวมเป็นเงินทั้งสิ้น (สองพันบาทถ้วน)	2,000 บาท



บทที่ 2

หลักการและทฤษฎี

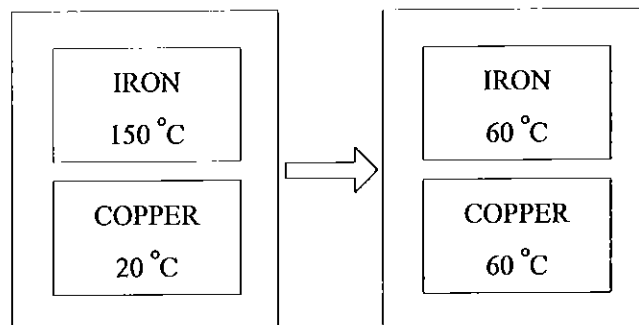
ในบทที่ 2 นี้จะอธิบายถึงหลักการและทฤษฎี ที่รวมรวมเพื่อนำมาใช้ประกอบการทำโครงการโดยมีความสำคัญที่อธิบายถึงองค์ประกอบของอุปกรณ์ต่างๆและการทำงานของโปรแกรมรวมถึงทฤษฎีที่นำมาใช้งานควบคู่กับการเขียนโปรแกรม เพื่อให้ได้ผลงานออกแบบที่ดีและนำไปประยุกต์ใช้ได้จริง

2.1 อุณหภูมิและสเกลอุณหภูมิ

แม้ว่าเราจะคุ้นเคยกันดีว่าอุณหภูมิ (Temperature) เป็นสมบัติที่ใช้บอกรความร้อนหรือเย็นของวัตถุอย่างไรก็ตาม เราไม่สามารถบอกระดับอุณหภูมิจากความรู้สึกเพียงอย่างเดียว ยิ่งไปกว่านั้น บางครั้งการพิจารณาความร้อนหรือเย็นจากความรู้สึกอาจมีความผิดพลาดได้ เช่น เรามีความรู้สึกว่าวัตถุที่เป็นโลหะจะเย็นกว่าวัตถุที่เป็นไม้ แม้ว่าวัตถุทั้งสองจะมีอุณหภูมิเท่ากันก็ตาม

จากการที่ สมบัติของสารหลายอย่าง จะเกิดการเปลี่ยนแปลง ตามอุณหภูมิ โดยมีพิสัยทางที่มีขนาดของการเปลี่ยนแปลงที่แน่นอน pragmatically ผลดังกล่าวได้ถูกนำมาเป็นหลักเกณฑ์ในการวัดอุณหภูมิที่มีความแม่นยำ

เมื่อวัตถุที่มีอุณหภูมิต่างกันมาสัมผัสกันจะทำให้เกิดการถ่ายโอนความร้อนจากวัตถุที่มีอุณหภูมิสูงกว่าไปยังวัตถุที่มีอุณหภูมิต่ำกว่า จนกระทั่งอุณหภูมิของวัตถุทั้งสองเท่ากันหรือวัตถุทั้งสองอยู่ในสมดุลความร้อน ซึ่งที่สภาวะดังกล่าวการถ่ายโอนความร้อนจะสิ้นสุดลง



รูปที่ 2.1 การเกิดสมดุลระหว่างวัตถุ ก และวัตถุ ข ที่มีอุณหภูมิต่างกัน

กฎข้อที่ศูนย์ของเทอร์โน้ไดนาไมกส์ (The zeroth law thermodynamics) กล่าวไว้ว่าวัตถุสองชิ้นอยู่ในสมดุลกับวัตถุชิ้นที่สาม แสดงว่าวัตถุสองชิ้นจะอยู่ในสมดุลของความร้อนต่อกันด้วยกฎข้อนี้เป็นกฎที่ได้จากการทดลองและเป็นหลักการในการวัดอุณหภูมิของวัตถุต่างๆ ด้วยเครื่องมือวัด โดยการเห็นวัตถุชิ้นที่สามเป็นเครื่องมือวัดโดยเนื้อใช้เครื่องมือวัดระดับอุณหภูมิของวัตถุสองชิ้นนี้แล้วพบว่ามีค่าเท่ากัน จากหลักการ ในกฎข้อที่ศูนย์ของเทอร์โน้ไดนาไมกส์ สามารถระบุได้ว่าวัตถุสองชิ้นอยู่ในสมดุลความร้อนต่อกันได้ แม้ว่าวัตถุสองชิ้นนั้นจะไม่ได้สัมผัสกันโดยตรงก็ตาม

สเกลอุณหภูมิ (Temperature Scale) ที่ใช้ในระบบ SI คือ องศาเซลเซียส ($^{\circ}\text{C}$) ซึ่งถูกกำหนดโดย A. Celsius นักคณารากตรีชาวสวีเดน (ค.ศ. 1701 - 1744) ส่วนสเกลอุณหภูมิที่ใช้ในระบบอังกฤษคือ องศาฟาราเคนไฮต์ ($^{\circ}\text{F}$) กำหนดโดย G. Fahrenheit นักประดิษฐ์ชาวเยอรมัน (ค.ศ. 1686 – 1736) สเกลอุณหภูมนักจะกำหนดอ้างอิงกับจุดอ้างอิงหลัก สองจุดคือจุดเยือกแข็งและจุดเดือด มีระดับอุณหภูมิที่เป็น 0 และ 100 องศาเซลเซียส ตามลำดับในขณะที่สเกลฟาราเคนไฮต์ กำหนดให้เป็น 32 และ 212 ฟาราเคนไฮต์ ตามลำดับ

ในทางเทอร์โน้ไดนาไมกส์ (Thermodynamics scale of temperature) ซึ่งสเกลนี้ถูกกำหนดขึ้นมาจากพื้นฐานของกฎข้อที่สองของเทอร์โน้ไดนาไมกส์ สเกลอุณหภูมิของเทอร์โน้ไดนาไมกส์ในระบบ SI คือสเกลเคลวิน (Kelvin scale) กำหนดโดย Lord Kelvin (ค.ศ. 1824 - 1907) โดยใช้สัญลักษณ์เป็น K (ไม่มีเครื่องหมายองศา) ความสัมพันธ์ระหว่างสเกลเคลวินกับองศาเซลเซียสเป็นดังนี้

$$T(K) = T(^{\circ}\text{C}) + 273.15 \quad (2.1)$$

ในระบบอังกฤษ สเกลอุณหภูมิทางเทอร์โน้ไดนาไมกส์ คือสเกลแรนคิน (R) กำหนดโดย William Rankine (ค.ศ. 1829-1872) ความสัมพันธ์ระหว่างสเกลแรนคินกับองศาฟาราเคนไฮต์เป็นดังนี้

$$T(R) = T(^{\circ}\text{F}) + 459.67 \quad (2.2)$$

อุณหภูมิในระบบ SI และระบบอังกฤษมีความสัมพันธ์กันดังนี้

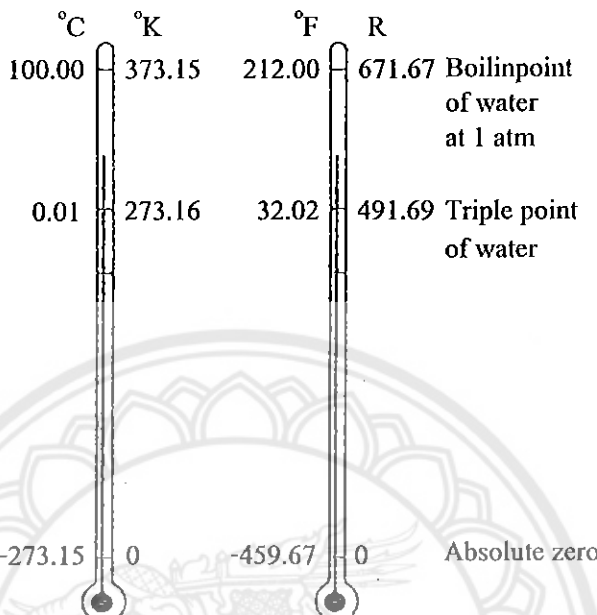
$$T(R) = 1.8 T(K) \quad (2.3)$$

$$T(^{\circ}\text{F}) = 1.8 T(^{\circ}\text{C}) + 32 \quad (2.4)$$

สำหรับขนาดของผลต่างของอุณหภูมิ (ΔT) ของอุณหภูมิในหน่วยต่างๆ มีความสัมพันธ์กันดังนี้

$$\Delta T(R) = \Delta(^{\circ}\text{F}) = 1.8 \Delta T(K) = 1.8 \Delta T(^{\circ}\text{C}) \quad (2.5)$$

จากความสัมพันธ์หมายความว่าเมื่ออุณหภูมิเพิ่มขึ้น 10 องศาเซลเซียส จะมีค่าเท่ากับ อุณหภูมิเพิ่มขึ้น 10 เคลวิน และจะเท่ากับอุณหภูมิเพิ่มขึ้น 18 องศาฟarenไฮต์ หรือ 18 แรงคิน ความสัมพันธ์ของสเกลอุณหภูมิที่กล่าวมาทั้งหมดเป็นดังแสดงในรูปที่ 2.2



รูปที่ 2.2 เปรียบเทียบสเกลอุณหภูมิในหน่วยต่างๆ

2.2 กฎข้อที่หนึ่งและกฎข้อที่สองของเทอร์โนไนามิกส์สำหรับระบบเปิด

2.2.1 กฎข้อที่หนึ่งของเทอร์โนไนามิกส์สำหรับระบบเปิด

ระบบเปิดหรือปริมาตรควบคุม (Open systems หรือ Control volumes) คือระบบที่มีการไหลของมวลผ่านขอบเขตของระบบมีอุปกรณ์ ในงานวิศวกรรมศาสตร์นิยมใช้ลักษณะเป็นระบบเปิด เช่น กังหัน (Radiators) ปั๊ม (Pumps) เครื่องอัด (Compressors) ท่อลำเลียง (Pipes) หัวฉีด (Nozzles) หม้อน้ำรadiator และเครื่องแลกเปลี่ยนความร้อน (heat exchangers) เป็นต้น

ลักษณะของระบบเปิดมีหลายรูปแบบ กล่าวคือ อาจมีมวลเข้าหรือออกจากระบบ เพียงอย่างใดอย่างหนึ่ง อาจมีมวลเข้าและออกจากระบบ ในขณะเดียวกัน ก็ได้ โดยขึ้นกับลักษณะและการใช้งานระบบเนื่องจากระบบเปิดมีการถ่ายโอนทั้งมวลและพลังงาน ดังนี้ ในการวิเคราะห์ระบบเปิด จึงต้องคำนึงถึงผลที่เกิดจาก การปราบภาระที่ทั้งสองส่วน สำหรับผลของการถ่ายโอนมวล จะเป็นไปตามกฎของอนุรักษ์มวลและผลิตผลที่เกิดจาก การถ่ายโอนพลังงานจะเป็นไปตามกฎอนุรักษ์ พลังงาน

2.2.2 กฎอนุรักษ์มวลสำหรับระบบเปิด

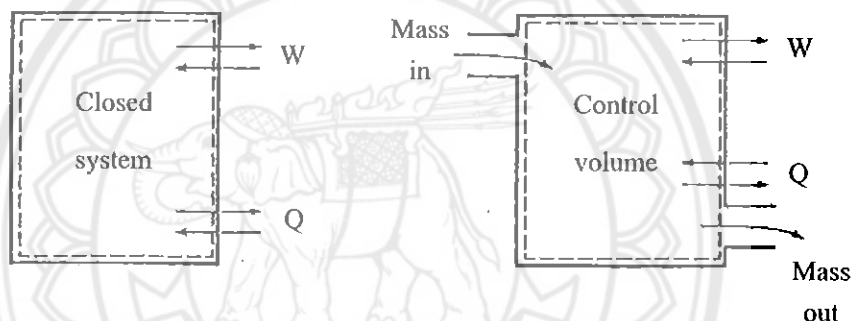
กฎอนุรักษ์ระบบเปิดได้ เป็นดังแสดงเป็นไปตามสมการดังนี้

$$[\text{มวลที่เข้าสู่ระบบ}] - [\text{มวลที่ออกจากระบบ}] = [\text{มวลในระบบที่เปลี่ยนแปลงไป}]$$

2.2.3 กฎการอนุรักษ์พลังงานสำหรับระบบเปิด

กฎอนุรักษ์พลังงานสำหรับระบบเปิดพบว่าการเปลี่ยนแปลงพลังงานในระบบปิดเกิดจากผลของการถ่ายโอนพลังงานในรูปความร้อนและงาน ตามสมการ ได้ดังนี้

$$Q - W = \Delta E \quad (2.6)$$



รูปที่ 2.3 เปรียบเทียบลักษณะของระบบปิดและระบบเปิด

สำหรับระบบเปิดซึ่งมีการถ่ายโอนมวลผ่านขอบเขตของระบบในระหว่างกระบวนการนอกจากจะมี การถ่ายโอนพลังงาน ในรูปความร้อนและงานเหมือนกับระบบปิด แล้วพบว่ามีการถ่ายโอนพลังงาน นี้ออกจากผลของการโอนมวลด้วย กล่าวคือ ในขณะที่มวลไหลเข้าสู่ระบบ มวลนั้นจะนำเอาพลังงานส่วนหนึ่งเข้าสู่ระบบและในลักษณะเดียวกันสำหรับมวลที่ไหลออกจากระบบจะนำเอาพลังงานส่วนหนึ่งออกจากระบบด้วยเช่นกัน ดังนั้นสมการกฎอนุรักษ์พลังงาน สำหรับระบบเปิดจึงเป็นดังนี้

$$Q - W + \sum E_{fi} - \sum E_{fo} = \Delta E_{cv} \quad (2.7)$$

2.2.4 กฎที่ข้อที่สองของเทอร์โนไคนามิกส์สำหรับระบบเปิด

ถ้อยคำกล่าวในกฎข้อที่สองทางเทอร์โนไคนามิกส์ที่สำคัญมี 2 ถ้อยคำกล่าว คือ ถ้อยคำกล่าวของ Kelvin – Planck ซึ่งเกี่ยวข้องกับกลไกรความร้อนและกล่าวไว้แล้วข้างต้น ส่วนถ้อยคำกล่าวของ Clausius จะเกี่ยวข้องกับ เครื่องทำความเย็น และปั๊มความร้อน ถ้อยคำกล่าวของ Clausius กกล่าวไว้ดังนี้ “เป็นไปไม่ได้ ที่จะสร้างอุปกรณ์ที่สามารถถ่ายโอนความร้อน จากบริเวณที่มีอุณหภูมิต่ำไปยังบริเวณที่มีอุณหภูมิสูง โดยปราศจากการป้อนงานให้อุปกรณ์นั้น”

2.3 การถ่ายโอนความร้อน (Heat transfer)

ความร้อนเป็นพลังงานรูปหนึ่ง ดังนั้นความร้อนมีหน่วยเหมือนกับพลังงานรูปอื่นๆ โดยระบบ SI ความร้อนมีหน่วยมาตราฐานเป็น กิโลจูล (kJ) ส่วนระบบอังกฤษมีหน่วยเป็น บีทีู (Btu)

การถ่ายโอนความร้อน ระหว่างแหล่ง 2 แหล่ง ที่มีความแตกต่างของอุณหภูมิก็ต้องได้ว่า เป็นกระบวนการที่ผันกลับไม่ได้ของพิจารณา กระปองน้ำอัดลมที่เย็น และถ้าต้องการให้กระปองน้ำอัดลมเย็นตัวลงกระทั้งนี้มีอุณหภูมิกระทั้งนี้มีอุณหภูมิเท่าเดิมอีกครั้งจะทำได้惟其เดียวคือแซ่ในเครื่องทำความเย็น

ด้วยความแตกต่างของอุณหภูมิระหว่างแหล่ง 2 แหล่งมีค่าน้อย อัตราเร็วในการถ่ายโอนความร้อนก็จะยิ่งน้อยลงคัวขยเข่นกัน

2.4 สัมประสิทธิ์สมรรถนะ

ประสิทธิภาพของเครื่องทำความเย็นถูกแสดงในเทอมของสัมประสิทธิ์สมรรถนะ (Coefficient of Performance; COP) และแทนด้วยสัญลักษณ์ COP_R วัดถูกประสงค์ของเครื่องทำความเย็นคือ การกำจัดความร้อน (Q_L) ออกจากเครื่องทำความเย็น ดังนั้นเพื่อให้บรรลุวัตถุประสงค์ซึ่งจำเป็นต้องมีการป้อนงาน $W_{net,in}$ เช่นไปค่า COP ของเครื่องทำความเย็นจึงสามารถแสดงได้ด้วยสูตรดังต่อไปนี้

$$COP_R = \frac{Q_L}{W_{net,in}} \quad (2.8)$$

นอกจากนี้ความสัมพันธ์ดังแสดงในสมการ (2-7) ยังสามารถแสดงในรูปของอัตราโดยแทนที่ Q_L ด้วย Q_L และ $W_{net,in}$ และจากกฎอนุรักษ์พลังงานของอุปกรณ์ที่ทำงานแบบวถูกจกร

$$W_{net,in} = Q_H - Q_L \text{ (kJ)} \quad (2.9)$$

แทนสมการ (2.9) ลงในสมการ (2.8) จะได้

$$COP_R = \frac{Q_L}{Q_H - Q_L} = \frac{1}{Q_H/Q_L} \quad (2.10)$$

ข้อสังเกตคือค่า COP_R อาจมีค่ามากกว่าหนึ่งได้นั้นหมายความว่าปริมาณความร้อนที่ถูกกำจัดออกจากซองทำความเย็นอาจมากกว่าปริมาณที่ป้อนเข้าไปได้ซึ่งจะมีความแตกต่างกับค่าประสิทธิภาพเชิงความร้อนที่มักมีค่าเดินหนึ่งไม่ได้

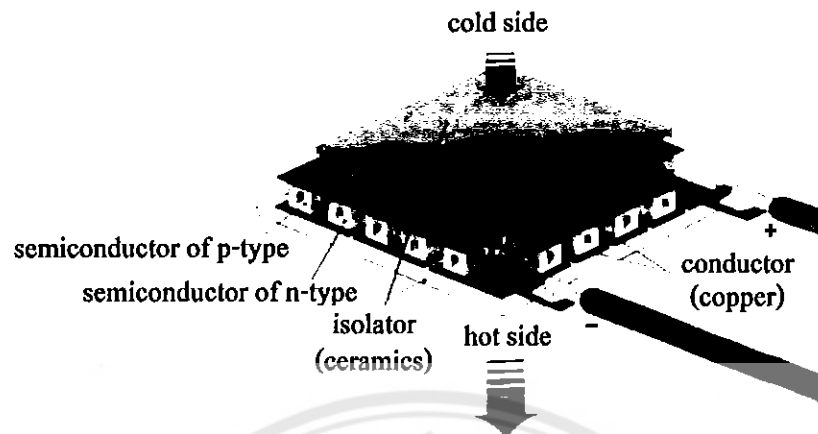
2.5 ปรากฏการณ์เพลเทียร์ເອົຟຝົກຕໍ່

ปรากฏการณ์เพลเทียร์ເອົຟຝົກຕໍ່ เกิดขึ้นเมื่อนำอากาศແສໄຟຟ້າ ส่งผ่าน โลหะที่มีความแตกต่างกัน 2 ชนิดหรือสารกึ่งตัวนำที่ต่างชนิดซึ่งนำมาประยุกต์ (สร้างจังชั่น) ในด้านหนึ่งเกิดความร้อนขึ้นกับจังชั่นอีกด้านที่ตรงข้ามกันจะໄລ่ความร้อนออก ปรากฏการณ์นี้จึงถูกนำมาทำเป็นตัวໂຫຼດສະເຕຕ ຂີຕເດວີ່

2.5.1 ໂຄງສ້າງເບື້ອງດັນຂອງອຸປະກຣົມ໌ພෙລທීຍ໌

ໂຄງສ້າງເບື້ອງດັນຂອງອຸປະກຣົມ໌ພෙລທීຍ໌ ປະກອບດ້ວຍ ສາຮ (N-type) ແລະ (P-type) ບິສນັກ ເກລູໄຣທ໌ (ສ້າງມາຈາກສາຮຜສນບິສນັກ (Bi) ກັບເກລູເຣີບມ (Te) ວາງລົບນູາຮອງເຊຣາມິກ) ທີ່ສ້າງເປັນຮູປ່ງລູກເຕ້າເລັກໆ ຈຳນວນນາກ ແລ້ວເວົາແພັນເຊຣາມິກ ນາປະກນໄວ້ທີ່ສອງດ້ານ ໃນຂະໜາດທີ່ສາຮ ຜົນິກ (N-type) ແລະ (P-type) ຜົ່ງທຳເປັນເນື້ອອັດລອຍສ໌ ຮະຫວ່າງບິສນັກ (Bi) ກັບເກລູເຣີບມ (Te) ທີ່ສອງນີ້ມີຄວາມແຕກຕ່າງໃນຄວາມໜາແນ່ນອີເລີກຕອນທີ່ອຸພ່າກູນີເທິງກັນລູກເຕ້າເຊັນິດ (P-type) ເປັນໂລຫະທີ່ມີອີເລີກຕອນໄມ່ເພີຍພອ (Deficiency of electron) ໃນຂະໜາດທີ່ລູກເຕ້າເຊັນິດ (N-type) ເປັນໂລຫະທີ່ມີອີເລີກຕອນຫາແນ່ນນາກ (Excess of electron) ເນື້ອກະແສໄຟຟ້າໄຫລ່າວ່າມີໂຄງສ້າງດັນຂອງອຸປະກຣົມ໌ພෙລທීຍ໌ ທີ່ໃຫຍ່ກັນ ທຳໄໝດ້ານທີ່ເກີດຄວາມຮ້ອນຂຶ້ນ ແລະ ສາຮຜົນເອັນເກີດຄວາມເຢັ້ນຂຶ້ນ ເນື້ອອຸປະກຣົມ໌ທີ່ກຳນົດໃຫຍ່ກັນ ທຳໄໝດ້ານທີ່ເກີດຄວາມຮ້ອນ ມີຄວາມຮ້ອນເພີ່ມຂຶ້ນ ແລະ ດ້ານທີ່ເຢັ້ນ ມີຄວາມເຢັ້ນນາກຂຶ້ນ ໂດຍທ່ວໄປ ເພົ່ມເພົ່ມໃຫຍ່ກັນ ທຳໄໝດ້ານທີ່ເກີດຄວາມຮ້ອນ ມີຄວາມຮ້ອນເພີ່ມຂຶ້ນ ແລະ ດ້ານທີ່ເຢັ້ນ ມີຄວາມເຢັ້ນນາກຂຶ້ນ ໂດຍທ່ວໄປ ຈະໃຫ້ເພົ່ມເພົ່ມໃຫຍ່ກັນ ທຳໄໝດ້ານທີ່ເກີດຄວາມຮ້ອນ ມີຄວາມຮ້ອນເພີ່ມຂຶ້ນ ແລະ ດ້ານທີ່ເຢັ້ນ ມີຄວາມເຢັ້ນນາກຂຶ້ນ ໂດຍທ່ວໄປ ຈະໃຫ້ເພົ່ມເພົ່ມໃຫຍ່ກັນ ທຳໄໝດ້ານທີ່ເກີດຄວາມຮ້ອນ ມີຄວາມຮ້ອນເພີ່ມຂຶ້ນ ແລະ ດ້ານທີ່ເຢັ້ນ ມີຄວາມເຢັ້ນນາກຂຶ້ນ ໂດຍທ່ວໄປ

ปริมาณความร้อน (หรือความเย็น) ที่เกิดขึ้นคิดมาจากการเอาค่ายกกำลังสองของกระแสสูญด้วยค่าความต้านทาน ซึ่งได้จากสูตร $Watt = I^2R$



รูปที่ 2.4 แสดงโครงสร้างเบื้องต้นของอุปกรณ์เพลทเทียร์

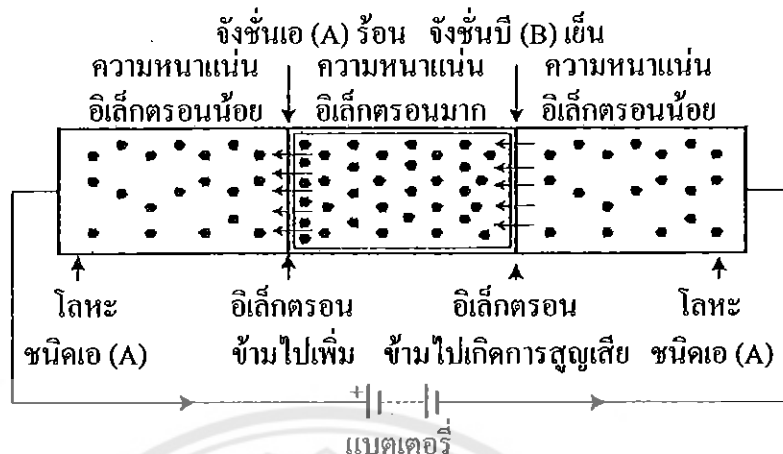
ปกติความต่างเรื่องอุณหภูมิระหว่างค้านร้อนกับค้านเย็นต่างกันไม่น้อยกว่า 65 องศาเซลเซียส และสามารถเพิ่มหรือลดความร้อนได้จากค่ากระแสไฟฟ้าที่จ่ายให้กับเพลทเทียร์

เพลทเทียร์ไม่มีอุปกรณ์ใดขับขับขณะทำงานหรือขณะเคลื่อนย้าย จึงเป็นอุปกรณ์ที่มีความทนทาน (Rugged) และไม่ส่งเสียงรบกวนขณะทำงาน ขนาดมาตรฐานของเพลทเทียร์มีขนาด 40×40 ตารางมิลลิเมตร (ขนาดเดียวกับมาตรฐานกีมี) ความหนาอยู่ที่ประมาณ 4 มิลลิเมตร อายุการใช้งานเฉลี่ยประมาณ 200,000 ชั่วโมง หรือนากกว่า 20 ปี สำหรับการใช้งานในแบบคูลลิ่งโหมดอย่างเดียว ตัวของเพลทเทียร์มีสายไฟฟ้าสีแดงและสีดำ เป็นเครื่องหมายแสดงถึงข้อควรระวังและลบ หากสายสีแดงอยู่ทางค้านขวาเมื่อ โดยที่ให้ปลายหันเข้าหาตัวเราและแผ่นเพลทค้านล่างของเพลทเทียร์จะเป็นเพลทที่ทำให้ร้อน

เมื่อนำเอากระแสไฟฟ้าจ่ายเข้าไปยังอุปกรณ์ดังแสดงการต่อวงจรในรูปที่ 2.5 พบว่าศักย์ไฟฟานอกแบตเตอรี่ถูกส่งเข้ากระทำต่อจังหวะนี้ (B) ผลก็ให้เกิดการไหลของอิเล็กตรอนในทิศทางจากขวาไปซ้ายมันเคลื่อนจากทิศทางของเนื้อสารที่มีความหนาแน่นของอิเล็กตรอนเบาบางไปยังค้านหนึ่งของสารที่มีอิเล็กตรอนหนาแน่น กรณีเช่นนี้ย่อมเกิดแรงด้านโดยธรรมชาติมันจึงเกิดงาน (Work) และให้กำลังงานออกม來 (Given up energy) มันเคลื่อนตัวได้ช้าลงจังหวะนี้เกิดความเย็นขึ้น

ในเวลาเดียวกันเมื่อมองจังหวะเอ (A) เราจ่ายกระแสไฟฟ้าตามวงจรในรูปที่ 2.5 ทำให้อิเล็กตรอนเกิดการไหลจากสารตัวกลางที่มีความหนาแน่นของอิเล็กตรอนมากน้ำหนักสารที่มีความ

หนาแน่น น้อยกว่าทั้งนี้เพื่อควบคุมกับการดึงประจุไฟฟ้าของแบตเตอรี่ศักย์บวกนั่นเอง จังชั้นในส่วนนี้ จังชั้นเอ (A) จึงเกิดความร้อน



รูปที่ 2.5 แสดงการเกิดเพลิงเทียร์อฟเพิ่กต์

จากการให้ของอิเล็กตรอนจากค้านที่มีความหนาแน่นน้อยไปยังค้านที่มีความหนาแน่นมากทำให้จังชั้นในค้านนี้เกิดความเย็น ในขณะที่เมื่ออิเล็กตรอนไหลจากค้านที่มีความหนาแน่นมากไปยังค้านที่มีความหนาแน่นน้อยจังชั้นของค้านนี้จะเกิดความร้อน

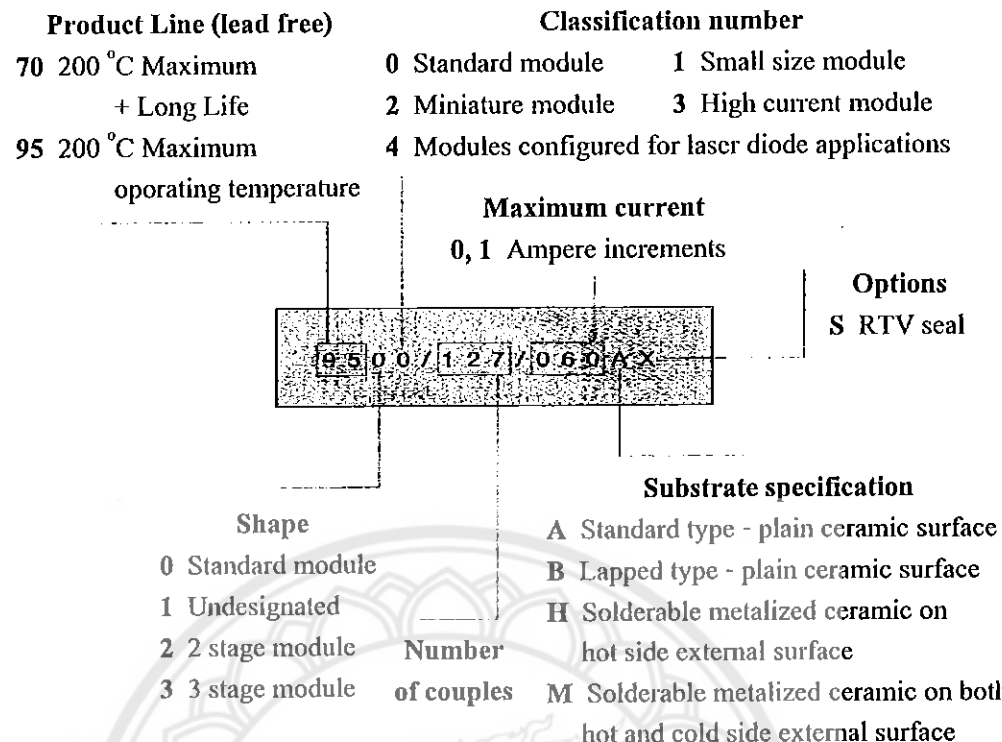
พิจารณาในรูปของวงจร หากใช้การให้ของอิเล็กตรอนเป็นหลัก กระแสอิเล็กตรอนไหลจากศักย์ลบไปหาศักย์บวกจึงได้ว่างจะไฟฟ้าได้ว่า แบตเตอรี่คือแหล่งจ่ายและเป็นตัวจ่ายเริ่มต้น จ่ายแรงดันไฟศักย์ลบไปยังโลหะชนิด A ทางค้านบนมีอ กระแสไฟไหลผ่านจังชั้นบี (B) ไปยังโลหะชนิด B ที่มีความหนาแน่นสูงให้พลั่ว โลหะชนิด B ท่ออยู่กลาง พลั่วจังชั้นเอ (A) เพื่อไปยังโลหะชนิดเอ (A) ท่ออยู่ทางซ้าย ครบวงจรกับขั้วแบตเตอรี่

จังชั้นเอ (A) เกิดความร้อนขึ้นอย่างรวดเร็ว เพราะเกิดแรงคลื่นที่ไฟฟ้าหรือโนอิเล็กตริกซึ่งการให้จากสารความหนาแน่นมากไปยังสารที่มีความหนาแน่นน้อยกว่า

จังชั้นบี (B) เกิดความเย็นขึ้นมาอย่างรวดเร็ว เพราะเป็นการให้กลับกับกรณีแรก เป็นการให้ของกระแสจากสารที่มีความหนาแน่นน้อยไปยังสารที่มีความหนาแน่นมากเกิดเป็นปรากฏการณ์เพลิงเทียร์หรือเพลิงเทียร์อฟเพิ่กต์

2.5.2 เมอร์ของเพลิงเทียร์ หรือ TEC

เมอร์ที่นิยมยกตัวอย่างเช่น TEC ของบริษัท เฟอร์โรเท็ก โดยมีรายละเอียดดังแสดงในรูปที่ 2.6



รูปที่ 2.6 ความหมายของรหัสเบอร์ของเพลทีบีร์

โดยรหัสเบอร์แบ่งออกเป็น 3 กลุ่ม

กลุ่มที่ 1 เป็นการบอกซึ่รี่ว่าเป็นซีรี่ส์ 63xx, 70xx หรือ 95xx ตัวเลขที่ตามมา 2 ตัวจะบอกรูปร่างและขนาดว่าเพลทีบีร์เป็นชนิดเล็ก-กลาง-กระแสสูง-กระแสต่ำ

กลุ่มที่ 2 เป็นการระบุถึงจำนวนของคัปเปลหรือตัวลูกเต่า เช่น

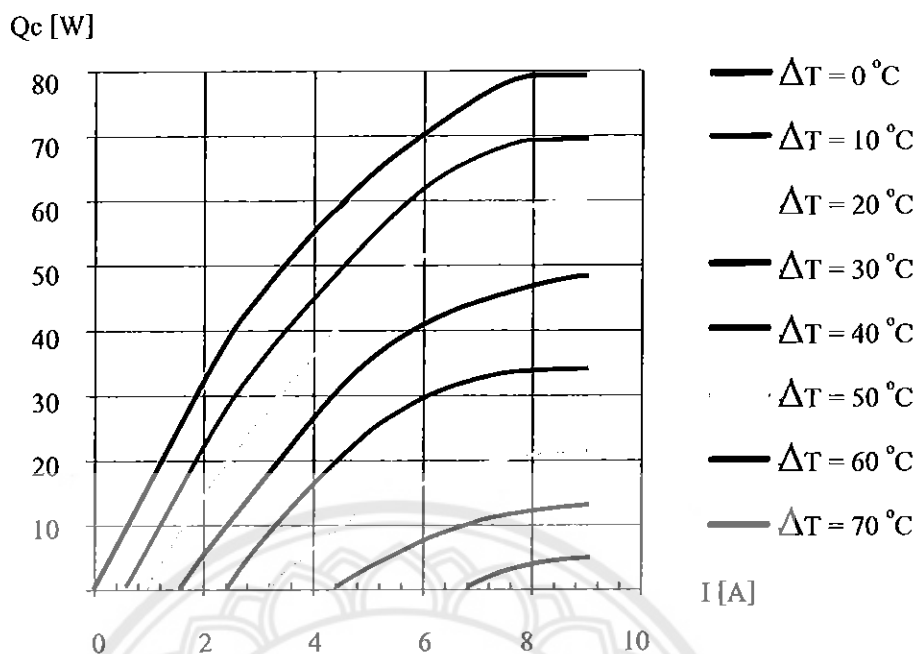
- ตัวเลข 127 หมายถึง มี 127 คัปเปล

- ตัวเลข 023 หมายถึง มี 23 คัปเปล

กลุ่มที่ 3 เป็นการบอกค่ากระแส 10 เท่า จำนวนตัวเลข 3 หลัก ส่วนอักษรตัวท้ายจะมีหรือไม่มีก็ได้ เช่น

- ตัวเลข 060 หมายถึง ต้องการกระแสสูงสุด 6 แอมป์

เพลทีบีร์มีค่าความต่างอุณหภูมิเฉลี่ยอยู่ที่ 65 องศาเซลเซียส ค่าความต่างอุณหภูมิ ΔT โดยค่าดังกล่าวมีความสัมพันธ์ระหว่างความสามารถในการปั๊มความร้อน (Q_c) ซึ่งมีหน่วยเป็นวัตต์ต่อกิโลกรัม (I) ที่จ่ายค่าน้ำอินพุต ความสัมพันธ์นี้แสดงด้วยกราฟดัง รูปที่ 2.7



รูปที่ 2.7 ความสัมพันธ์ระหว่างความสามารถในการปั๊มความร้อน (Q_c) กับกระแส (I) ที่จ่ายเพลเทียร์

2.5.3 จุดอ่อนของเพลเทียร์

แม้ว่าเพลเทียร์จะเป็นอุปกรณ์ที่ทนทานต่อการใช้งานได้ยาวนาน แต่เพลเทียร์จะเกิดการเสียหายเมื่อทำงานกับแรงดันไฟฟ้ากระแสไซค์หรือเมื่อเกิดภาวะสวิตชิ้ง เพราะเพลเทียร์มีแรงกดจากไฟฟ้ากระแสตรง (DC) เพื่อทำให้เกิดภาวะทางอุณหภูมิ (Thermal stress) จึงทำให้เกิดภาวะซื้อตื้นระหว่างเพลตกองหง้า 2 ด้านซึ่งมีความต่างของอุณหภูมินากอยู่แล้ว และหากจำเป็นต้องใช้งานด้วยการควบคุมอุณหภูมิคัวหการจ่ายไฟแบบสวิตชิ้ง ทำได้โดยการให้สวิตชิ้นทำงานด้วยความถี่มากกว่า 2 กิโลเฮิรตซ์ ในการเปลี่ยนคิวต์ไซคลิค

2.6 ไมโครคอนโทรลเลอร์

ไมโครคอนโทรลเลอร์ (อังกฤษ: Microcontroller) คือ อุปกรณ์ควบคุมขนาดเล็ก ซึ่งบรรจุความสามารถที่คล้ายคลึงกับระบบคอมพิวเตอร์ โดยในไมโครคอนโทรลเลอร์ได้รวมเอาเซ็ปชัน หน่วยความจำและพอร์ตซึ่งเป็นส่วนประกอบหลักสำคัญของระบบคอมพิวเตอร์เข้าไว้ด้วยกัน โดยทำการบรรจุเข้าไว้ในตัวถังเดียวกัน

โครงสร้างโดยทั่วไปของไมโครคอนโทรลเลอร์นั้นสามารถแบ่งออกมาได้เป็น 5 ส่วนใหญ่ๆ ดังต่อไปนี้

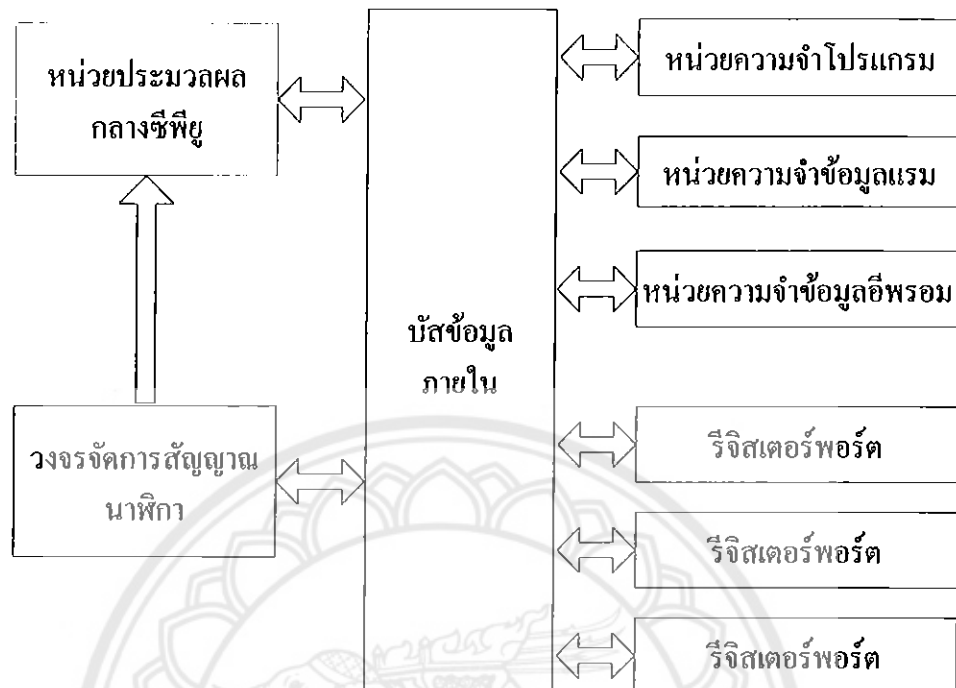
1) หน่วยประมวลผลกลางหรือซีพียู (CPU: Central Processing Unit)

2) หน่วยความจำ (Memory) สามารถแบ่งออกเป็น 2 ส่วน คือ หน่วยความจำที่มีไว้สำหรับเก็บโปรแกรมหลัก (Program Memory) เปรียบเสมือนฮาร์ดดิสก์ของเครื่องคอมพิวเตอร์ตั้งให้จะ คือข้อมูลใดๆ ที่ถูกเก็บไว้ในนี้จะไม่สูญหายไปแม้ไม่มีไฟเลี้ยง อีกส่วนหนึ่งคือหน่วยความจำข้อมูล (DataMemory) ใช้เป็นเหมือนกระดาษหดในการคำนวณของซีพียู และเป็นที่พักข้อมูลชั่วคราวขณะทำงาน แต่หากไม่มีไฟเลี้ยง ข้อมูลก็จะหายไปคล้ายกับหน่วยความจำเรمن (RAM) ในเครื่องคอมพิวเตอร์ทั่วๆ ไป แต่สำหรับไมโครคอนโทรลเลอร์สมัยใหม่ หน่วยความจำข้อมูลจะมีทั้งที่เป็นหน่วยความจำเรمن ซึ่งข้อมูลจะหายไปเมื่อไม่มีไฟเลี้ยง และมีหน่วยความจำรองเป็นอิฐรอง (EEPROM : Erasable Electrically Read-Only Memory) ซึ่งสามารถเก็บข้อมูลได้แม้ไม่มีไฟเลี้ยง

3) ส่วนติดต่อ กับอุปกรณ์ภายนอก หรือพอร์ต (Port) มี 2 ลักษณะคือ พор์ตรับสัญญาณ หรือพอร์ตอินพุต (Input Port) และพอร์ตส่งสัญญาณหรือพอร์ตเอาท์พุต (Output Port) ส่วนนี้จะใช้ในการเชื่อมต่อกับอุปกรณ์ภายนอก ถือว่าเป็นส่วนที่สำคัญมาก ใช้ร่วมกันระหว่างพอร์ตอินพุต เพื่อรับสัญญาณ อาจจะด้วยการกดสวิตช์ เพื่อนำไปประมวลผลและส่งไปพอร์ตเอาท์พุต เพื่อแสดงผล เช่น การติดดับของหลอดไฟ เป็นต้น

4) ช่องทางเดินของสัญญาณ หรือบัส (Bus) คือเส้นทางการแลกเปลี่ยนสัญญาณข้อมูลระหว่าง ซีพียู หน่วยความจำและพอร์ต เป็นลักษณะของสายสัญญาณ จำนวนมากอยู่ภายในในไมโครคอนโทรลเลอร์ โดยแบ่งเป็นบัสข้อมูล (Data Bus), บัสแอดdress (Address Bus) และบัสควบคุม (Control Bus)

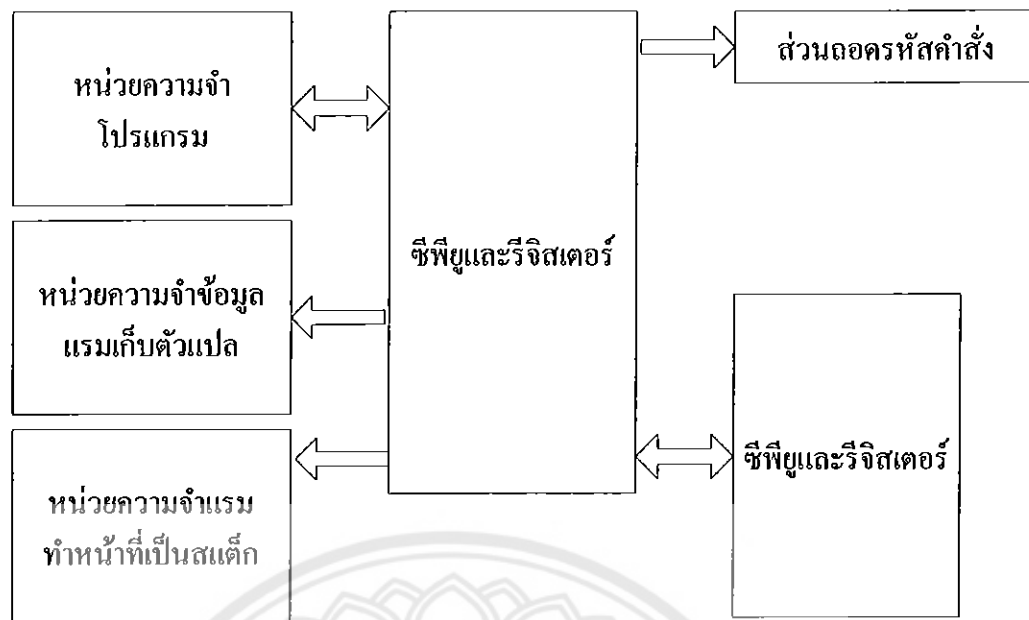
5) วงจรกำเนิดสัญญาณนาฬิกา นับเป็นส่วนประกอบที่สำคัญมากอีกส่วนหนึ่ง เนื่องจาก การทำงานที่เกิดขึ้นในตัวในไมโครคอนโทรลเลอร์ จะขึ้นอยู่กับการทำงานของนาฬิกา หากสัญญาณนาฬิกามีความถี่สูงจังหวะการทำงานก็จะสามารถทำได้ดีขึ้นส่งผลให้ในไมโครคอนโทรลเลอร์ตัวนั้นมีความเร็วในการประมวลผลสูงตามไปด้วยเนื่องด้วยการควบคุมในโครงงานนี้จะใช้การควบคุมระบบจากในไมโครคอนโทรลเลอร์จึงขอกล่าวเกี่ยวกับระบบและทฤษฎีของไมโครคอนโทรลเลอร์ดังนี้



รูปที่ 2.8 โครงสร้างและส่วนประกอบหลักเบื้องต้นของ ไมโครคอนโทรลเลอร์

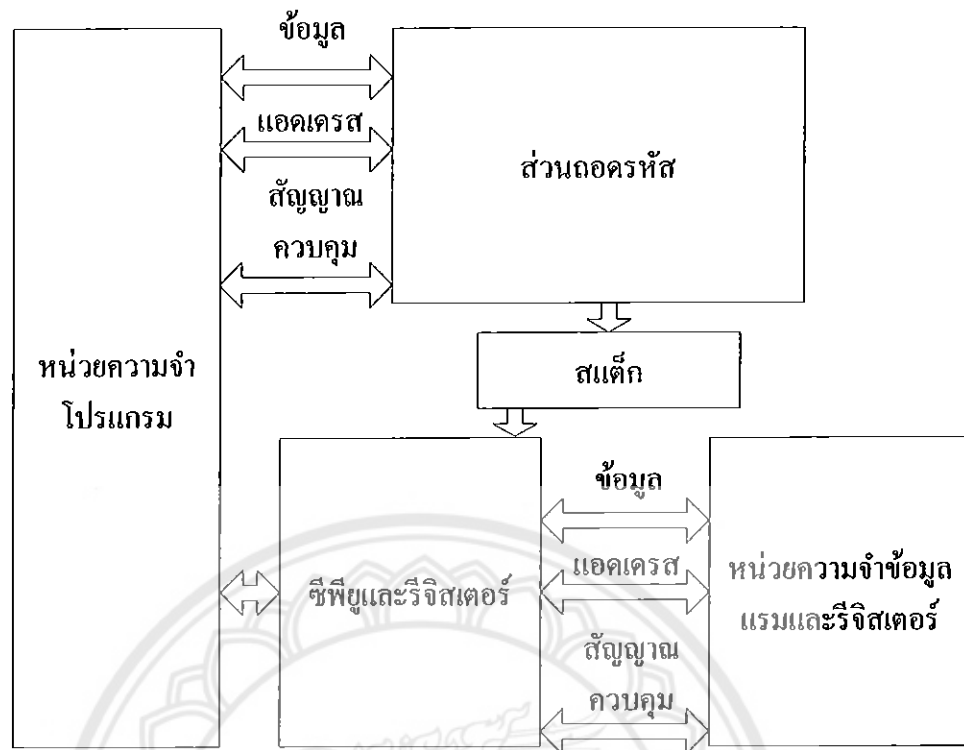
2.6.1 สถาปัตยกรรมของ ไมโครคอนโทรลเลอร์

เป็นที่ยอมรับกันแพร่หลายว่าสถาปัตยกรรมของ ไมโครคอนโทรลเลอร์มีด้วยกัน 2 แบบ คือ พรินซ์ตัน (Princeton) หรือฟอนนิวmann (Von Neumann) และไฮร์วาร์ด (Harvard) ในภาพที่ 2.8 และ 2.9 แสดงการจัดสรรหน่วยความจำและรีจิสเตอร์ในสถาปัตยกรรมของ ไมโครคอนโทรลเลอร์ ทั้งสองแบบพิจารณาในภาพที่ 2.8 เป็นการจัดสรรในสถาปัตยกรรมแบบพrinซ์ตันจะเห็นได้ว่ามี โครงสร้างที่เรียบง่ายไม่ซับซ้อนส่วนของหน่วยความจำโปรแกรมกับหน่วยความจำข้อมูลจะได้รับ การจัดสรรให้อยู่ร่วมกันติดต่อกันซึ่งผ่านส่วนของการเชื่อมต่อหน่วยความจำและภายในซีพียูจะมี รีจิสเตอร์บอร์จุอยู่ข้างด้านของสถาปัตยกรรมแบบนี้คือออกแบบง่ายเพราะหน่วยความจำทั้งหมดอยู่ รวมกันสามารถเข้าถึงได้ง่ายหน่วยความจำมีขนาดใหญ่เพียงพอที่จะเก็บได้ทั้งโปรแกรมควบคุมการ ทำงานและข้อมูลของตัวแปรในการประมวลผลข้อด้อยของสถาปัตยกรรมนี้คือความเร็วในการ ประมวลผลเนื่องจากหน่วยความจำอยู่ร่วมกันจึงต้องติดต่อหน่วยความจำโปรแกรมสลับกับ หน่วยความจำข้อมูลส่งผลให้ซีพียูต้องใช้จำนวนไฟล์ในการทำงานมาก



รูปที่ 2.9 โครงสร้างสถาปัตยกรรมของไมโครคอนโทรลเลอร์แบบพรินช์ตันหรือฟอนนิวเเมน

ในขณะที่สถาปัตยกรรมแบบชาร์วาร์ดซึ่งจะแสดงในภาพที่ 2.9 โดยจะแยกส่วนของหน่วยความจำข้อมูลและรีจิสเตอร์ออกจากหน่วยความจำโปรแกรมทำให้ใช้เคิลการทำงานลดลงเนื่องจากสามารถคิดต่อหน่วยความจำโปรแกรมและหน่วยความจำข้อมูลได้เร็วกว่าในสถาปัตยกรรมนี้ในขณะที่ชีพิญกำลังอ่านชิคิวต์คำสั่งปัจจุบันอยู่สามารถที่จะเฟลชคำสั่งถัดไปได้ยิ่งทำให้ไมโครคอนโทรลเลอร์ทำงานได้เร็วขึ้น



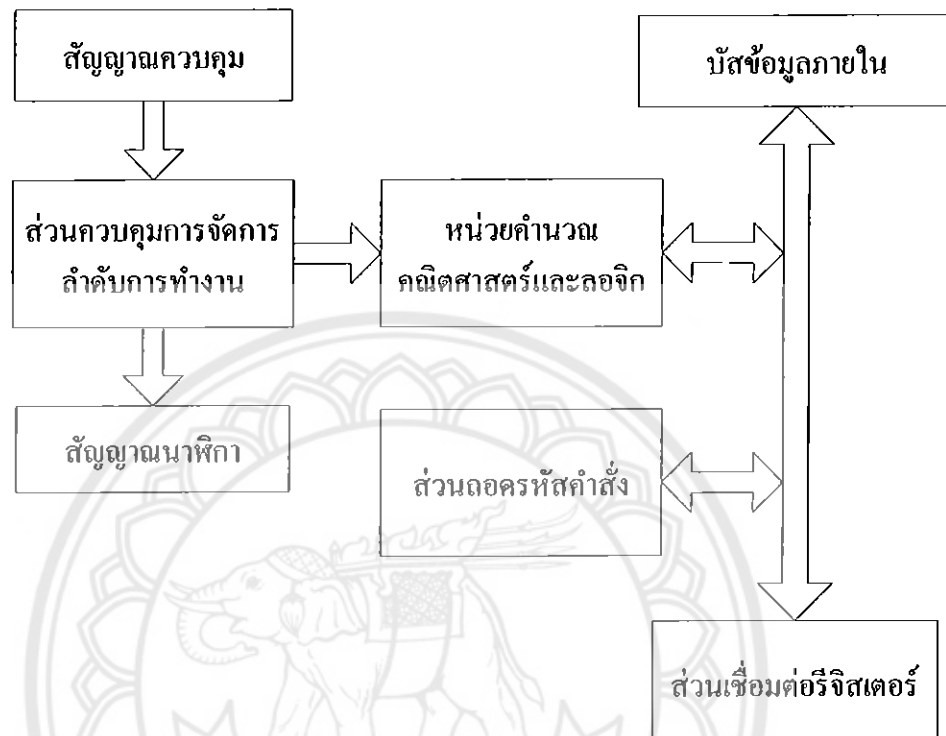
รูปที่ 2.10 โครงสร้างสถาปัตยกรรมของไมโครคอนโทรลเลอร์แบบขยายร้าด

2.6.2 หน่วยประมวลผลกลางหรือชีพีชี

ชีพีชีเป็นส่วนหนึ่งของไมโครคอนโทรลเลอร์ซึ่งทำหน้าที่ประมวลผลข้อมูลที่เข้ามาในระบบแล้วทำการส่งต่อไปยังส่วนต่างๆเพื่อควบคุมการทำงานต่อไปในภาพที่ 2.10 แสดงส่วนประกอบพื้นฐานของชีพีชีในไมโครคอนโทรลเลอร์ทั่วๆไปจะเห็นได้ว่าหัวใจหลักของชีพีชีคือหน่วยคำนวณทางคณิตศาสตร์และลอจิก (ALU: Arithmetic and Logic Unit) ซึ่งได้รับการกำหนดจังหวะการทำงานจากส่วนควบคุมลำดับการทำงานโดยจังหวะการทำงานนี้จะสัมพันธ์กับสัญญาณนาฬิกาเมื่อชีพีชีทำการคิดต่อหน่วยความจำสิ่งที่ปรากฏขึ้นบนบล็อกภายในชีพีชีคือรหัสคำสั่ง (Instruction Code) ซึ่งต้องผ่านการทำงานของส่วนถอดรหัสคำสั่ง (Instruction Decoder) เพียงก่อนจะได้เป็นข้อมูลคำสั่งที่ชีพีชีนำไปและสามารถดำเนินการต่อได้หลังจากที่หน่วยคำนวณทางคณิตศาสตร์และลอจิกประมวลผลแล้วก็ส่งข้อมูลมายังส่วนเชื่อมต่อรีจิสเตอร์ภายในชีพีชีเพื่อติดตอกับส่วนอื่นๆต่อไป

การทำงานของชีพีชีมีด้วยกัน 2 จังหวะเฟลช (Fetch) และເອັກຊີຄວ້າ (Executed) โดยการทำงานจะเริ่มจากการเฟลชที่ทำการเรียกหรือการเข้าถึงคำสั่งแล้วทำการถอดรหัสเป็นภาษาเครื่องเพื่อ

เครื่องมือการประมวลผลจากานนี้จะเป็นจังหวะของการอีกซิคิวต์คือการกระทำตามคำสั่งที่กำหนดให้ งานเสร็จสิ้น



รูปที่ 2.11 ส่วนประกอบหลักของซีพียูในไมโครคอนโทรลเลอร์

2.6.3 หน่วยความจำ

ภายในไมโครคอนโทรลเลอร์จะประกอบไปด้วยหน่วยความจำ 3 แบบ คือ หน่วยความจำโปรแกรม (Program Memory) หน่วยความจำข้อมูลเรنمและหน่วยความจำข้อมูลอิอิพรอม

1) หน่วยความจำโปรแกรม

หน่วยความจำโปรแกรมเป็นที่สำหรับเก็บข้อมูลคำสั่งของโปรแกรมควบคุมที่ผู้พัฒนาเขียนขึ้นหรือเรียกว่าโปรแกรมอนิเตอร์ (Monitor Program) ซีพียูจะเข้ามาติดต่อเพื่ออ่านข้อมูลรหัสคำสั่งจากหน่วยความจำในส่วนนี้แล้วนำไปประมวลผลเพื่อควบคุมการทำงานของระบบทั้งหมดต่อไปหน่วยความจำโปรแกรมนี้มักมีขนาดใหญ่ขึ้นมากเท่าไก่จะสามารถบรรจุ

โปรแกรมที่มีความซับซ้อนหรือสามารถเก็บตารางข้อมูลที่ใช้ในการประมวลผลได้มากตามไปด้วย โดยทั่วไปมีความจุไม่น้อยกว่า 512 ไบต์ขนาดของหน่วยความจำโปรแกรมที่ใช้ในในโครค่อน โทรลเลอร์ที่นิยมมีด้วยกันอยู่ 3 แบบ คือ แบบอีพรอม (EPROM Erasable Programmable Read-Only Memory) แบบอีอีพรอม (EEPROM: Electrically Erasable Programmable Read-Only Memory) และแบบแฟลช (Flash Memory) ความแตกต่างของทั้ง 3 แบบอยู่ที่จำนวนครั้งในการลบและเขียนข้อมูลทั้งหมดไปใหม่ โดยสามารถสรุปได้ว่านี้แบบอีพรอมแบ่งออกเป็น 2 แบบคือแบบโปรแกรมได้หลายครั้งและแบบโปรแกรมได้เพียงครั้งเดียว โดยถ้าหากเป็นแบบโปรแกรมได้หลายครั้งนั้นบนตัวถังของในโครค่อน โทรลเลอร์จะมีหน้าต่างกระถินติดอยู่สำหรับตอนหันซึ่งป้ายในได้เวลาลบข้อมูลต้องลบด้วยแสงอัลตร้าไวโอเลตจำนวนรอบในการโปรแกรมใหม่อよรูระหว่าง 10-100 ครั้งแต่ถ้าเป็นแบบโปรแกรมได้ครั้งเดียว (One-Time Programmable, OTP) จะไม่สามารถลบได้ตัวถังของมันจะปิดมิดชิดเหมือนกับไอซีทั่วไปแบบอีพรอมหน่วยความจำแบบนี้จะลบและเขียนใหม่ได้ด้วยสัญญาณไฟฟ้าในอีดีเป็นที่นิยมมากเนื่องจากสามารถเขียนใหม่ได้เป็นหลักร้อยรอบขึ้นไปในบางครั้งถึง 1 ล้านครั้งแต่ในปัจจุบันไม่เป็นที่นิยมใช้ในในโครค่อน โทรลเลอร์เนื่องจากต้นทุนสูงแบบแฟลชน่วยความจำโปรแกรมชนิดนี้สามารถลบและเขียนได้ด้วยสัญญาณไฟฟ้าแตกต่างกับแบบอีพรอมในเชิงการใช้งานตรงที่กระบวนการลบข้อมูลหน่วยความจำโปรแกรมแบบแฟลชจะไม่สามารถเลือกลบเฉพาะเจาะจงบางตำแหน่งได้เมื่อทำการลบข้อมูลจะต้องลบทั้งหมดหน่วยความจำแบบนี้ได้รับความนิยมมากเนื่องจากการไม่สูงและสามารถโปรแกรมได้เป็นร้อยครั้งขึ้นไปในบางรุ่นสูงเป็นหมื่นครั้งและเป็นแทนครั้งขึ้นอยู่กับแรงดันที่ใช้ในโปรแกรม

2) หน่วยความจำข้อมูลแรม

เป็นหน่วยความจำที่ต้องมีในในโครค่อน โทรลเลอร์ทุกตัว เพราะใช้เป็นพื้นที่สำหรับเก็บข้อมูลทั้งในระหว่างและหลังการประมวลผลซึ่งมีมากยิ่งขึ้นในการทำงานสะคลานขึ้น เพราะหน่วยความจำแรมมีอัตราเร็วในการอ่านเขียนสูงมากและไม่จำกัดจำนวนรอบในการอ่านเขียนในพื้นที่ของหน่วยความจำข้อมูลแรมจะแบ่งออกเป็น 2 ส่วนคือส่วนของข้อมูลทั่วไปสำหรับเก็บค่าตัวแปรและส่วนของรีจิสเตอร์โดยปกติแล้วหน่วยความจำข้อมูลแรมจะมีความจุไม่มากเมื่อเทียบกับหน่วยความจุโปรแกรมในบางตัวอยู่ในหลักสิบไบต์แต่ถ้าในโครค่อน โทรลเลอร์มีความสามารถสูงขึ้นความจุของหน่วยความจำข้อมูลแรมก็เพิ่มมากขึ้นตามทั้งนี้เพราะต้องเพิ่มในส่วนของรีจิสเตอร์ตามความสามารถที่สูงขึ้นของในโครค่อน โทรลเลอร์

3) หน่วยความจำข้อมูลอีพروم

เป็นหน่วยความจำข้อมูลพิเศษที่ไม่ในโครงการต้องการใช้สำหรับเก็บข้อมูลที่ต้องการรักษาไว้เมื่อไม่มีการจ่ายไฟเลี้ยงให้แก่ในโครงการ แต่จะเป็นหน่วยความจำแบบนี้มักเท่ากับ 8 บิตส่วนความจุจะแตกต่างกันไปตั้งแต่ไม่กี่สิบไปจนถึงเป็นกิโลในต่อการอ่านเขียนหน่วยความจำแบบนี้จะใช้สัญญาณไฟฟ้าทั้งหมดและสามารถรักษาข้อมูลถาวรสุด ไว้แม้ว่าจะไม่มีการจ่ายไฟเลี้ยงให้แก่ในโครงการแล้วก็ตาม สำหรับจำนวนรอบในการเขียนโดยปกติอยู่ในหลักล้านครั้งขึ้นไป

2.6.4 หน่วยความจำพิเศษ

เป็นหน่วยความจำที่ใช้เก็บข้อมูลพิเศษ ไม่ได้ใช้สำหรับเก็บข้อมูลคำสั่งของโปรแกรมหรือข้อมูลอื่นๆ มีหลายชนิดแตกต่างกันขึ้นอยู่กับตระกูลของในโครงการ ได้แก่

1) รีจิสเตอร์

เป็นหน่วยความจำพิเศษที่มีบทบาทสูงมากในการทำงานของในโครงการ เพื่อให้ในโครงการสามารถที่จะอ่านและเขียนข้อมูลได้ตลอดเวลาจนกว่าจะหยุดจ่ายไฟเลี้ยงให้แก่ในโครงการ สำหรับที่หลักของรีจิสเตอร์ คือ ใช้เก็บข้อมูลในการทำงานของในโครงการ โดยข้อมูลที่เก็บนี้มีทั้งข้อมูลแสดงสถานะการทำงาน, ข้อมูลสำหรับควบคุมการทำงานโดยอุปกรณ์ภายนอกผ่านพอร์ตอินพุต หรือข้อมูลที่ต้องส่งออกไปยังอุปกรณ์ภายนอกผ่านพอร์ตเอาท์พุต โดยข้อมูลแต่ละประเภทก็จะจัดเก็บลงในรีจิสเตอร์ที่แตกต่างกันตามหน้าที่การทำงานหน่วยความจำที่นำมาใช้ทำรีจิสเตอร์มีด้วยกัน 2 ลักษณะ ขึ้นอยู่กับสถาปัตยกรรมของในโครงการ หากเป็นแบบพรินซ์ตันรีจิสเตอร์จะมีอยู่ด้วยกัน 2 ส่วน ส่วนแรกจะอยู่ร่วมกับกับชีพีชีพีหรือเรียกว่ารีจิสเตอร์ชีพีชีพี ส่วนที่สองจะอยู่แยกต่างหากซึ่งมักเป็นรีจิสเตอร์ควบคุมพอร์ตอินพุตเอาท์พุตและรีจิสเตอร์แสดงสถานะแต่ในสถาปัตยกรรมแบบชาร์วาร์คันจะใช้เพียงบางส่วนในหน่วยความจำข้อมูลแรมภายในในโครงการ

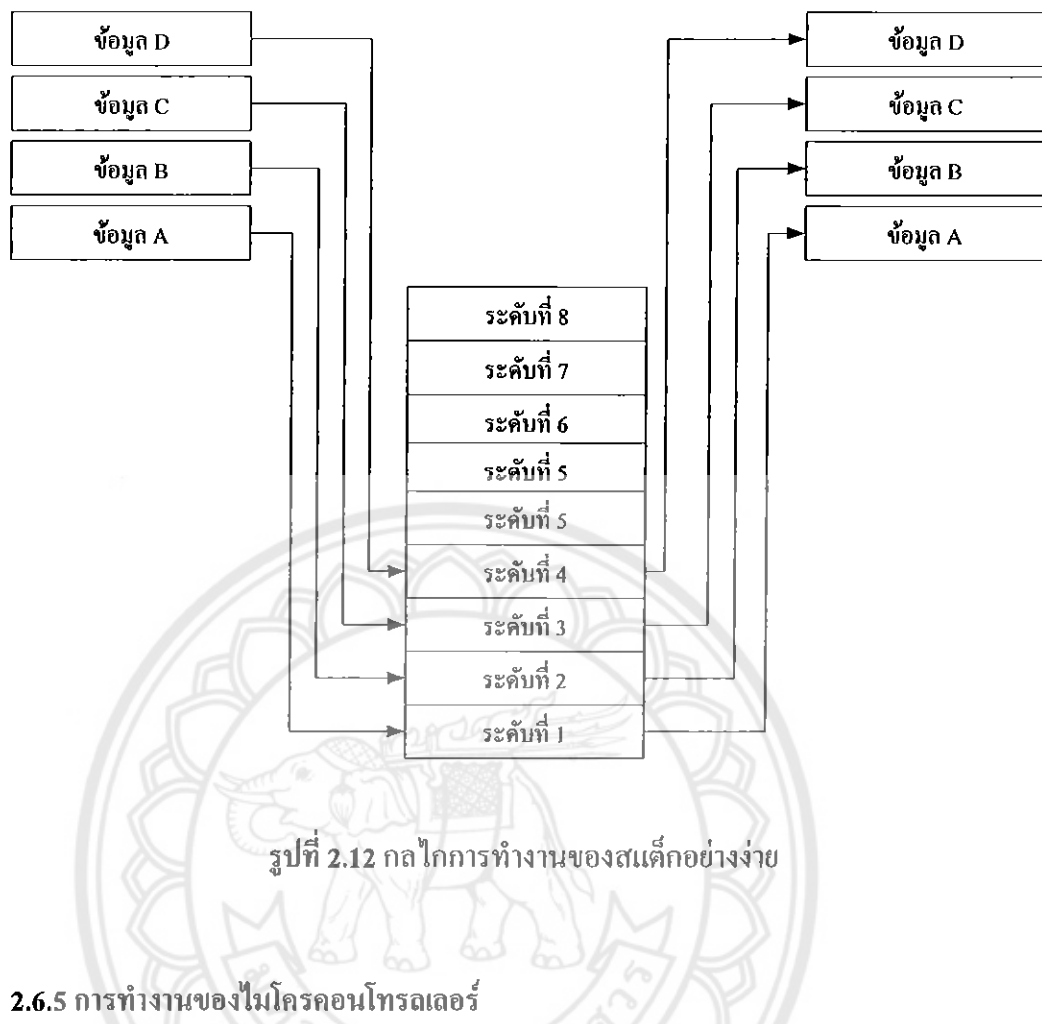
2) โปรแกรมเคาน์เตอร์

การที่ชีพีชีพีสามารถติดต่อกันหน่วยความจำ โปรแกรมเพื่ออ่านข้อมูลคำสั่ง ได้อย่างถูกต้อง เป็นผลมาจากการรีจิสเตอร์หน้าที่พิเศษตัวหนึ่งคือรีจิสเตอร์ตัวนับโปรแกรมหรือโปรแกรมเคาน์เตอร์ (Program Counter, PC) โดยโปรแกรมเคาน์เตอร์จะเป็นตัวที่ตำแหน่งแอดเดรส์ของหน่วยความจำ

โปรแกรมที่ซีพียูจะต้องไปกระทำในลำดับดังไปโดยปกติแล้วค่าของโปรแกรมเคาน์เตอร์จะเปลี่ยนแปลงโดยอัตโนมัติขึ้นอยู่กับผลการทำงานที่เกิดขึ้นในไมโครคอนโทรลเลอร์บางครั้งถ้าสามารถเข้าถึงโปรแกรมเคาน์เตอร์เพื่อทำการอ่านเขียนได้แต่ในบางครั้งกลับไม่สามารถทำได้

3) สเต็ก

สเต็ก (Stack) เป็นหน่วยความจำพิเศษที่ไมโครคอนโทรลเลอร์ทุกตัวต้องมีโดยหน้าที่ของมันคือเก็บข้อมูลที่ยังต้องการอยู่ของเรจิสเตอร์และเมื่อข้อมูลนั้นถูกนำมายกให้ในสเต็กแล้วก็สามารถที่จะเปลี่ยนข้อมูลในเรจิสเตอร์ตัวนั้นๆ ได้ทันทีหลังจากที่ทำงานเรียบร้อยแล้วจึงกลับมาอ่านข้อมูลเดิมกลับคืนจากสเต็กซึ่งมีกระบวนการการทำงานดังในภาพที่ 2.11 การเก็บข้อมูลของสเต็กจะมีลักษณะเป็นระดับหรือเป็นชั้นข้อมูลที่จะเก็บเข้ามาก่อนและจะต้องอ่านออกทีหลังหรือเป็นแบบ FILO (First In Last Out) และจำนวนระดับหรือจำนวนชั้นของสเต็กจะมีจำนวนจำกัดในไมโครคอนโทรลเลอร์ส่วนใหญ่จะมีความจุของสเต็กไม่น้อยกว่า 8 ระดับการทำงานที่ยิ่งมีขนาดของสเต็กมากหรือมีจำนวนระดับมากก็จะยิ่งช่วยให้การทำงานสะดวกขึ้น เพราะในการประมวลผลนี้โอกาสมากที่จะต้องพักข้อมูลในเรจิสเตอร์หลักเพื่อไปทำงานอื่นก่อนหลังจากนั้นจึงกลับมาทำงานต่อโดยเฉพาะอย่างยิ่งกับงานที่มีการอินเทอร์รัฟท์หรือข้อจังหวะซึ่งพิมพ์อยู่บ่อยๆ รวมถึงการกระโดดไปทำงานที่โปรแกรมย้ายที่มีความต้องการเขียนข้อมูลลงในเรจิสเตอร์ตัวเดียวกันนี้หลังจากทำงานแล้วจึงกลับมาที่โปรแกรมหลักแล้วอ่านค่าเดิมก่อนหน้านี้ และจึงกลับมาทำงานต่อว่างานบางลักษณะการกระโดดไปทำงานยังโปรแกรมย้ายข้อมูลกัน 2-3 ชั้นทำให้ต้องมีการเก็บข้อมูลไว้ในสเต็กมากขึ้นหากความจุของสเต็กมีน้อยก็จะไม่สามารถรองรับการทำงานในลักษณะนี้ได้ขนาดของสเต็กโดยปกติจะต้องเท่ากับขนาดของเรจิสเตอร์ตัวนั้นไปограмหรือ PC เพราะมีโอกาสที่จะต้องเก็บค่าของ PC ไว้ในสเต็กด้วย



รูปที่ 2.12 กลไกการทำงานของสเต็กอย่างง่าย

2.6.5 การทำงานของไมโครคอนโทรลเลอร์

ไมโครคอนโทรลเลอร์จะสามารถทำงานได้เมื่อจ่ายไฟเดี่ยงและต่อวงจรกำเนิดสัญญาณนาฬิกาให้แก่มั่นจากนั้นซึ่งภาษาในไมโครคอนโทรลเลอร์จะติดต่อกันหน่วยความจำโปรแกรมเพื่ออ่านข้อมูลคำสั่งทำงานตามคำสั่งที่บรรจุอยู่ในหน่วยความจำโปรแกรม นั่นหมายความว่า ต้องมีการเขียนข้อมูลลงในหน่วยความจำโปรแกรมก่อนโดยในไมโครคอนโทรลเลอร์แต่ละเครื่องจะมีรูปแบบของข้อมูลคำสั่งที่แตกต่างกัน โดยภาษาที่ใช้เขียนโปรแกรมสามารถแบ่งได้ 2 ระดับ คือ ภาษาระดับสูง (High Level Language) และภาษาแอสเซมบลี (Assembly Language) ซึ่งโดยปกติแล้วในไมโครคอนโทรลเลอร์ต้องโปรแกรมด้วยภาษาแอสเซมบลี เนื่องจากสามารถทำงานได้รวดเร็วผ่านกระบวนการแปลงข้อมูลคำสั่งเป็นเลขฐานสิบหกเพื่อทำงานตามคำสั่งเพียง 1 ขั้นตอนคือแปลงจากภาษาแอสเซมบลีเป็นข้อมูลฐานสิบหกที่เรียกว่าออบโค้ด (Opcode) แต่ข้อเสียของการเขียนภาษาแอสเซมบลีคือผู้เขียนต้องทำความเข้าใจในชุดคำสั่งของไมโครคอนโทรลเลอร์เบอร์นั้นๆอย่างถ่องแท้และเมื่อเปลี่ยนແబอร์ไมโครคอนโทรลเลอร์ก็จะต้องทำการเรียนรู้และทำความเข้าใจชุดคำสั่งใหม่ซึ่งอาจทำให้เสียเวลาในการรวมทั้งการเขียนโปรแกรมด้วยภาษาแอสเซมบลีผู้เขียนต้องมีทักษะในการเขียนโปรแกรมสูงพอสมควรและเข้าใจถึงสถาปัตยกรรมของไมโครคอนโทรลเลอร์เป็น

อย่างดีในขณะที่การเขียนโปรแกรมด้วยภาษาจะดับสูงอาทิเช่นภาษาซีภาษาเบสิกต้องผ่านกระบวนการที่เรียกว่าคอมไพล์ (Compile) เพื่อแปลงภาษาจะดับสูงเหล่านั้นเป็นภาษาเครื่อง หรือ օปโค้ดของไมโครคอนโทรลเลอร์เบอร์นั้นๆเสียก่อนเมื่อใช้เครื่องมือทางซอฟต์แวร์ตัวนี้ทำให้ผู้เขียนโปรแกรมอาจไม่จำเป็นต้องศึกษาสถาปัตยกรรมและชุดคำสั่งของไมโครคอนโทรลเลอร์เบอร์นั้นๆอย่างลึกซึ้งเท่ากับการเขียนภาษาแอสเซมบลีทั้งนี้ เพราะคอมไพล์เลอร์จะทำในส่วนนี้แทน ดังนั้นเมื่อผู้ใช้งานเปลี่ยนเบอร์ไมโครคอนโทรลเลอร์ก็เพียงจัดหาโปรแกรมคอมไпал์เลอร์ที่เหมาะสมมาใช้งานและศึกษาสถาปัตยกรรมของไมโครคอนโทรลเลอร์เบอร์ใหม่อีกเพียงเล็กน้อยก็สามารถใช้งานได้แต่ข้อเสียของการใช้คอมไpal์เลอร์คือราคายังคง

2.7 ไมโครคอนโทรลเลอร์ตระกูล AVR

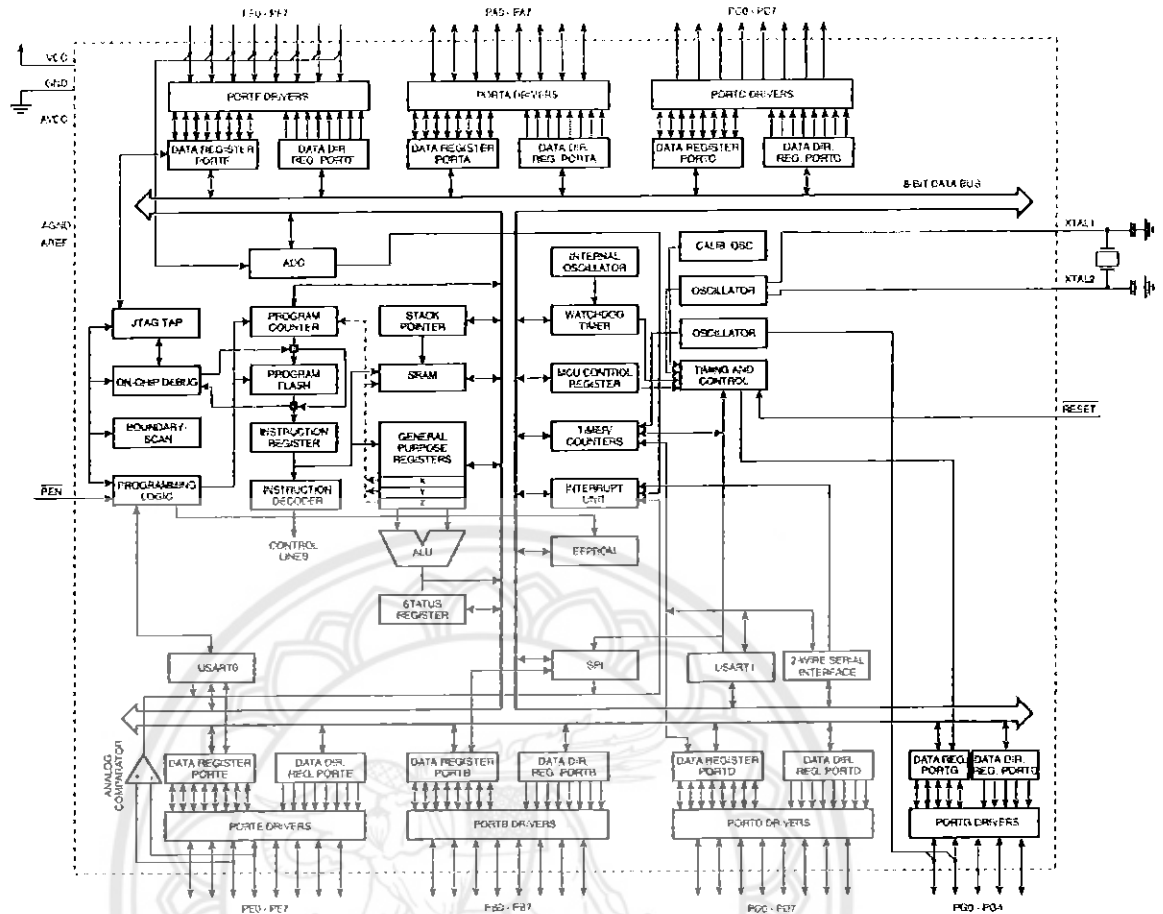
ไมโครคอนโทรลเลอร์ AVR ผลิตจากบริษัท ATMEL ซึ่งในบ้านเรามักนิยมนำมาใช้งานกันอย่างกว้างขวางซึ่งส่วนประกอบ หรือสถาปัตยกรรมภาพรวมของไมโครคอนโทรลเลอร์ตระกูลนี้โดยแบ่งร่วมกันออกเป็น 4 ชั้น คือชั้นสถาปัตยกรรม ชั้นแก้ไข ชั้นบัญชา และชั้นตัวอย่าง สำหรับชั้นสถาปัตยกรรมจะแสดงถึงความสามารถในการทำงานที่ต้องการ เช่น ความเร็ว ความแม่นยำ ความต่อเนื่อง ฯลฯ ชั้นแก้ไขจะแสดงถึงความสามารถในการจัดการกับภายนอก เช่น การรับส่งข้อมูลผ่านUSART หรือSPI ชั้นบัญชาจะแสดงถึงความสามารถในการจัดการกับตัวควบคุม เช่น การจัดการเวลา จัดการหน่วยความจำ ฯลฯ ต่างๆ ชั้นตัวอย่างจะแสดงถึงความสามารถในการทำงาน เช่น การคำนวณ จัดการข้อมูล ฯลฯ ต่างๆ ที่ต้องการ ไมโครคอนโทรลเลอร์ AVR จึงสามารถใช้ในการทำโครงการขนาดเล็กได้ดี เช่น นาฬิกาดิจิตอล ปลุก ติดตามอุณหภูมิ ฯลฯ ตัวอย่างเช่น ไมโครคอนโทรลเลอร์ AVR ของบริษัท ATMEL เป็นไมโครคอนโทรลเลอร์ที่มีฟังก์ชันการใช้งานต่างๆ มากนัย เช่น โมดูล Analog to Digital, Timer/Counter, USART, SPI และจัดเป็นในไมโครคอนโทรลเลอร์ตระกูลใหม่ที่มีสถาปัตยกรรมแบบ RISC (Advanced RISC architecture) ซึ่งส่วนต่างๆ เหล่านี้จะถูกสร้างรวมอยู่ภายในชิปเพียงตัวเดียวทำให้สามารถทำงานได้หลากหลายและสามารถลดลงในจำนวนชิปที่ต้องใช้ ทำให้มีความเร็วในการทำงานมากกว่าชิปที่พิเศษที่สุด เช่น ไมโครคอนโทรลเลอร์ AVR ของบริษัท ATMEL ที่มีสถาปัตยกรรมแบบ RISC สามารถลดจำนวนชิปที่ต้องใช้ลงได้ถึง 50% เมื่อเทียบกับชิปที่มีสถาปัตยกรรมแบบ CISC

2.7.1 โครงสร้างและสถาปัตยกรรมของ ATmega 64

ไมโครคอนโทรลเลอร์ที่มีสถาปัตยกรรมแบบ RISC ของบริษัท ATMEL เป็นไมโครคอนโทรลเลอร์ที่มีฟังก์ชันการใช้งานต่างๆ มากนัย เช่น โมดูล Analog to Digital, Timer/Counter, USART, SPI และจัดเป็นในไมโครคอนโทรลเลอร์ตระกูลใหม่ที่มีสถาปัตยกรรมแบบ RISC (Advanced RISC architecture) ซึ่งส่วนต่างๆ เหล่านี้จะถูกสร้างรวมอยู่ภายในชิปเพียงตัวเดียวทำให้สามารถทำงานได้หลากหลายและสามารถลดลงในจำนวนชิปที่ต้องใช้ ทำให้มีความเร็วในการทำงานมากกว่าชิปที่พิเศษที่สุด เช่น ไมโครคอนโทรลเลอร์ AVR ของบริษัท ATMEL ที่มีสถาปัตยกรรมแบบ RISC สามารถลดจำนวนชิปที่ต้องใช้ลงได้ถึง 50% เมื่อเทียบกับชิปที่มีสถาปัตยกรรมแบบ CISC ตัวอย่างเช่น ไมโครคอนโทรลเลอร์ AVR ของบริษัท ATMEL ที่มีสถาปัตยกรรมแบบ RISC สามารถลดจำนวนชิปที่ต้องใช้ลงได้ถึง 50% เมื่อเทียบกับชิปที่มีสถาปัตยกรรมแบบ CISC

- สถาปัตยกรรมภาษาในรูปแบบ Advanced RISC (Reduce Instruction Set Computer)

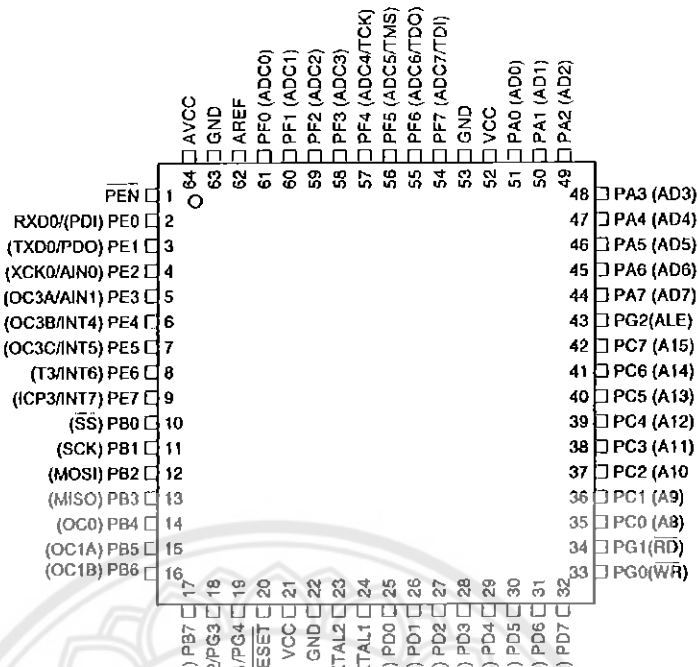
- มีคำสั่งควบคุมการทำงานมากกว่า 100 คำสั่ง โดยมีความเร็วในการประมวลผล 1 คำสั่งต่อ 1 สัญญาณนาฬิกา (1 MIPS/1MHz)
- มีรีจิสเตอร์ใช้งานทั่วไปขนาด 8 บิต จำนวน 32 ตัว (ทำให้สะดวกต่อการพัฒนาโปรแกรมด้วยภาษา C เป็นอย่างมาก)
- ความเร็วในการทำงาน 1 MIPS ต่อ 1 MHz และมากถึง 16 MIPS เมื่อใช้ความถี่ที่ 16 MHz (ความสามารถในการใช้งานความต้องการข้อมูลเบื้องต้นของ AVR ที่เลือกใช้งาน)
- หน่วยความจำ ROM แบบ Flash (มีโหมดป้องกันหน่วยความจำ) ขนาด 64 กิโลไบต์ (เมกะ/ลบ ได้ 10,000 ครั้ง)
- หน่วยความจำข้อมูลแบบ EEPROM (มีโหมดป้องกันหน่วยความจำ) ขนาด 2,048 ไบต์ (เมกะ/ลบ) ได้ 100,000 ครั้ง)
 - หน่วยความจำข้อมูลแบบ SRAM 4 กิโลไบต์
 - ไทรเมอร์/เคาน์เตอร์ทั้งแบบ 8 บิตและ 16 บิต พร้อมบีรีสเกลเลอร์
 - มีระบบตรวจสอบความผิดพลาดในการทำงานของซอฟต์แวร์ (Watchdog Timer with On-Chip Oscillator)
 - โมดูลสร้างสัญญาณ PWM (Pulse Width Modulator) มีจำนวน 6 ช่อง
 - มีโมดูลแปลงสัญญาณอนาล็อกเป็นดิจิตอล (ADC) ขนาด 10 บิต มากถึง 8 ช่อง
 - โมดูลเปรียบเทียบแรงดันอนาล็อก (Analog Comparator)
 - การสื่อสารข้อมูลอนุกรรณ์โดยจะนิยมแบบ UART (Universal Asynchronous Receiver Transmitters) หรือแบบ RS232, SPI (Serial Peripheral Interface) และแบบ I²C เป็นต้น
 - พอร์ตอินพุตเอาท์พุตขึ้นอยู่กับเบอร์ AVR ที่เลือกใช้งาน มีตั้งแต่ 8 ขา จนมากกว่า 100 ขาพอร์ต (ATmega 64 มีขาพอร์ตอินพุตเอาท์พุต 53 ขา)
 - ทำงานที่ไฟเลี้ยง 4.5 ถึง 5.5 โวลต์
 - มีพอร์ต I/O 7 พอร์ตประกอบด้วย A, B, C, D, E, F, G แต่ละพอร์ตจะมีจำนวนบิตดังนี้
 - PORTA = PA0–PA7 จำนวน 8 บิต
 - PORTB = PB0–PB7 จำนวน 8 บิต
 - PORTC = PC0–PC7 จำนวน 8 บิต
 - PORTD = PD0–PD7 จำนวน 8 บิต
 - PORTE = PE0–PE7 จำนวน 8 บิต
 - PORTF = PF0–PF7 จำนวน 8 บิต
 - PORTG = PG0–PG4 จำนวน 5 บิต



รูปที่ 2.13 สถาปัตยกรรมภายในของไมโครคอนโทรลเลอร์ ATmega 64

2.7.2 ตัวถังและตำแหน่งขาสัญญาณของ ATmega 64

ขาพอร์ตอินพุตเอาท์พุตของไมโครคอนโทรลเลอร์ ATmega 64 มีจำนวน 64 ขา โดยแบ่งเป็นขาพอร์ตอินพุตเอาท์พุตอิสระ จำนวน 53 ขา ประกอบไปด้วย PA, PB, PC, PD, PE, PF ขนาด 8 บิต PG ขนาด 5 บิต และขาพอร์ตที่เกี่ยวข้องกับสัญญาณอนาคตจำนวน 2 ขาพอร์ต คือ AREF และ AVCC รายละเอียดขาพอร์ตทั้งหมดแสดงดังรูปที่ 2.14 ตัวถังของ ATmega 64 และตำแหน่งขาสัญญาณต่างๆ



รูปที่ 2.14 ตัวถังของ ATmega 64 และตำแหน่งขาสัญญาณต่างๆ

ตารางที่ 2.1 ชื่อขา ตำแหน่งขา ชนิดขาและหน้าที่การทำงานของไมโครคอนโทรลเลอร์ ATmega 64

ชื่อขา	ตำแหน่ง	ชนิด	หน้าที่และการทำงาน
VCC	21 , 52	อินพุต	ขาแรงดันไฟฟ้า
GND	53 , 63	อินพุต	ขากราวด์
PortA (PA0.0-PA0.7)	44-51	อินพุต/เอาท์พุต	ขาพอร์ตเป็นอินพุตเอาท์พุตคิจิตอล กำหนดการพูลอัพภายในขาพอร์ตได้ (internal pull-up register) และสามารถกำหนดใช้งานเป็นพอร์ตอินพุตสัญญาณอนาล็อก (A/D Converter) ได้
Port B (PB0.0-PB0.7)	10-17	อินพุต/เอาท์พุต	ขาพอร์ตเป็นอินพุตเอาท์พุตคิจิตอล กำหนดการพูลอัพภายในขาพอร์ตได้ (internal pull-up register) และเป็นขาพอร์ตหน้าที่พิเศษ อิกด้วย เช่น ขาสำหรับการโปรแกรมชิพ ขาป้อนสัญญาณนาฬิกาภายนอก

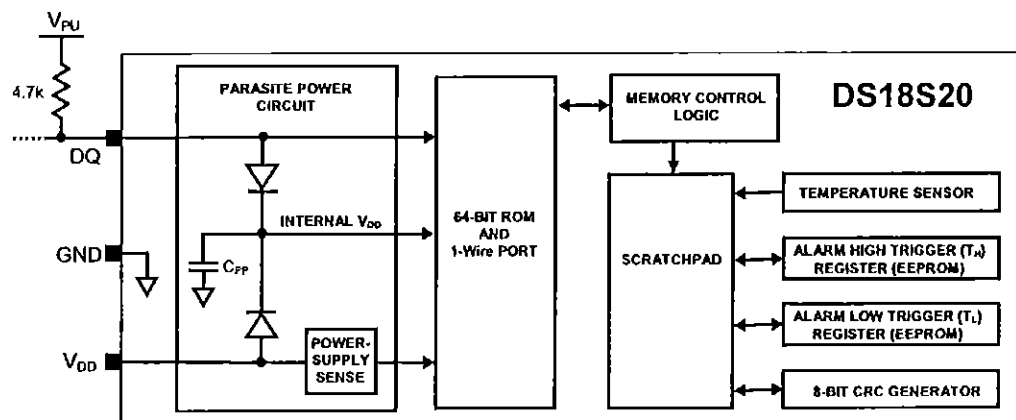
ชื่อขา	ขาที่	ชนิด	หน้าที่และการทำงาน
Port C (PC0.0-PC0.7)	35-42	อินพุต/เอาท์พุต	ขาพอร์ตเป็นอินพุตเอาท์พุตคิจิตอล กำหนดการพูลอัพภายในขาพอร์ตได้ (internal pull-up register) และเป็นขาพอร์ตหน้าที่พิเศษ อิกด้วย เช่น ขาเขื่อนต่อ กับ ดีบัก และ โปรแกรม ด้วยการเชื่อมต่อแบบ JTAG
Port D (PD0.0-PD0.7)	25-32	อินพุต/เอาท์พุต	ขาพอร์ตเป็นอินพุตเอาท์พุตคิจิตอล กำหนดการพูลอัพภายในขาพอร์ตได้ (internal pull-up register) และเป็นขาพอร์ตหน้าที่พิเศษ อิกด้วย เช่น ขาเขื่อนต่อพอร์ตอนุกรม ขา อินเตอร์รัปป์เดื่องจากสัญญาณภายนอก
Port E (PE0.0-PE0.7)	2-9	อินพุต/เอาท์พุต	ขาพอร์ตเป็นอินพุตเอาท์พุตคิจิตอล กำหนดการพูลอัพภายในขาพอร์ตได้ (internal pull-up register) และเป็นขาพอร์ตหน้าที่พิเศษ อิกด้วย เช่น ขาเขื่อนต่อพอร์ตอนุกรม ขา อินเตอร์รัปป์เดื่องจากสัญญาณภายนอก
Port F (PF0.0-PF0.7)	54-61	อินพุต/เอาท์พุต	ขาพอร์ตเป็นอินพุตเอาท์พุตคิจิตอล กำหนดการพูลอัพภายในขาพอร์ตได้ (internal pull-up register) และเป็นขาพอร์ตหน้าที่พิเศษ อิกด้วย เช่น ขาเขื่อนต่อพอร์ตอนุกรม ขา อินเตอร์รัปป์เดื่องจากสัญญาณภายนอก
Port G (PG0.0-PG0.4)	18-19 33-34 43	อินพุต/เอาท์พุต	ขาพอร์ตเป็นอินพุตเอาท์พุตคิจิตอล กำหนดการพูลอัพภายในขาพอร์ตได้ (internal pull-up register) และเป็นขาพอร์ตหน้าที่พิเศษ อิกด้วย เช่น ขาเขื่อนต่อพอร์ตอนุกรม ขา อินเตอร์รัปป์เดื่องจากสัญญาณภายนอก
<u>RESET</u>	20	อินพุต	ขาเรียกเวงจร
XTAL1	23	อินพุต	ขาต่อคริสตอล oscillator ช่องที่ 1
XTAL2	24	เอาท์พุต	ขาต่อคริสตอล oscillator ช่องที่ 2
AVCC	64	เอาท์พุต	ขาแรงดันสำหรับพอร์ต A และ โ้มดูดแปลง สัญญาณอนาลอกเป็นคิจิตอล

ชื่อขา	ขาที่	ชนิด	หน้าที่และการทำงาน
AREF	62	เอาท์พุต	ขาแรงดันอนาลอกอ้างอิงสำหรับโมดูลแปลงสัญญาณอนาลอกเป็นดิจิตอล
PEN	1	อินพุต	ขาต่อใช้งานสำหรับโหมดการเขียนโปรแกรม SPI แบบอนุกรม

2.8 การทำงานของเซนเซอร์วัดอุณหภูมิ

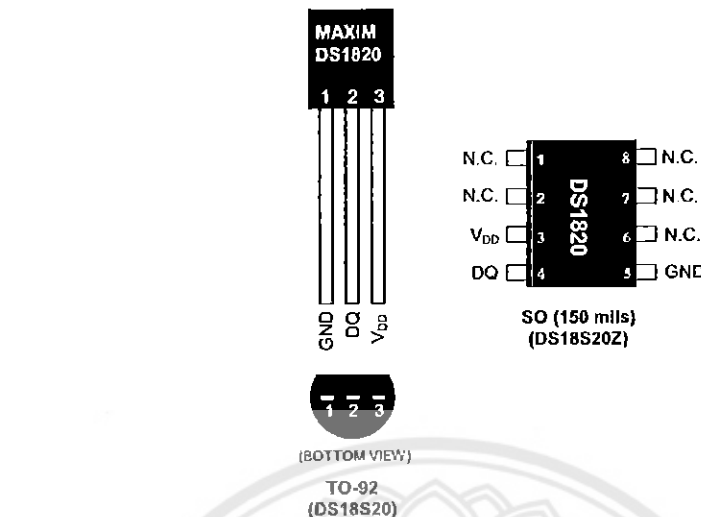
เซนเซอร์วัดอุณหภูมิ DS18S20 มีฟังก์ชันการทำงานเป็นเซนเซอร์วัดอุณหภูมิแบบดิจิตอล ตัววัดอุณหภูมิแบบ Digital DS18S20 จะวัดค่าอุณหภูมิได้ละเอียดถึง 9-bit (resolution) ในหน่วย centigrade และสามารถกำหนดค่า trigger เมื่อกำกังหรือต่ำกว่าค่าที่ผู้ใช้เก็บไว้ในหน่วยความจำได้ (nonvolatile) โดยทำงานในช่วงอุณหภูมิ -55 ถึง +125 องศาเซลเซียส มีความถูกต้องแม่นยำ ±0.5 องศาเซลเซียส ในช่วงการวัดอุณหภูมิระหว่าง -10 ถึง +85 องศาเซลเซียส นอกจากนั้นยังสามารถคงกัลังไฟฟ้าได้โดยตรงจากสายสัญญาณข้อมูล (data line) โดยมีคุณสมบัติดังนี้

- 1) เซนเซอร์วัดอุณหภูมิเบอร์ DS18S20 แบบตัวถัง PR35
- 2) สามารถวัดค่าได้ตั้งแต่ -55 ถึง 125 องศาเซลเซียส หรือ -67 ถึง 257 องศาفارนไฮต์
- 3) มีความละเอียดในการวัดค่าที่ = 0.5 องศาเซลเซียส หรือ 0.9 องศาفارนไฮต์
- 4) ระยะเวลาการแปลงสัญญาณประมาณ 200 มิลลิวินาที
- 5) สามารถต่อ กับขาสัญญาณในโทรศัพท์โดยใช้การอินเตอร์เฟซแบบสายเดี่ยวเดียว (1-Wire interface)
- 6) สายต่อความยาว 1.2 เมตร พร้อมคอนเนกเตอร์ขนาด 5 ขา ที่สามารถต่อใช้กับบอร์ดแสดงผลรุ่น DISP4-100 ได้ทันที
- 7) แรงดันใช้งานที่ 3.0 ถึง 5.0 โวลต์



รูปที่ 2.15 Block diagram ของ DS18S20

2.8.1 ขาสัญญาณสำหรับสื่อสารข้อมูลของโมดูล DS18S20



รูปที่ 2.16 รูปร่างของโมดูล DS18S20

- 1) ขา VDD เป็นขาแรงดันไฟเลี้ยงเซนเซอร์
- 2) ขา DQ เป็นขาสัญญาโนินเตอร์เฟชกับไมโครคอนโทรลเลอร์แบบ I-Wire interface
- 3) ขา GND เป็นขาแรงดันไฟ 0 โวลต์ หรือ Ground

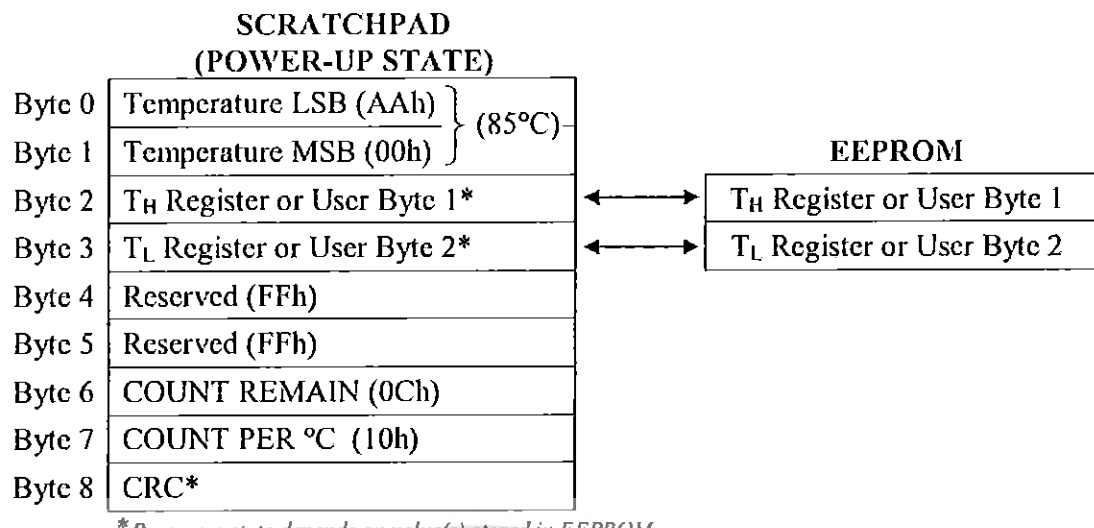
2.8.2 รูปแบบการสื่อสารอ่านข้อมูลอุณหภูมิของ DS18S20

ตัววัดอุณหภูมิ (Sensor) ที่มีความละเอียด 9-bit ซึ่งเทียบได้กับ 0.5 องศาเซลเซียส steps เมื่อต้องการให้มีการวัดค่าอุณหภูมิ และทำการแปลง A-D ตัว master ต้องส่งคำสั่งให้ทำการแปลงค่าอุณหภูมิ (Convert Temperature, 44h) หลังจากที่มีการแปลงค่าอุณหภูมิ (ใช้เวลาไม่เกิน 750 มิลลิวินาที) ค่าอุณหภูมิที่ได้จะเก็บไว้ใน temperature register ที่มีขนาด 2 bytes ใน scratchpad memory และตัว DS18S20 จะกลับเข้าสู่สภาวะ idle

	BIT 7	BIT 6	BIT 5	BIT 4	BIT 3	BIT 2	BIT 1	BIT 0
LS BYTE	2^6	2^5	2^4	2^3	2^2	2^1	2^0	2^{-1}
	BIT 15	BIT 14	BIT 13	BIT 12	BIT 11	BIT 10	BIT 9	BIT 8
MS BYTE	S	S	S	S	S	S	S	S

S = SIGN

รูปที่ 2.17 Temperature Register Format



รูปที่ 2.18 Memory Map

ในระบบ I-Wire bus จะมีตัว bus master อ่ายตัวเดียวกับที่คือบควบคุมอุปกรณ์ slave ตัว DS18S20 จะเป็นตัว slave เสนอ เมื่อไหร่ก็ตาม ที่มีอุปกรณ์ slave อ่ายพี Ying ตัวเดียวกับในระบบ bus ก็จะเป็นระบบ "single drop" และเมื่อมีอุปกรณ์ slave อ่ายหลายตัวก็จะเป็นระบบ "multidrop"

ในการส่งข้อมูลหรือคำสั่ง จะเป็นการส่ง Least significant bit ก่อน

ลำดับขั้นตอนในการเข้าถึงตัว DS18S20 จะเป็นดังนี้

- ลำดับที่ 1: Initialization: การทำงานในระบบ I-Wire bus จะเริ่มด้วยขั้นตอนการ initialization ที่ประกอบด้วย การส่ง reset pulse จากตัว bus master ที่จะตามด้วย presence pulse ที่ตอบกลับมาจากอุปกรณ์ slave(s)

- ลำดับที่ 2: ชุดคำสั่ง ROM (ROM command): หลังจากที่ตัว bus master ได้รับ presence pulse ตัวมันก็จะสามารถใช้ชุดคำสั่ง ROM เพื่อใช้งาน 64-bit ROM codes ที่เป็นค่าประจำตัวของ อุปกรณ์ slave แต่ละตัว

- ลำดับที่ 3: ชุดคำสั่ง Function ของ DS18S20: หลังจากที่ตัว bus master ได้ใช้ชุดคำสั่ง ROM เพื่อเลือกใช้ตัว DS18S20 ที่ต้องการจะติดต่อด้วย ตัวมันก็จะสามารถใช้ชุดคำสั่ง Function ของ DS18S20 ที่ทำให้สามารถอ่าน หรือเขียนค่าจาก Scratchpad Memory, เริ่มกระบวนการแปลงค่าอุณหภูมิ และพิจารณาใหม่ของการทำงานของแหล่งจ่ายไฟ

2.9 รีเลย์

รีเลย์ (Relay) เป็นอุปกรณ์ใช้สำหรับปิดและเปิดวงจรเช่นเดียวกับสวิตช์แต่การทำงานของรีเลย์ทำงานด้วยการให้กระแสไฟฟ้าไหลผ่านเข้าไปในขดลวดของรีเลย์ทำให้เกิดข้อร่องแม่เหล็กดูดขึ้วโลหะของรีเลย์ติดหรือขาดออกจากกันทำให้วงจรต่อ กันหรือขาดออกจากกันเมื่ອនการปิดเปิดวงจรด้วยสวิตช์

รีเลย์เป็นสวิตช์แม่เหล็กไฟฟ้าซึ่งทำหน้าที่เชื่อมต่อหรือเปิดวงจรการทำงานจะดึงหน้าสัมผัสเข้าหากันหรือให้หนีออกจากกันข้างหนึ่งดังแสดงในรูปที่ 2.19 และรูปที่ 2.20 โดยแสดงสัญลักษณ์และรูปถูกแบบของรีเลย์

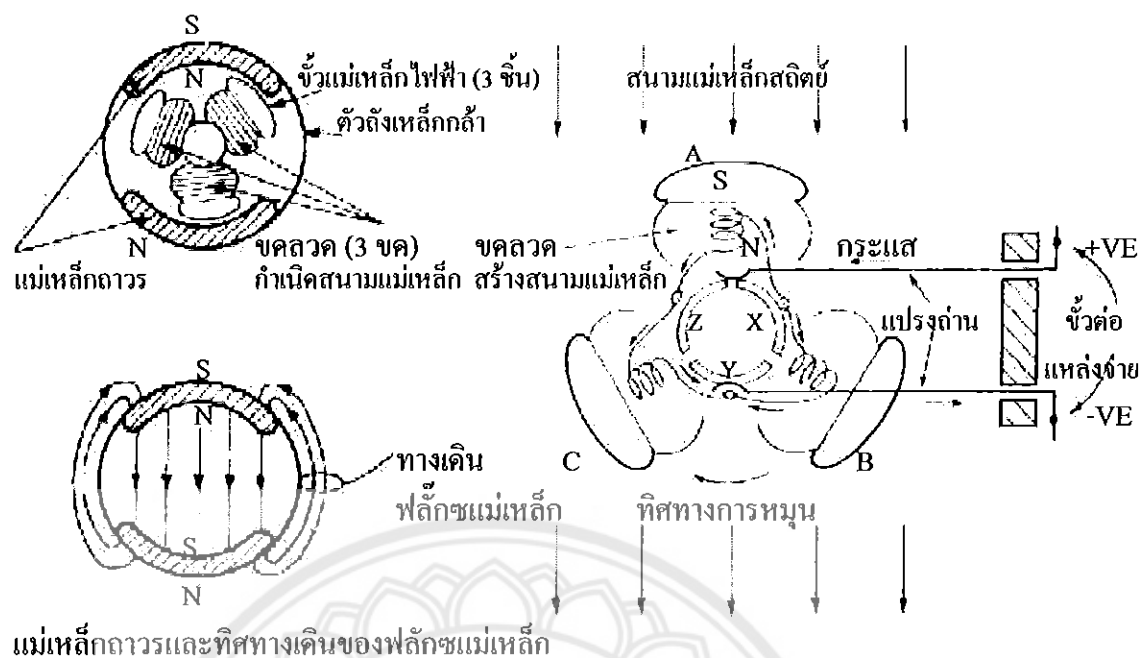


รูปที่ 2.19 รีเลย์

2.10 มอเตอร์ไฟฟ้ากระแสตรง (DC MOTOR)

2.10.1 หลักการทำงานของมอเตอร์กระแสตรง

มอเตอร์กระแสตรงจะมีหลักการทำงานโดยวิธีการผ่านกระแสไฟฟ้ากับขดลวดในสนามแม่เหล็ก ซึ่งจะทำให้เกิดแรงแม่เหล็ก โดยส่วนของแรงนี้จะขับเคลื่อนกระแสและกำลังของสนามแม่เหล็ก



รูปที่ 2.21 แสดงโครงสร้างทั่วไปของมอเตอร์กระแสตรง

จากในรูปทางเดินของฟลักซ์แม่เหล็ก และสนามแม่เหล็กจะเกิดจากแม่เหล็กเพอร์ไซต์ 2 ชิ้นที่ขึ้นรูปเป็นแบบโถงขีดติดกับตัวถัง ได้พอดี เพื่อที่จะให้สันแรงแม่เหล็กวิ่งเข้าสู่ในกลางของมอเตอร์ ได้ ดังนั้นความเข้มของแม่เหล็กจะขึ้นอยู่กับขนาดความหนาของแม่เหล็กด้วย ซึ่งส่งผลให้ฟลักซ์แม่เหล็กวิ่งไปบนตัวถังโลหะ กระแสไฟฟ้าในขคลวที่พันกับทุน โรเตอร์ก็จะทำให้เกิดสนามแม่เหล็กไฟฟ้า และด้านกับสนามแม่เหล็กถาวร จึงเกิดเป็นแรงบิดเพื่อที่จะหมุนทุน โรเตอร์ ให้ไปในทิศทางเดียวกันกับทิศทางของสนามแม่เหล็กที่มีแรงมากกว่า กระแสก็จะไหลผ่านไปยังทุน โรเตอร์ โดยผ่านแปรผ่านตัวนำในทุน โรเตอร์ และแหวนคอมมิวเตอร์ ซึ่งจะถูกแบ่งออกเป็น 3 เซกเมนต์เพื่อที่จะทำหน้าที่นำกระแสเข้าขคลวนี้เอง

2.10.2 การขับและกลับทิศทางของมอเตอร์กระแสตรง (DC MOTOR)

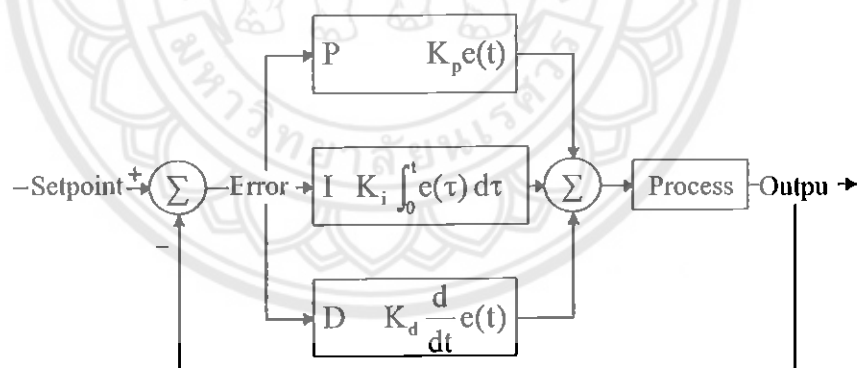
ในการใช้ไอซีในโครค่อน โทรเลอร์เป็นตัวควบคุมการหมุน และทิศทางของมอเตอร์กระแสตรงนี้ เราจะต้องมีส่วนของวงจร ที่เรียกว่างจรขับมอเตอร์ (Driver) ในส่วนของวงจรกลับทิศทางของมอเตอร์นี้ สามารถที่จะใช้รีเลย์ต่อวงจร สวิตช์เพื่อกลับทิศทางของข้าไฟกระแสตรง หรืออาจใช้อุปกรณ์สารกึ่งตัวนำที่เป็นวงจรขับกำลังเช่น ทรานซิสเตอร์ นอสเฟต แล้วแต่ว่าที่เราจะเลือกใช้งาน

2.10.3 การควบคุมความเร็วของมอเตอร์กระแสตรง

การควบคุมความเร็วของมอเตอร์กระแสตรงมีหลายวิธีด้วยกัน ซึ่งอาจจะใช้วิธีการควบคุมแบบพื้นฐานทั่วไป เช่น การควบคุมด้วยวิธีการใช้ตัวค้านทานปรับค่าโคลต์อนุกรมกับมอเตอร์ หรือใช้วิธีการการควบคุมโดยการเปลี่ยนค่าของระดับแรงดันที่ป้อนให้กับมอเตอร์ แต่การควบคุมในวิธีดังกล่าวถึงแม้ว่าจะควบคุมความเร็วของมอเตอร์ให้คงที่ได้ แต่ที่ความเร็วต่างๆ ส่งผลให้แรงบิดต่างๆ ไม่เท่ากัน จึงเลือกใช้วิธีการควบคุมโดยการจ่ายกระแสไฟให้กับมอเตอร์เป็นช่วงๆ โดยอาศัยกระแสไฟที่ป้อนให้กับมอเตอร์ให้เป็นค่าเฉลี่ยที่เกิดขึ้นในแต่ละช่วง ซึ่งเราเรียกว่าวิธีการของการมอเตอร์ชั้นทางความกว้างของพัลส์ PWM (Pulse Width Modulation)

2.11 การควบคุมแบบพีไอดี (PID Control)

การควบคุมแบบพีไอดี เป็นระบบการควบคุมแบบป้อนกลับที่ใช้กันอย่างกว้างขวาง ซึ่งค่าที่จะนำไปใช้ในการคำนวณเป็นค่าความผิดพลาดที่มาจากการแปรตัวของตัวแปรในกระบวนการและค่าที่ต้องการ ตัวควบคุมจะพยายามลดค่าผิดพลาดให้เหลือน้อยที่สุดด้วยการปรับค่าสัญญาณขาเข้าของกระบวนการ ค่าตัวแปรของพีไอดีที่ใช้จะปรับเปลี่ยนตามธรรมชาติของระบบ



รูปที่ 2.22 แสดงแผนภาพล็อกของการควบคุมแบบพีไอดี

2.11.1 ทฤษฎีการควบคุมแบบพีไอดี

ทฤษฎีการควบคุมแบบพีไอดี ได้ชื่อตามการรวมกันของเทอมของตัวแปรทั้งสามตามสมการ

$$u(t) = K_p e(t) + K_i \int_0^t e(\tau) d\tau + K_d \frac{d}{dt} e(t) \quad (2.11)$$

ถ้าเขียนอยู่ในรูปแบบผลการแปลงลาปลาช จะได้ว่า

$$G(s) = K_p e + K_i + K_d s \quad (2.12)$$

2.11.2 การควบคุมแบบสัดส่วน (Proportion Control)

การควบคุมระบบแบบป้อนกลับโดยใช้ตัวควบคุมแบบสัดส่วนนี้ สัญญาณควบคุม (u) จะเป็นสัดส่วนโดยตรงกับค่าสัญญาณความผิดพลาด (e) ที่เกิดจากผลต่างระหว่างค่าสัญญาณอ้างอิงกับสัญญาณเอาท์พุตของระบบที่ทำการควบคุมนั้นดังแสดงในแผนภาพลีอกดังนี้



รูปที่ 2.23 แสดงแผนภาพลีอกของการควบคุมแบบสัดส่วน

ความสัมพันธ์ระหว่างสัญญาณเอาท์พุตจากตัวควบคุมและสัญญาณผิดพลาดที่ส่งเข้าไปในระบบสามารถเขียนได้ดังนี้

$$u(t) = K_p e(t) \quad (2.13)$$

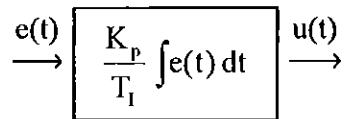
ถ้าเขียนอยู่ในรูปแบบผลการแปลงลาปลาช จะได้ว่า

$$\frac{U(s)}{E(s)} = K_p \quad (2.14)$$

เมื่อค่าแกน K_p จะเป็นค่าอัตราขยายของตัวควบคุมนี้หรือจะเรียกว่าแกนสัดส่วน

2.11.3 การควบคุมแบบอินทิกรัล (Integral Control)

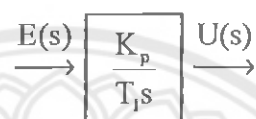
การควบคุมแบบอินทิกรัล นี้เพื่อต้องการลดค่าความผิดพลาดในสถานะอยู่ตัว ในขณะเดียวกันค่าความมีเสถียรภาพของระบบก็จะลดน้อยลง การควบคุมนั้นดังแสดงในแผนภาพลีอกดังนี้



รูปที่ 2.24 แสดงแผนภาพล็อกของ การควบคุมแบบอินทิกรัล

$$u(t) = \frac{K_p}{T_I} \int e(t) dt \quad (2.15)$$

หรือในรูปแบบของสมการฟังก์ชันถ่ายโอน จะได้ว่า



ด้านเขียนอยู่ในรูปแบบผลการแปลงลาปลาซ จะได้ว่า

$$\frac{U(s)}{E(s)} = \frac{K_p}{T_I s} \quad (2.16)$$

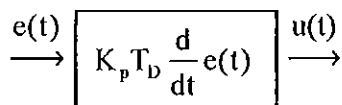
โดยที่ T_I = integral time or reset time

$$\frac{1}{T_I} = \text{reset rate}$$

การควบคุมแบบอินทิกรัลนี้ จะเห็นว่าสัญญาณควบคุม $u(t)$ อาจจะมีค่าต่อเนื่องข้างมากก็ได้ โดยไม่ลดลงทั้งๆ ที่สัญญาณผิดพลาด $e(t)$ มีค่าเป็นศูนย์ในภายหลังหรือเมื่อเวลาผ่านไปแล้วก็ตาม ทั้งนี้ก็เพราะว่าสัญญาณควบคุมในการผิบของการควบคุมแบบอินทิกรัลขึ้นอยู่กับค่าในอดีต ซึ่งจะไม่เหมือนกับตัวควบคุมเชิงตัวส่วน ซึ่งอยู่กับค่าปัจจุบัน

2.11.4 การควบคุมแบบอนุพันธ์ (Derivative Control)

การควบคุมแบบอนุพันธ์นี้จะช่วยในการเพิ่มค่าความหน่วงให้กับระบบที่ต้องการจะควบคุม นั่นก็คือทำให้ระบบมีเสถียรภาพเพิ่มมากขึ้น แต่โดยทั่วไปแล้วตัวควบคุมเชิงอนุพันธ์นี้จะไม่ทำให้ค่าความผิดพลาดในสถานะอยู่ตัวมีค่าเป็นศูนย์ได้ ในขณะเดียวกันจะเห็นว่าสัญญาณเอาท์พุทที่ออกจากตัวควบคุมเชิงอนุพันธ์นี้เป็นสัญญาณที่เกิดจากการหาอนุพันธ์ของสัญญาณผิดพลาด $\frac{d}{dt} e(t)$ การควบคุมนี้ดังแสดงในแผนภาพล็อกดังนี้



รูปที่ 2.25 แสดงแผนภาพบล็อกของการควบคุมแบบอนุพันธ์

$$u(t) = K_p T_D \frac{d}{dt} e(t) \quad (2.17)$$

รูปแบบของสมการฟังก์ชันถ่ายโอน จะได้ว่า



ถ้าเขียนอยู่ในรูปแบบผลการแปลงลาปลาช จะได้ว่า

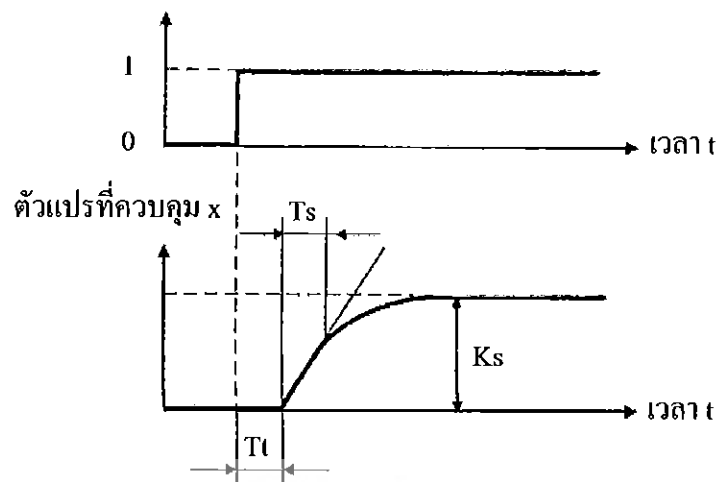
$$\frac{U(s)}{E(s)} = K_p T_D s \quad (2.18)$$

โดยที่ค่า $T_D = \text{ช่วงเวลาอนุพันธ์}$

การควบคุมแบบอนุพันธ์นี้ส่วนมากแล้วจะใช้ร่วมกับตัวควบคุมตัวอื่น หากสัญญาณผิดพลาดนี้มีสัญญาณรบกวนมาก สัญญาณเอาท์พุตที่ออกมานากร้าวเร็วๆ แต่ควบคุมเชิงอนุพันธ์นี้จะกระเพื่อมค่อนข้างมาก (เนื่องจากค่าความชันของสัญญาณเปลี่ยนแปลงค่อนข้างมาก) ซึ่งจะทำให้ระบบควบคุมของเรามีเสถียรภาพได้

2.11.5 การตั้งค่าตัวควบคุมผลตอบสนองต่อสัญญาณขั้นบันไดโดยใช้วิธี Ziegler-Nichols

การวิเคราะห์จากผลสอนต่อสัญญาณขั้นบันไดของระบบที่ถูกควบคุม รูปที่ 2.26 ซึ่งจาก การวิเคราะห์ที่จะทำให้ได้ ค่าเวลาเลื่อย (T_l), ค่าคงที่การหน่วงเวลา (T_s) และค่าอัตราการขยายของระบบที่ถูกควบคุม (K_s) สำหรับค่าพารามิเตอร์ของตัวควบคุมจะถูกคำนวณได้โดยการใช้สมการที่ปรากฏอยู่ในตารางที่ 2.2

ตัวแปรแก้ไขปรับกระบวนการ y 

รูปที่ 2.26 การหาคุณสมบัติของระบบโดยการวิเคราะห์จากผลตอบสนองต่อสัญญาณขั้นบันได

ตารางที่ 2.2 การตั้งค่าพารามิเตอร์โดยการวิเคราะห์จากผลตอบสนองต่อสัญญาณขั้นบันได

Controller	K_p	T_n	T_v
P	$\frac{T_s}{K_s \cdot T_t}$	-	-
PI	$0.9 \frac{T_s}{K_s \cdot T_t}$	$3.3 T_t$	-
PID	$1.2 \frac{T_s}{K_s \cdot T_t}$	$2 T_t$	$0.5 T_t$

วิธีการของ Ziegler-Nichols เป็นการปรับค้างค่าของตัวควบคุมที่ทำให้ผลตอบสนองของวงจรควบคุมแบบวงปิดต่อการวนระบบเป็นไปอย่างเหมาะสม เมื่อตัวแปรข้างอิงเกิดการเปลี่ยนแปลงในลักษณะของสัญญาณขั้นบันไดการปรับตั้งค่าด้วยวิธีการของ Ziegler - Nichols จะทำให้ตัวแปรที่ถูกควบคุมมีการเปลี่ยนแปลงตาม และมีการเกิดผลตอบสนองเกินค่าเป้าหมายของสัญญาณเกิดขึ้น

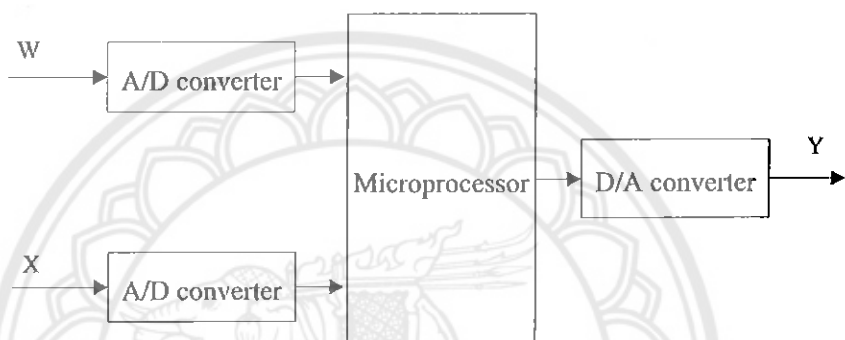
2.11.6 การแปลงค่าพารามิเตอร์ และค่าคงที่เวลาของตัวควบคุม

ตัวควบคุมแบบพีโอดี โดยปกติจะถูกปรับตั้งค่าสัมประสิทธิ์ของการควบคุมแบบอัตราส่วน K_p และค่าที่ของเวลา T_v และ T_n แต่ถึงอย่างไรก็ตามก็มีป้อยครึ้งที่ใช้การกำหนดตัวควบคุมด้วยค่าสัมประสิทธิ์ K_p , K_i และ K_d ซึ่งข้อมูลในตารางที่ 3.5 ได้สรุปถึงสมการที่ใช้สำหรับเปลี่ยนค่าของตัวแปรต่างๆ

ตารางที่ 2.3 สัมประสิทธิ์ของตัวควบคุม และค่าคงที่ของเวลา

การแปลงจากค่า K_p, T_n, T_v ไปเป็น K_i, K_d	การแปลงจากค่า K_p, K_i, K_d ไปเป็น T_n, T_v
$K_i = \frac{K_p}{T_n}$	$T_n = \frac{K_p}{K_i}$
$K_d = K_p \cdot T_v$	$T_v = \frac{K_d}{K_p}$

2.11.7 ตัวควบคุม พื้นที่แบบดิจิตอล



รูปที่ 2.27 รูปแสดงแผนภาพการ ให้ผลของสัญญาณสำหรับตัวควบคุมแบบดิจิตอล

ในรูปที่ 2.27 แสดงให้เห็นการ ให้ผลของสัญญาณสำหรับตัวควบคุมแบบดิจิตอล โดยที่ค่า ของตัวแปลงอ้างอิงและตัวแปลงที่ถูกควบคุมต่างกัน ทำโดยผ่านตัวแปลงสัญญาโนนalo ก เป็นสัญญาณดิจิตอล ซึ่งตัวแปลงสัญญาณจะทำให้เกิดตัวแปรเอาท์พุตในลักษณะของค่าตัวเลข จากนั้นตัวไมโครโปรเซสเซอร์จะปฏิบัติงานตามขั้นตอนดังต่อไปนี้

- 1) ทำการอ่านค่าของตัวแปรอ้างอิง และตัวแปรที่ถูกควบคุม
- 2) ทำการเบริชน์เทียนค่าของตัวแปรอ้างอิง และตัวแปรที่ถูกควบคุม
- 3) ทำการประมวลผลสัญญาณ
- 4) ค่าเอาท์พุตจากการประมวลผลจะถูกส่งไปที่อินพุตของตัวแปลงสัญญาณดิจิตอลเป็น สัญญาโนนalo ก ต่อไป

ตัวแปลงสัญญาณดิจิตอลเป็นสัญญาโนนalo กจะทำให้ข้อมูลที่ได้จากการประมวลผล ของไมโครโปรเซสเซอร์ ซึ่งถูกกำหนดเป็นค่าตัวแปรแก้ไขปรับกระบวนการ ถูกแปลงให้ไปอยู่ใน รูปของสัญญาณแรงดันไฟฟ้า

การปฏิบัติการทั้งในส่วนของการอ่านค่าสัญญาณ การประมวลผลและการส่งสัญญาณ เอาท์พุตออกไปจะถูกกระทำให้เกิดขึ้นช้าๆ กันตั้งแต่ 20 ครั้ง ถึงจะเป็นจำนวนหลายพันครั้งต่อวินาที ทั้งนี้ขึ้นอยู่กับชนิดของตัวควบคุมที่ถูกนำมาใช้

จากทฤษฎีที่ได้ศึกษามาแล้วทั้งหมดใน บทที่ 2 ทำให้มีความรู้ในเรื่อง คุณสมบัติ, การทำงาน และการต่อใช้งานของ ไอซีที่นำมาใช้ในโครงงานคือ ในโครงตน โทรศัพท์มือถือ AVR(ATmega64),เซนเซอร์วัดอุณหภูมิ DS18S20, รีเลย์ และมีความรู้ในเรื่องของทฤษฎีการควบคุมแบบพื้นที่ เพื่อนำไปใช้ในการเขียนโปรแกรมภาษาซี เพื่อใช้ควบคุมการทำงาน และสร้างชิ้นงานใน บทที่ 3 ต่อไป

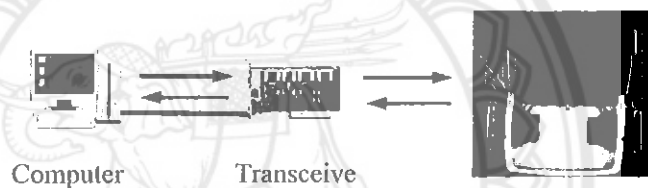


บทที่ 3

ขั้นตอนการดำเนินงานและการออกแบบ

หลังจากการศึกษาหลักการและทฤษฎีที่เกี่ยวข้องกับการทดลองมาแล้วในบทที่ผ่านมา สามารถนำหลักการดังกล่าวมาประยุกต์เพื่อสร้างเป็นโครงการศูนย์เชื่อมความคุณค่าวิทยาในโครงตนโทรศัพท์ที่สามารถดำเนินการได้จริง ขั้นตอนการดำเนินงานและการออกแบบนี้ ดังค่อไปนี้

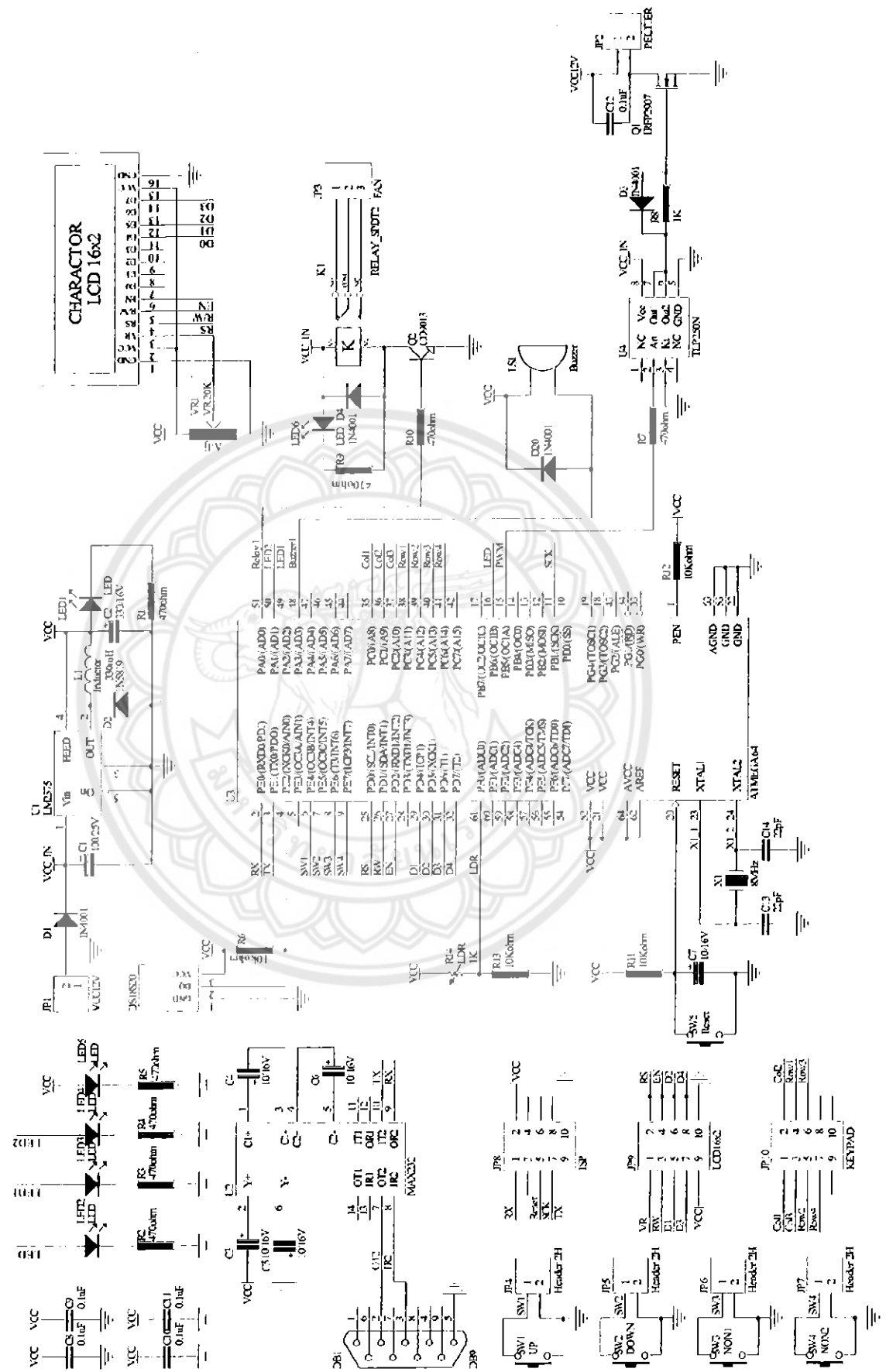
3.1 การออกแบบวงจรควบคุมระบบศูนย์เชื่อมความคุณค่าวิทยาในโครงตนโทรศัพท์



รูปที่ 3.1 ภาพรวมของระบบห้องทดลองในโครงงาน

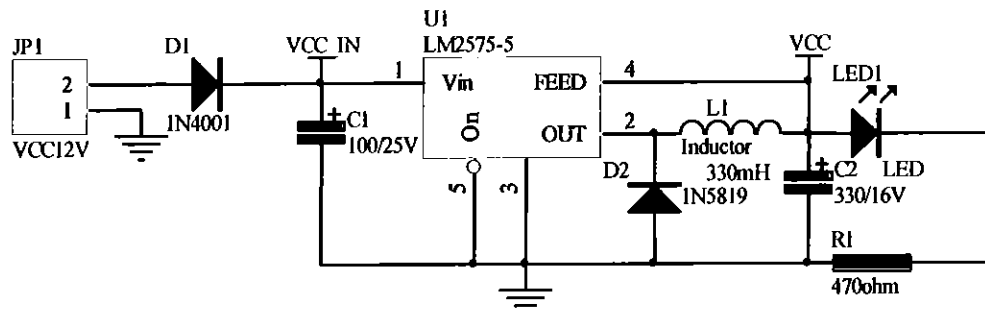
หลักการทำงานของระบบในรูปที่ 3.1 นั้น เริ่มจากการเขียนโปรแกรมข้อมูลสั่งการจากคอมพิวเตอร์ ผ่านโปรแกรม Code Vision AVR C Compiler โดยการเขียนข้อมูลมาอยู่ในรูปแบบของภาษาซี แล้วจึงนำส่งข้อมูลผ่านพอร์ตบู托ตบี (USB 2.0) หลังจากที่คอมพิวเตอร์ได้ส่งข้อมูล ออกมายังพอร์ตบู托ตบีแล้ว ทางด้านผู้รับข้อมูลจะเชื่อมต่อเข้ากับไมโครคอนโทรลเลอร์ตระกูล AVR เพื่อรับข้อมูลจากคอมพิวเตอร์เพื่อควบคุมการทำงานของอุปกรณ์ภายนอก คือ การรับค่าอุณหภูมิจากสวิตช์ การวัดค่าอุณหภูมนิปปิจุบันด้วยไอซี DS18S20 หลังจากนั้นจึงควบคุมการทำงานของเพลทีเซอร์ภายในศูนย์เชื่อมเพื่อทำความเย็นให้ได้ตามอุณหภูมิที่ตั้งค่าไว้

อุปกรณ์รับข้อมูลจากคอมพิวเตอร์ในโครงงานนี้คือ วงจรควบคุมอุณหภูมิด้วยการทำงานของไมโครคอนโทรลเลอร์ตระกูล AVR (ATmega 64) มีการทำงานรับข้อมูลจากคอมพิวเตอร์เป็นข้อมูลอักขระตัวอักษร เพื่อนำแปลงเป็นเลขฐาน 16 ใช้ในการสั่งการและแสดงผล และส่งข้อมูลต่างๆ ไปยังคุปป์ลิกอนควบคุมการทำงานในการทำความเย็นตามรูปภาพที่ 3.2



รูปที่ 3.2 รูปวงจรควบคุมอุณหภูมิด้วยไมโครคอนโทรลเลอร์

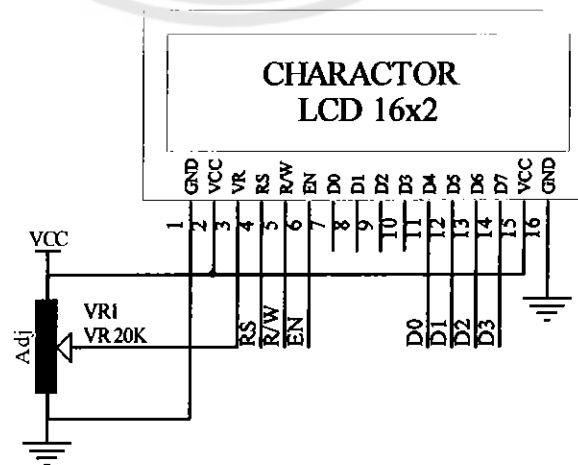
3.1.1 วงจรไฟเลี้ยงในโครค่อนໂගຣລເດອຣ໌



ຮູບທີ 3.3 ວັດໄຟເລື່ອງໃນໂກຣຄອນໂກຣລເດອຣ໌

- 1) JP1 ເປັນຄອນເນັດເຕີອີຣ໌ສໍາຫັບຕ່ອໄຟເລື່ອງເຂົ້າຕັ້ງແຕ່ 7-40 ໂວລ໌ DC
- 2) D1 ຄື້ອໄໂຄໂອຄມີ້ນ້າທີ່ປຶ້ອງກັນກະແສບ້ອນກັບຈາກ JP1 ທີ່ເປັນຄອນເນັດເຕີອີຣ໌
- 3) C1 ແລະ C2 ຄື້ອັດເກັບປະຈຸນີ້ນ້າທີ່ກ່ຽວຂ້ອງແຮງດັນໄຟໄທເຮີເບ
- 4) LM2575-5 ມີ້ນ້າທີ່ພູ່ງແຮງດັນໄຟໄຟເມື່ອເຂົ້າມາ ທຳໄໝເອາທິ່ງຫຼຸດອອກ 5 ໂວລ໌
- 5) D2 ຄື້ອໄໂຄໂອຄມີ້ນ້າທີ່ປຶ້ອງກັນກະແສບ້ອນກັບຈາກ L1 ທີ່ເປັນຕົວໜ່າຍວໍານຳ
- 6) L1 ຄື້ອັດໜ່າຍວໍານຳຊື່ງທໍາໜ້າທີ່ເປັນຕົວໜ່າຍກະແສເພື່ອໄຟໄໝໃໝ່ແຮງດັນຕົກຂະນະທີ່ໄຟ 5 ໂວລ໌ ຈ່າຍໂຫດນາກເກີນຄວາມຕ້ອງການ
- 7) LED1 ເປັນແອລອື້ດີແສດງສດານະເພື່ອໃຫ້ຮູ້ວ່ານີ້ໄຟ 5 ໂວລ໌ ອອກມາຈາກ LM2575-5 ທີ່ໄຟໄໝໃໝ່ສ່ວນ R1 (ຕົວຕ້ານທານ) ມີ້ນ້າທີ່ເປັນຕົວຕ້ານທານກະແສໄໝໄໝໃໝ່ໄໝໄໝຜ່ານແອລອື້ດີມາກເກີນໄປ

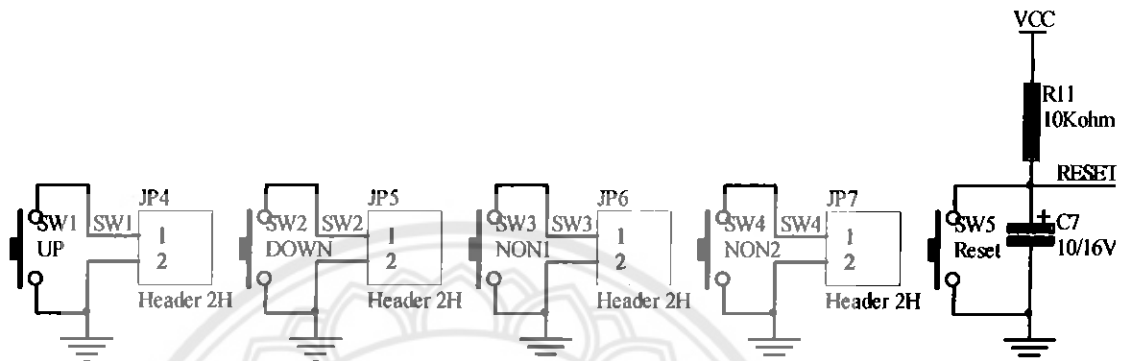
3.1.2 ການຕ່ອໄຫວ້າຈອແອລຊື້ 16x2



ຮູບທີ 3.4 ວັດຈອແອລຊື້

ขอแสดงเช่นกันที่นำมาใช้งานเป็นชุดแอลซีบินดาค 16x2 คือ 16 ตัวอักษร 2 บรรทัดในการต่อ กับในโกรคอน โทรลเลอร์ ที่เป็นการต่อแบบ 4 บิต

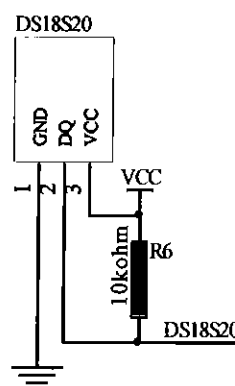
3.1.3 การต่อใช้งานสวิตช์



รูปที่ 3.5 วงจรสวิตช์

สวิตช์ เป็นสวิตช์แบบกดติดปล่อยดับ มี สวิตช์หนึ่ง สวิตช์สอง และสวิตช์ห้า ที่ใช้งาน สวิตช์สาม และสวิตช์สี่ ไม่ใช้งาน หลักการทำงาน คือ เมื่อมีการกดสวิตช์หนึ่ง อุณหภูมิจะเพิ่มขึ้น ที่ละ 0.5 องศาเซลเซียส ต่อการกดสวิตช์หนึ่งครั้ง เมื่อการกดสวิตช์สอง อุณหภูมิจะลดลงที่ละ 0.5 องศาเซลเซียสต่อการกดสวิตช์หนึ่งครั้ง และสวิตช์ห้า ใช้รีเซ็ต เพื่อเริ่มต้นการทำงานใหม่อีกครั้ง

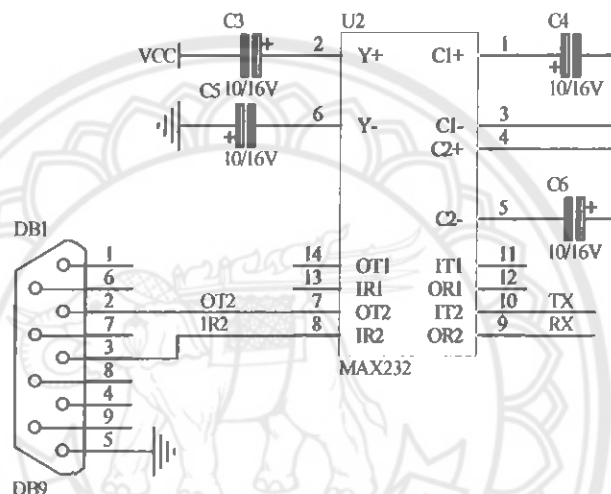
3.1.4 การต่อใช้งานไอซีวัดอุณหภูมิ DS18S20



รูปที่ 3.6 วงจร DS18S20 ตรวจวัดอุณหภูมิ

ไอซี DS18S20 เป็นตัวตรวจวัดอุณหภูมิแบบสายเคิล มีสารน้ำคือ ขาเหล็กจ่ายไฟ ขากราวด์ และขารับข้อมูลค่าของอุณหภูมิ ซึ่งเป็นขารับข้อมูลสายเดียว ซึ่งทำหน้าที่ตรวจวัดอุณหภูมิ ของอากาศว่ามีค่ากี่องศาเซลเซียส และนำค่าอุณหภูมิส่งไปยังไมโครคอนโทรลเลอร์เพื่อกำกับไว้ คำนวณหาค่าความแตกต่างระหว่างอุณหภูมิของอากาศจะนั้นกับค่าอุณหภูมิของอากาศที่เราได้ กำหนดไว้ เพื่อนำค่าที่ได้ไปใช้ในการควบคุมแบบพื้นที่ต่อไป

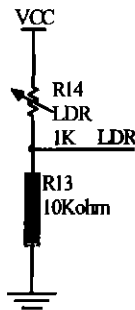
3.1.5 การต่อใช้งาน MAX 232



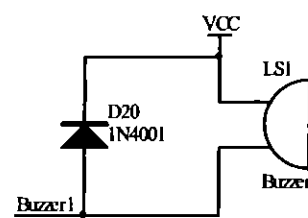
รูปที่ 3.7 วงจร MAX 232 ส่งข้อมูลไปยังคอมพิวเตอร์

วงจร MAX 232 เป็นตัวส่งข้อมูลจากไมโครคอนโทรลเลอร์ไปยังคอมพิวเตอร์ ผ่านทาง พอร์ต Hyper Terminal

3.1.6 การต่อใช้งานสัญญาณเตือน



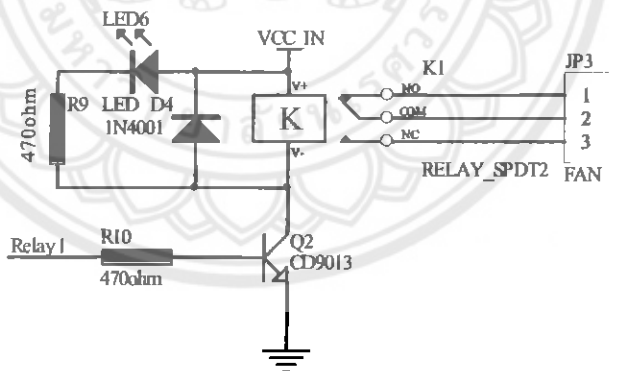
รูปที่ 3.8 วงจร LDR



รูปที่ 3.9 วงจร BUZZER

วงจรสัญญาณเตือน การทำงานจะเริ่มจากวงจร LDR เป็นตัวรับสัญญาณแสงแล้วส่งค่าความเข้มแสงไปยังใน โครค่อน โทรลเลอร์ เมื่อเกินค่าที่ได้กำหนดไว้จะส่งจ่าขยะกระแสไฟไปยังวงจร BUZZER เพื่อส่งสัญญาณเตือน

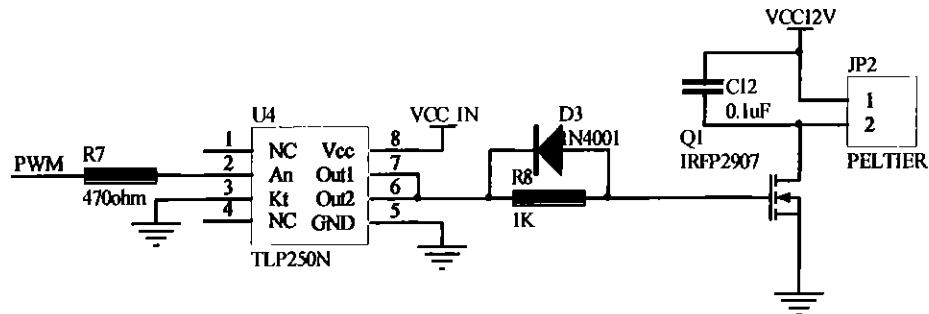
3.1.7 การต่อใช้งานพัดลม DC 12 โวลต์



รูปที่ 3.10 วงจรพัดลม DC 12 โวลต์

วงจรพัดลม DC 12 โวลต์ เป็นวงจรระบายน้ำความร้อนให้เพลทีเยอร์

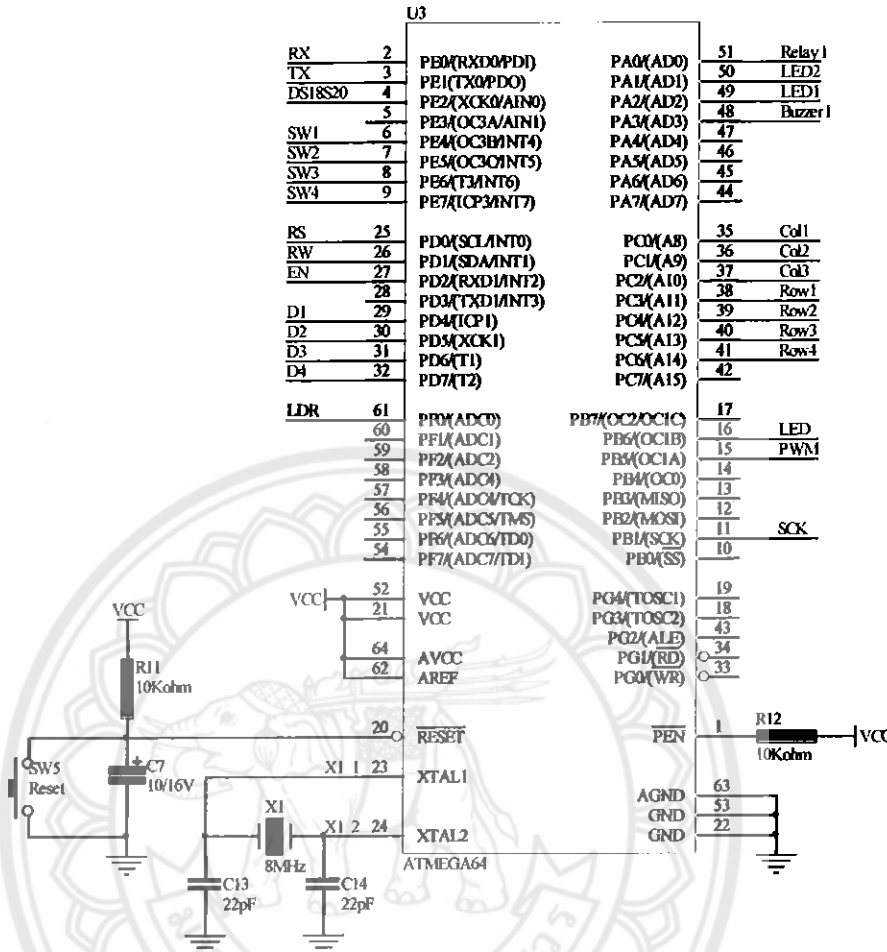
3.1.8 การต่อใช้งานเพลทีบีร์



รูปที่ 3.11 วงจรจ่ายกระแสไฟฟ้าเพลทีบีร์

วงจรจ่ายกระแสไฟฟ้าเพลทีบีร์ การทำงานจะเริ่มจากไมโครคอนโทรลเลอร์ โดยการส่ง สัญญาณ PWM ไปยัง ไอซี TLP250N หลังจากนั้น ไอซี TLP250N ก็จะส่งสัญญาณเข้ากับมอเตอร์ IRFP2907 เพื่อความคุ้มการทำงานของ PELTIER

3.1.9 การต่อใช้งานในicrocontroller AVR (ATmega 64)



รูปที่ 3.12 วงจรใช้งานในicrocontroller AVR

U3 เป็นในicrocontroller AVR (ATmega64) ในicrocontroller AVR จะทำงานได้ต้องอาศัย 3 อาย่างหลักๆ คือ

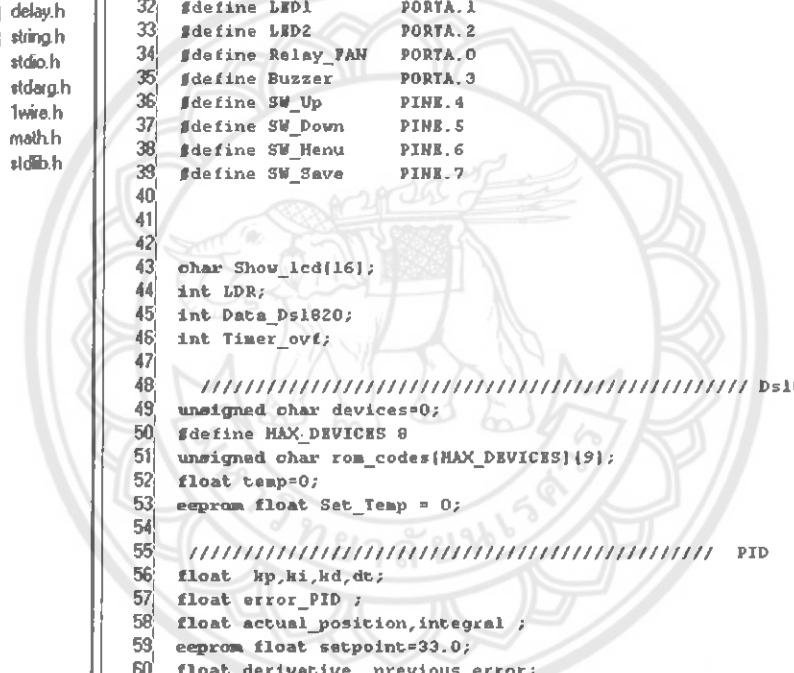
1. ไฟเลี้ยงในicrocontroller AVR

2. X-TAL หรือ คริสตัล มีหน้าที่สร้างสัญญาณนาฬิกาให้กับในicrocontroller C13 (ตัวเก็บประจุ) และ C14 (ตัวเก็บประจุ) มีหน้าที่กรองสัญญาณนาฬิกา (CRYSTAL) ก่อนที่จะเข้าไปยังในicrocontroller C4 (ตัวเก็บประจุ) มีหน้าที่กรองสัญญาณรับกวนที่จะเกิดขึ้นกับในicrocontroller AVR

3. R11 (ตัวต้านทาน) และ C7 (ตัวเก็บประจุ) เป็นวงจรรีเซตในicrocontroller ได้มางากแต่ข้อมูลของในicrocontroller ส่วน SW1, SW2, SW5 เป็นการต่อสวิตช์แบบแยกที่ฟ GND (กราวด์) คือการรับสัญญาณ GND (กราวด์) และ JP8 เป็นการเชื่อมต่อไว้สำหรับดาวน์โหลดโปรแกรมเข้าไปในicrocontroller โดยผ่านสาย ISP Down ของบริษัท ETT

3.2 การเขียนโปรแกรมควบคุมการทำงานของไมโครคอนโทรลเลอร์

การทำงานของระบบควบคุมดูแล้ววัสดุชิ้นควบคุมด้วยไมโครคอนโทรลเลอร์ซึ่งใช้โปรแกรมภาษาซีในการเขียนคำสั่งควบคุมในไมโครคอนโทรลเลอร์ตระกูล AVR มีรูปแบบของโปรแกรมที่ใช้และแผนผังการทำงานของโปรแกรม ตามที่แสดงไว้ในรูปที่ 3.13 และ 3.14



```

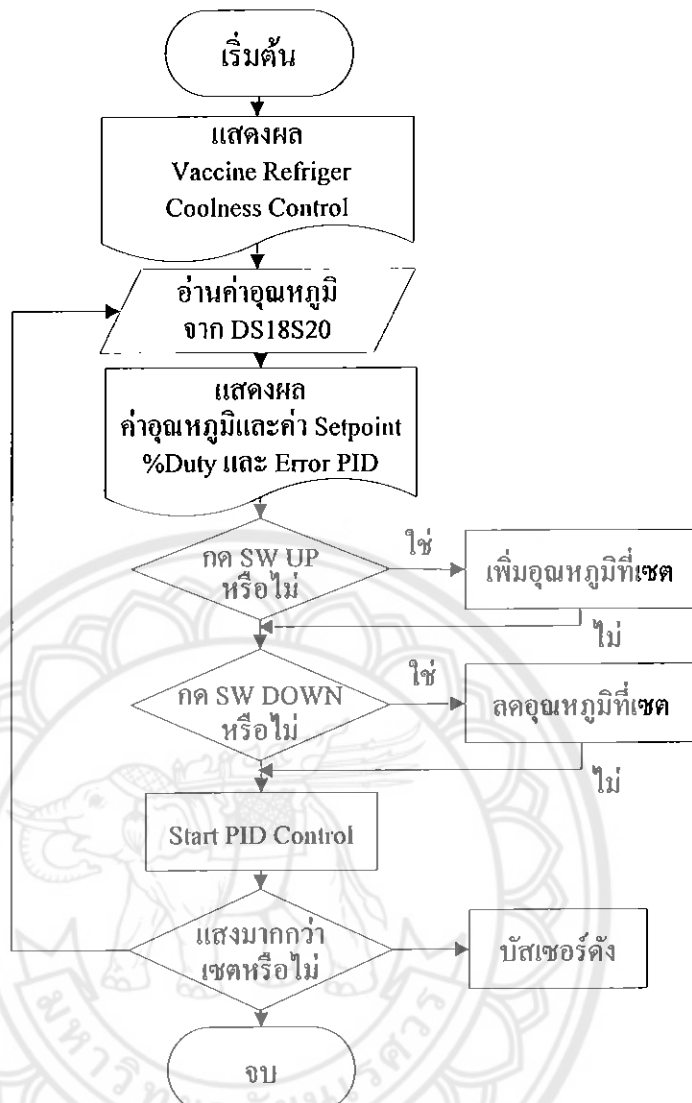
File Edit View Project Tools Settings Windows Help
Navigator < >
CodeVisionAVR
Project main
  Notes
  main.c
Other Files
  mega64.h
  delay.h
  string.h
  stdio.h
  stdarg.h
  lwie.h
  math.h
  stdlib.h

24 #include <mega64.h>
25 #include <delay.h>
26 #include <string.h>
27 #include <stdio.h>
28 #include <stdlib.h> // CHAR TO INT
29 #include <math.h>

30
31 #define LRD1    PORTA.1
32 #define LRD2    PORTA.2
33 #define Relay_FAN  PORTA.0
34 #define Buzzer   PORTA.3
35 #define SW_Up    PINB.4
36 #define SW_Down  PINB.5
37 #define SW_Henu  PINB.6
38 #define SW_Save  PINB.7
39
40
41
42
43 char Show_lcd[16];
44 int LDR;
45 int Data_Ds1820;
46 int Timer_ovf;
47
48 ///////////////////////////////// Ds1820 /////////////////////
49 unsigned char devices=0;
50 #define MAX_DEVICES 8
51 unsigned char rom_codes[MAX_DEVICES][9];
52 float temp=0;
53 eeprom float Set_Temp = 0;
54
55 ///////////////////////////////// PID /////////////////////
56 float kp,ki,kd,dt;
57 float error_PID ;
58 float actual_position,integral ;
59 eeprom float setpoint=33.0;
60 float derivative, previous_error;
61

```

รูปที่ 3.13 รูปโปรแกรม Code Vision AVR C Compiler



รูปที่ 3.14 การทำงานของโปรแกรม

เริ่มต้นโปรแกรมจะแสดงผล Vaccine Refriger Coolness Control ที่หน้าจอแอปพลิเคชีฟเพื่อแสดงว่าโปรแกรมเริ่มทำงานแล้วและจะเริ่มอ่านค่าอุณหภูมิที่ตั้งไว้กับอ่านค่าอุณหภูมิในอุปกรณ์ที่วัดได้ขณะนี้เพื่อนำมาคำนวณไปแสดงผลบนจอแอปพลิเคชีฟ หลังจากนั้นโปรแกรมจะตรวจสอบว่า มีการกดสวิตช์เพิ่มอุณหภูมิหรือไม่ ถ้ามีการกดสวิตช์เพิ่มอุณหภูมิ อุณหภูมิที่ตั้งค่าไว้จะเพิ่มทีละ 0.5 องศาเซลเซียสต่อการกดสวิตช์หนึ่งครั้ง แต่ถ้าไม่มีการกดสวิตช์เพิ่มอุณหภูมิโปรแกรมก็จะทำงานในขั้นตอนต่อไป คือ ตรวจสอบว่ามีการกดสวิตช์ลดอุณหภูมิหรือไม่ ถ้ามีการกดสวิตช์ลด อุณหภูมิ อุณหภูมิที่ตั้งค่าไว้จะถูกลดค่า 0.5 องศาเซลเซียส ต่อการกดสวิตช์หนึ่งครั้ง หลังจากนั้น ก็นำค่าอุณหภูมิที่วัดได้จากอุปกรณ์ และค่าอุณหภูมิที่ได้ตั้งค่าไว้เข้าสู่โปรแกรมการคำนวณของการ ควบคุมแบบพื้นที่ ตรวจสอบว่าแสงไฟมากกว่าที่เซตไว้บันสูตรจะดัง และวนกลับไปเริ่มอ่านค่า อุณหภูมิใหม่อีกรอบ จนอุณหภูมิที่วัดได้จากอุปกรณ์ค่าเท่ากับอุณหภูมิที่ตั้งค่าไว้ จึงทำการทำงาน

3.2.1 การทำงานของโปรแกรมการควบคุมแบบพีไอดี

หลังจากคำแนะนำการทำอุปกรณ์รับส่งสัญญาณในระบบเรียบร้อยแล้ว ต่อไปเป็นขั้นตอนการคำนวณโดยใช้สมการ การควบคุมแบบพีไอดี ควบคุมไมโครคอนโทรลเลอร์ เพื่อเข้าไปสั่งการเพลที่ปร์เพื่อทำความสะอาดให้ได้อุณหภูมิที่ต้องการ

การสร้างตัวควบคุมในที่นี้โดยจะพิจารณาถึงในรูปแบบของการใช้ยาดแวร์ที่เป็นในไมโครคอนโทรลเลอร์ จากนี้อหาเรื่องทฤษฎีระบบควบคุมที่นำเสนอ ก่อนหน้านี้ ทำให้ทราบว่าตัวควบคุมพีไอดี สามารถได้รับการเขียนแสดงในรูปความสัมพันธ์ทางคณิตศาสตร์ว่า

$$u(t) = K_p e(t) + K_i \int_0^t e(\tau) d\tau + K_d \frac{d}{dt} e(t)$$

(3.1)

เมื่อ $u(t)$ เป็นสัญญาณเอาท์พุตของตัวควบคุมและ $e(t)$ เป็นสัญญาณค่าผิดพลาดที่เกิดขึ้นของระบบควบคุมตัวควบคุม สมการพีไอดีแบบคิกตอลที่ใช้ควบคุม จึงแทนได้ด้วยความสัมพันธ์ดังสมการนี้

$$u(t) = (K_p \times \text{error}) + (K_i \times \text{integral}) + (K_d \times \text{derivative}) \quad (3.2)$$

error คือ ค่าผิดพลาด ณ เวลาปัจจุบันมีค่าเป็น

$$\text{error} = \text{setpoint} - \text{actual_position} \quad (3.3)$$

setpoint คือ ค่าที่กำหนด

actual_position คือ ค่าความอุณหภูมิจริงขณะนี้

integral คือ ค่าความผิดพลาดของระบบที่ถูกอินทิเกรท สามารถเขียนแทนด้วยสมการ

$$\text{integral} = \text{integral} - (\text{error} \times dt) \quad (3.4)$$

โดยที่ค่า integral เริ่มต้นจากศูนย์ตามการคำนวณของโปรแกรม และค่า dt คือเวลาการสุ่มสัญญาณ

derivative คือ การหาอนุพันธ์ของค่าความผิดพลาดของระบบ เขียนแทนด้วยสมการ

$$\text{derivative} = \frac{(\text{error} - \text{previous_error})}{dt} \quad (3.5)$$

`previous_error` คือ ค่าความผิดพลาดก่อนหน้า โดยจะมีค่าเริ่มต้นเท่ากับค่า `error` ปัจจุบัน

สามารถเขียนแผนภูมิการทำงานของโปรแกรมได้ดังนี้โดยการคำนวณแต่ละรอบจะต้อง จำเก็บอยู่ในความเวลาของการสุ่มสัญญาณ

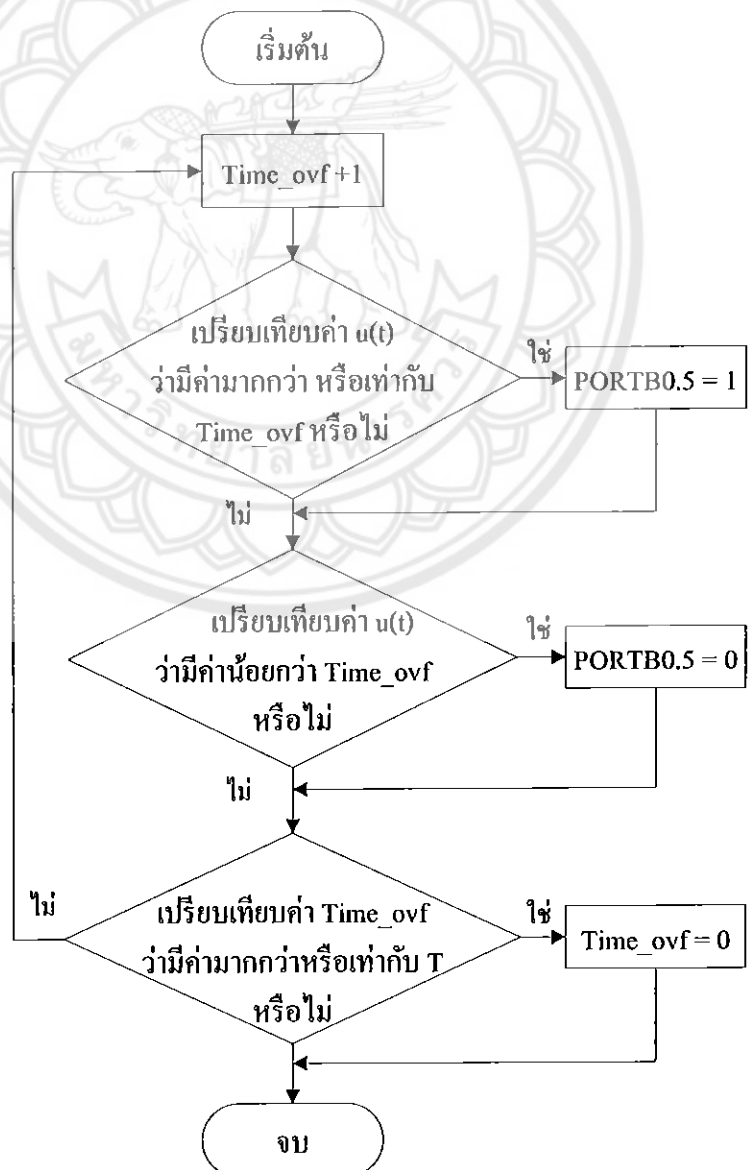


รูปที่ 3.15 แผนภูมิการทำงานของโปรแกรมควบคุมพีไอดีแบบดิจิตอล

การทำงานของโปรแกรมแบบควบคุมพีไอดี เริ่มจากการอ่านค่าอินพุต สองค่าที่อ่าน คือ ค่าอุณหภูมิที่ตั้งไว้ และค่าอุณหภูมิจริงของอากาศบนหน้า หลังจากนั้นนำสองค่าที่อ่าน ไปคำนวณหา ค่าความผิดพลาด โดยนำค่าอุณหภูมิที่ตั้งไว้ลบออกจากค่าอุณหภูมิที่วัด ได้ข้อมูลนี้ และนำค่า

ความผิดพลาดที่คำนวณได้ไปเข้าสู่การคำนวณของทฤษฎีการควบคุมแบบพีไอดีเพื่อหาค่า $u(t)$ (ตัวแปรแก้ไขระบบ) หลังจากนั้นนำค่า $u(t)$ ที่ได้จากการคำนวณของโปรแกรมไปควบคุมการทำงานของเพลเทียร์ภายในตู้แซฟเวอร์ซึ่งเพื่อทำความสะอาดให้ได้อุณหภูมิที่ตั้งค่าไว้เมื่อขับเคลื่อนการทำงาน 1 คาน คือ หนึ่งรอบการทำงานของโปรแกรม โปรแกรมพีไอดีจะกลับไปเริ่มทำงานอ่านค่าอินพุตใหม่ คืออุณหภูมิที่ตั้งไว้ และ อุณหภูมิจริงของอากาศขณะนี้ เพื่อใช้ในการทำงานของโปรแกรม อีกครั้งจะทำงานแบบนี้ต่อไปเรื่อยๆจนกว่าจะได้ค่าตัวแปรแก้ไขระบบที่ทำให้ระบบการควบคุม อุณหภูมิของอากาศอยู่ในสภาพะสมดุลคือค่าอุณหภูมิที่ตั้งไว้เท่ากับอุณหภูมิของอากาศที่วัดได้ในขณะนั้น

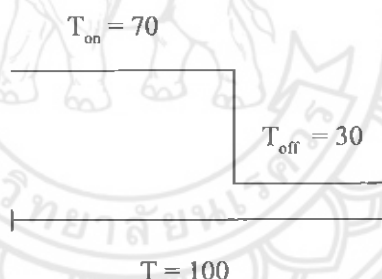
3.2.2 การเขียนโปรแกรมนำค่า $u(t)$ ออกไปควบคุมอุปกรณ์ภายนอก



รูปที่ 3.16 แผนภูมิการทำงานของโปรแกรมนำค่า $n(t)$ ออกไปควบคุมอุปกรณ์ภายนอก

การเขียนโปรแกรมกำหนดการทำงานของค่า $n(t)$ กำหนดค่าตัวแปร $T=100$, $u(t) = 0$ และ ตัวแปร Time_ovf ซึ่งชุดโปรแกรมนี้จะทำงานในรูปแบบของการอินเทอร์รัพท์ มีการทำงานดังนี้

ให้ Time_ovf บวกหนึ่ง ต่อไปก็ทำการเปรียบเทียบค่า Time_ovf กับค่า $n(t)$ ว่าค่า $n(t)$ มีค่ามากกว่าหรือเท่ากับค่า Time_ovf หรือไม่ ถ้าใช่ก็ให้ส่งเอาท์พุตเท่ากับ 1 ออกจาก PORTB0.5 แต่ถ้าค่า $n(t)$ มีค่าน้อยกว่าค่า Time_ovf ก็ให้ส่งค่าเอาท์พุตเท่ากับ 0 ออกจาก PORTB0.5 ต่อไปก็ทำการเปรียบเทียบค่า Time_ovf กับค่า T ว่าค่า Time_ovf มีค่ามากกว่าหรือเท่ากับค่า T หรือไม่ ถ้าไม่ใช่ก็ให้กลับไปเริ่มทำงานใหม่ก็อ บวกเพิ่มค่า Time_ovf ขึ้นจากเดิม +1 จนกว่าค่า Time_ovf จะมีค่ามากกว่าหรือเท่ากับค่า T ก็ให้กำหนดค่า Time_ovf เท่ากับ 0 งานการทำงาน จะได้การทำงานของขาด漉ความร้อนอยู่ในรูปแบบของพัลส์วิท์มอคูลาชัน (Pulse Width Modulation) หรือ PWM ยกตัวอย่าง เช่น เมื่อเราคำนวณ ค่า $n(t)$ จากสมการพีไอดีได้ค่าเท่ากับ 70 จะได้อเอาท์พุตเป็น $T_{on} = 70$ ครั้ง และ $T_{off} = 30$ ครั้ง ซึ่งการทำงานจะขึ้นอยู่กับค่า $n(t)$ ที่คำนวณได้จากสมการพีไอดี คือค่า $n(t)=T_{on}$ และได้รูป PWM ดังนี้



รูปที่ 3.17 รูปการทำงานแบบ PWM ของ $n(t)$

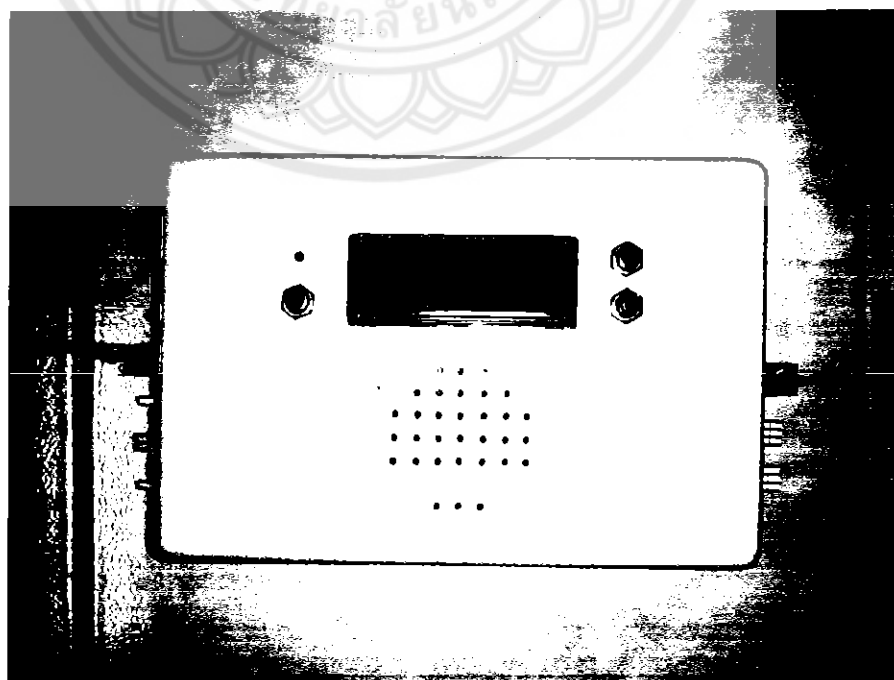
3.3 การประกอบบอร์ดควบคุมในโครค่อนໂທຣລເລອ່ຽນເບົກກັບຫຼູ້ແຂວ້ວຄືນ

หลังจากออกแบบลายวงจรของบอร์ดควบคุมในโครค่อนໂທຣລເລອ່ຽນກับการต่อใช้งาน อุปกรณ์ต่างๆเรียบร้อยแล้ว จึงทำการต่ออุปกรณ์ทั้งหมดตามลายวงจรและตามวิธีการต่อใช้งาน ของໄອຕີແຕ່ລະແບນລົງໃນບอร์ດ ໂດຍຕ່ອງເຫື່ອມຄ້າຍສາຍໄຟ ໄດ້ບໍລິຫານອົບປະກຳມັດແສດງໃນຮູບທີ່ 3.18



รูปที่ 3.18 บอร์ดความคุมในโกรคอน โทรลเลอร์

เพื่อความเรียบร้อยของชิ้นงาน ชุดวงจรของตัวความคุมในโกรคอน โทรลเลอร์ ที่ติดตั้งบนแพงวงจร จะถูกประกอบอยู่ในกล่องอุปกรณ์ที่จัดเตรียมไว้ ค่าอุณหภูมิของอากาศที่วัดได้ขณะนี้ ค่าอุณหภูมิของอากาศที่ตั้งค่าไว้ ค่าดิวตี้ไซเคิล และค่าผิดพลาด จะถูกแสดงผลบนหน้าจอแอลซีดี ซึ่งติดตั้งอยู่ด้านหน้าของกล่อง ดังแสดงในรูปที่ 3.19



รูปที่ 3.19 กล่องความคุมในโกรคอน โทรลเลอร์

เมื่อนำกล่องของบอร์ดควบคุมในโครงการโทรศัพท์ และอุปกรณ์วัดอุณหภูมิต่อเข้ากับคู่แข่งชิ้น จะได้คู่แข่งชิ้นควบคุมด้วยในโครงการโทรศัพท์ ดังแสดงในรูปที่ 3.20



รูปที่ 3.20 คู่แข่งชิ้นควบคุมด้วยในโครงการโทรศัพท์

จากการดำเนินการสร้างชิ้นงานใน บทที่ 3 โดยเริ่มจากการสร้างบอร์ดควบคุมในโครงการโทรศัพท์เพื่อนำไปใช้ในการควบคุมระบบการทำงานของคู่แข่งชิ้น หลังจากได้บอร์ดควบคุมในโครงการโทรศัพท์แล้ว ก็ทำการเขียนโปรแกรมภาษาซีควบคุมการทำงานของคู่แข่งชิ้น โดยใช้โปรแกรม (Code Vision AVR C Compiler) ช่วยในการเขียนโปรแกรมภาษาซี และใช้ทฤษฎีของการควบคุมแบบพีไอเด็นประกอบการเขียนโปรแกรม และเมื่อได้ค่า B(I) เรียบร้อยแล้วก็ส่งออกไปควบคุมการทำงานของเพลทีเบอร์ โดยค่าเอาท์พุตที่ส่งออกไปเป็นแบบ PWM ดังที่ได้อธิบายไว้ หลังจากการดำเนินการทั้งหมดจนทำให้ได้คู่แข่งชิ้นควบคุมด้วยในโครงการโทรศัพท์ แล้วก็จะนำไปสู่การทดลองใน บทที่ 4 ต่อไป

บทที่ 4

ผลการทดสอบและการวิเคราะห์

บทนี้เป็นการดำเนินการปฏิบัติงานต่อจากบทที่ 3 เพื่อพิสูจน์ผลการทดสอบว่าอุปกรณ์คั่งกล่าวที่ทำขึ้นสามารถใช้งานได้จริง

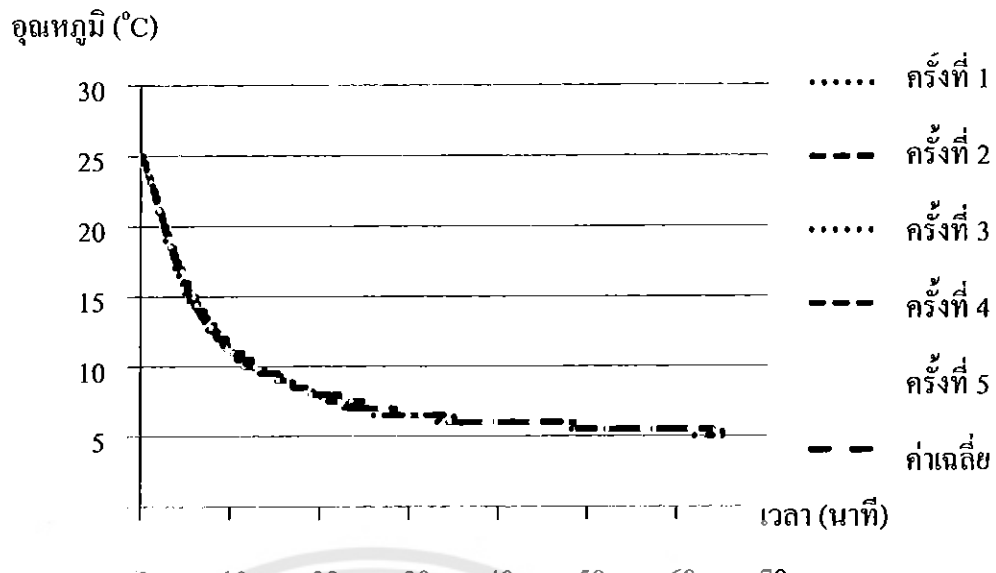
4.1 การทดสอบหาระยะเวลาในการลดอุณหภูมิ

การทดสอบจับเวลาเพื่อหาระยะเวลาในการลดอุณหภูมิของตู้แขวนควบคุมด้วยในโครค่อนไทรเดอร์ที่ทำงานตั้งแต่อุณหภูมิ 25.0 ถึง 5.0 องศาเซลเซียส โดยจะมีการทดสอบทั้งหมด 5 ครั้ง ซึ่งผลการทดสอบจะแสดงในตารางที่ 4.1

ตารางที่ 4.1 ผลการทดสอบหาระยะเวลาในการลดอุณหภูมิทุก ๆ 0.5 องศาเซลเซียส

อุณหภูมิ (°C)	ระยะเวลาในการลดอุณหภูมิ (นาที)					ค่าเฉลี่ย (นาที)
	ครั้งที่ 1	ครั้งที่ 2	ครั้งที่ 3	ครั้งที่ 4	ครั้งที่ 5	
25.0	0.00	0.00	0.00	0.00	0.00	0.00
24.5	0.16	0.16	0.16	0.16	0.17	0.16
24.0	0.33	0.35	0.33	0.34	0.35	0.34
23.5	0.50	0.52	0.49	0.51	0.53	0.51
23.0	1.05	1.08	1.03	1.09	1.09	1.07
22.5	1.20	1.23	1.15	1.21	1.20	1.20
22.0	1.34	1.39	1.27	1.35	1.34	1.34
21.5	1.48	1.53	1.41	1.50	1.49	1.48
21.0	2.03	2.09	1.54	2.04	2.05	2.03
20.5	2.18	2.23	2.07	2.20	2.20	2.18
20.0	2.32	2.39	2.20	2.32	2.31	2.31
19.5	2.47	2.55	2.34	2.47	2.49	2.46
19.0	3.01	3.09	2.47	3.03	3.07	3.01
18.5	3.17	3.27	3.02	3.20	3.22	3.18
18.0	3.34	3.44	3.16	3.36	3.39	3.34

อุณหภูมิ ($^{\circ}\text{C}$)	ระยะเวลาในการลดอุณหภูมิ (นาที)					ค่าเฉลี่ย (นาที)
	ครั้งที่ 1	ครั้งที่ 2	ครั้งที่ 3	ครั้งที่ 4	ครั้งที่ 5	
17.5	3.51	4.04	3.32	3.55	3.59	3.52
17.0	4.09	4.21	3.47	4.13	4.20	4.10
16.5	4.27	4.40	4.03	4.30	4.40	4.28
16.0	4.46	5.02	4.20	4.52	5.06	4.49
15.5	5.07	5.24	4.39	5.11	5.17	5.08
15.0	5.28	5.47	4.56	5.32	5.36	5.20
14.5	5.51	6.12	5.26	5.55	6.01	5.53
14.0	6.16	6.41	6.00	6.20	6.17	6.19
13.5	6.44	7.11	6.31	6.48	6.43	6.47
13.0	7.15	7.40	7.07	7.27	7.17	7.21
12.5	7.47	8.17	7.31	7.56	7.50	7.52
12.0	8.22	8.54	8.13	8.31	8.21	8.28
11.5	9.02	9.39	8.52	9.16	8.54	9.09
11.0	9.49	10.25	9.29	10.00	9.31	9.51
10.5	10.45	11.23	10.16	10.55	10.20	10.44
10.0	11.46	12.26	11.24	11.41	11.33	11.46
9.5	13.08	13.50	12.38	12.59	12.57	13.06
9.0	15.22	15.09	15.02	15.43	15.19	15.19
8.5	17.01	16.51	16.41	17.10	17.09	16.58
8.0	18.51	19.17	18.33	18.57	18.47	18.53
7.5	20.50	22.13	20.14	21.02	21.03	21.04
7.0	23.01	25.12	22.41	23.11	24.12	23.39
6.5	26.53	28.24	25.59	27.09	26.49	27.03
6.0	33.25	34.01	33.02	35.00	34.31	34.00
5.5	48.21	48.53	48.11	49.31	49.15	48.50
5.0	61.25	64.30	62.51	65.01	63.54	63.32

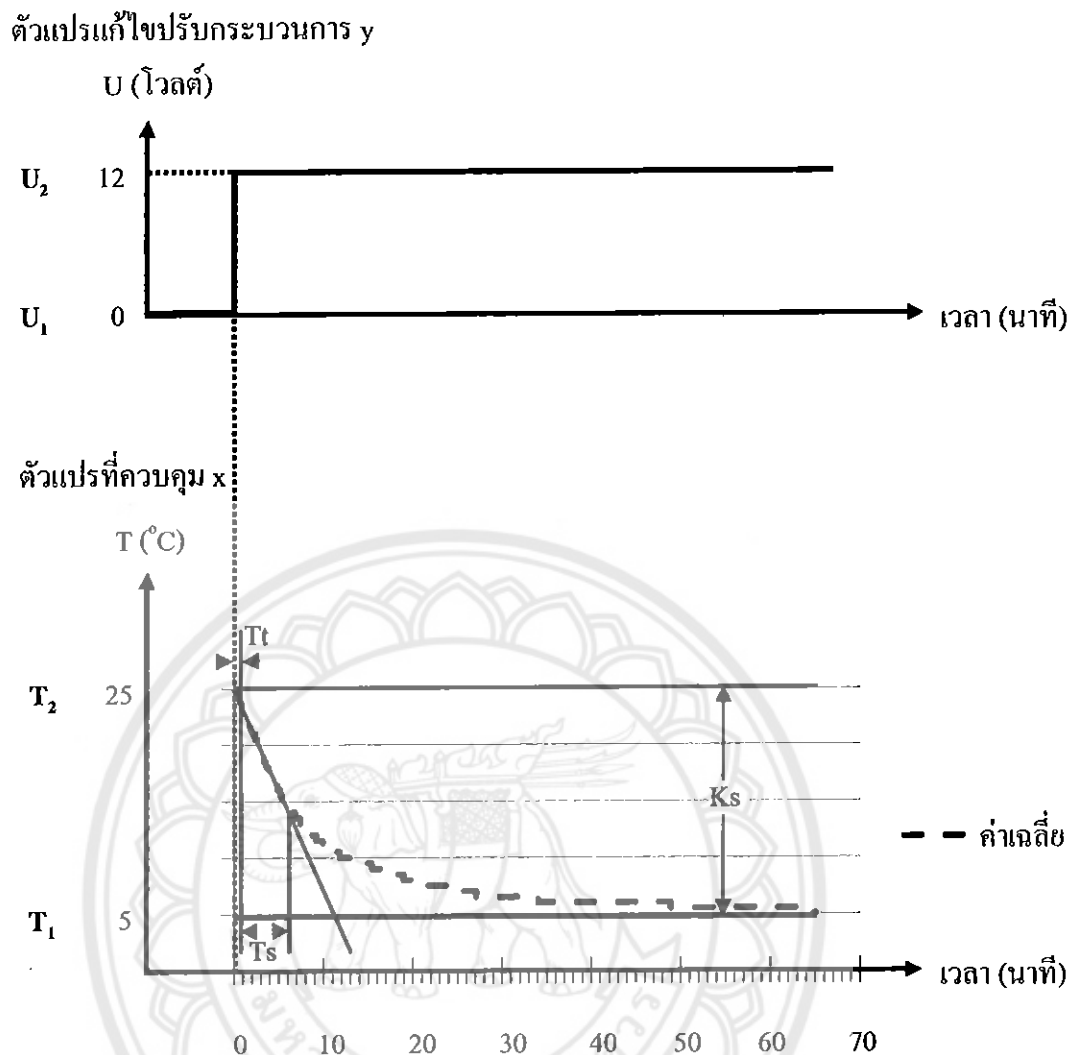


รูปที่ 4.1 กราฟแสดงผลระยะเวลาที่อุณหภูมิมีการเปลี่ยนแปลง

จากผลการทดลองหาระยะเวลาที่ตู้แช่เว้ากันควบคุมด้วยไมโครคอนโทรเลอร์ พบว่า ค่าเฉลี่ยของเวลาการเปลี่ยนแปลงไม่แตกต่างกันมากเกินไปเมื่อเปรียบเทียบจากเวลาครั้งที่ 1 ถึง 5 ดังนั้น สามารถที่จะนำค่าเฉลี่ยที่ได้มามาใช้ในการคำนวณหาค่าพารามิเตอร์ Ziegler-Nichols โดยผลการทดลองจะเป็นตามตารางที่ 4.2 , 4.3 และ 4.4

4.2 การคำนวณหาค่าพารามิเตอร์ K_p , K_i และ K_d

การคำนวณหาค่าพารามิเตอร์ K_p , K_i และ K_d โดยจะนำค่าเฉลี่ยที่ได้จากการที่ 4.1 มาคำนวณหาค่าพารามิเตอร์โดยการวิเคราะห์จากผลตอบสนองต่อสัญญาณขั้นบันได โดยใช้วิธี Ziegler-Nichols โดยผลการทดลองจะเป็นตามตารางที่ 4.2 , 4.3 และ 4.4



รูปที่ 4.2 การหาคุณสมบัติของระบบโดยการวิเคราะห์จากผลตอบสนองต่อสัญญาณเข้าบันได

ตารางที่ 4.2 การคำนวณหาคุณสมบัติของระบบโดยการวิเคราะห์จากผลตอบสนองต่อสัญญาณขั้นบันไดโดยใช้วิธี Ziegler-Nichols

Tt	Ts	Ks
$Tt = Time_1 - Time_0$	$Ts = Time_2 - Time_1$	$Ks = \frac{T_2 - T_1}{U_2 - U_1}$
$Tt = 16 - 0$	$Ts = 360 - 16$	$Ks = \frac{25 - 5}{12 - 0}$
$Tt = 16$	$Ts = 344$	$Ks = 1.667$

ตารางที่ 4.3 การคำนวณหาค่าพารามิเตอร์โดยการวิเคราะห์จากผลตอบสนองต่อสัญญาณขั้นบันได โดยใช้วิธี Ziegler-Nichols

Type of Controller	K_p	Tn	Tv
P	$K_p = \frac{T_s}{K_s \times T_t}$ $K_p = \frac{344}{1.667 \times 16}$ $K_p = 12.900$	-	-
PI	$K_p = 0.9 \frac{T_s}{K_s \cdot T_t}$ $K_p = 0.9 \frac{344}{1.667 \times 16}$ $K_p = 11.610$	$T_n = 3.3 T_t$ $T_n = 3.3 \times 16$ $T_n = 52.800$	-
PID	$K_p = 1.2 \frac{T_s}{K_s \cdot T_t}$ $K_p = 1.2 \frac{344}{1.667 \times 16}$ $K_p = 15.480$	$T_n = 2 T_t$ $T_n = 2 \times 16$ $T_n = 32$	$T_v = 0.5 T_t$ $T_v = 0.5 \times 16$ $T_v = 8$

ตารางที่ 4.4 การคำนวณหาค่าสัมประสิทธิ์ของตัวควบคุม และค่าคงที่ของเวลา

การแปลงจากค่า K_p , Tv , Tn ไปเป็น K_i , K_d	การแปลงจากค่า K_p , K_i , K_d ไปเป็น Tn , Tv
$K_i = \frac{K_p}{Tn}$ $K_i = \frac{15.480}{32}$ $K_i = 0.484$	$Tn = \frac{K_p}{K_i}$ $Tn = \frac{15.480}{0.484}$ $Tn = 32$
$K_d = K_p \times Tv$ $K_d = 15.480 \times 8$ $K_d = 123.840$	$Tv = \frac{K_d}{K_p}$ $Tv = \frac{123.840}{15.480}$ $Tv = 8$

จากการคำนวณหาค่าพารามิเตอร์ K_p , K_i และ K_d ที่ได้จากการที่ 4.2, 4.3 และ 4.4 พบว่า ค่าพารามิเตอร์ K_p คือ 15.480, K_i คือ 0.484 และ K_d คือ 123.840 โดยค่าพารามิเตอร์ที่ได้จะนำไปเขียนโปรแกรมลงบนบอร์ดในโกรคอนโถรเดอร์เพื่อควบคุมระบบตู้แข็งซึ่นควบคุมด้วยโกรคอนโถรเดอร์

4.3 ผลการทดลอง

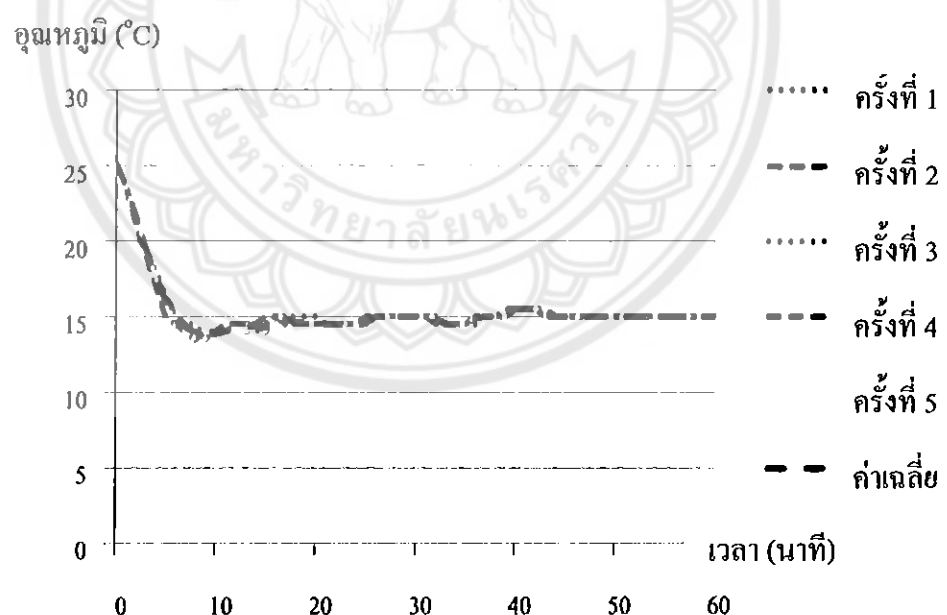
จากการทดลองหาอุณหภูมิในระยะเวลาทุกๆ 1 นาที เมื่อเซตค่าอุณหภูมิไว้ที่ 15.0, 12.0 และ 10.0 องศาเซลเซียส โดยจะมีการทดลองทั้งหมด 5 ครั้ง ซึ่งผลการทดลองจะเป็นตามตารางที่ 4.5, 4.6 และ 4.7

ตารางที่ 4.5 ผลการทดลองหาอุณหภูมิในระยะเวลาทุกๆ 1 นาที เมื่อเซตอุณหภูมิ 15.0 องศาเซลเซียส

เวลา (นาที)	อุณหภูมิ ($^{\circ}\text{C}$)					ค่าเฉลี่ย ($^{\circ}\text{C}$)
	ครั้งที่ 1	ครั้งที่ 2	ครั้งที่ 3	ครั้งที่ 4	ครั้งที่ 5	
0	25.0	25.0	25.0	25.0	25.0	25.0
1	23.5	23.5	23.5	23.5	23.5	23.5
2	21.5	21.5	21.5	21.0	21.5	21.5
3	19.5	19.5	19.5	19.0	19.5	19.4
4	17.5	17.5	18.0	17.0	17.5	17.5
5	16.0	16.5	16.5	15.0	16.0	16.0
6	14.5	15.0	15.0	14.5	14.5	14.7
7	14.5	14.5	14.5	14.0	14.0	14.3
8	14.0	14.0	14.5	13.5	13.5	13.9
9	13.5	13.5	13.5	14.0	13.5	13.6
10	14.0	14.0	14.0	14.0	13.5	13.9
11	14.0	14.0	14.0	14.5	13.5	14.0
12	14.0	14.5	14.5	14.5	14.0	14.3
13	14.0	14.5	14.5	14.5	14.0	14.3
14	14.0	14.5	14.5	14.5	14.5	14.4
15	14.5	14.0	14.0	15.0	14.0	14.3
16	15.0	15.0	15.0	15.0	15.0	15.0
17	14.5	15.0	15.0	14.5	15.0	14.8
18	14.5	14.5	15.0	14.5	14.5	14.6
19	14.5	14.5	15.0	14.5	14.5	14.6
20	14.5	14.5	15.0	14.5	14.5	14.6

เวลา (นาที)	อุณหภูมิ (°C)					ค่าเฉลี่ย (°C)
	ครั้งที่ 1	ครั้งที่ 2	ครั้งที่ 3	ครั้งที่ 4	ครั้งที่ 5	
21	14.5	14.5	14.5	14.5	14.5	14.5
22	14.5	14.5	14.5	14.5	14.5	14.5
23	14.5	14.5	14.5	14.5	14.5	14.5
24	14.5	14.5	14.5	14.5	14.5	14.5
25	14.5	14.5	14.5	15.0	14.5	14.6
26	15.0	15.0	15.0	15.0	15.0	15.0
27	15.0	15.0	15.0	15.0	15.0	15.0
28	15.0	15.0	15.0	15.0	15.0	15.0
29	15.0	15.0	15.0	15.0	15.0	15.0
30	15.0	15.0	15.0	15.0	15.0	15.0
31	15.0	15.0	15.0	15.0	15.0	15.0
32	14.5	15.0	15.0	14.5	15.0	14.8
33	14.5	14.5	14.5	14.5	14.5	14.5
34	14.5	14.5	14.5	14.5	14.5	14.5
35	14.5	14.5	14.5	14.5	14.5	14.5
36	15.0	15.0	14.5	15.0	15.0	14.9
37	15.0	15.0	15.0	15.0	15.0	15.0
38	15.0	15.0	15.0	15.0	15.0	15.0
39	15.0	15.0	15.0	15.5	15.0	15.1
40	15.5	15.5	15.5	15.5	15.5	15.5
41	15.5	15.5	15.5	15.5	15.5	15.5
42	15.5	15.5	15.5	15.5	15.5	15.5
43	15.0	15.5	15.5	15.0	15.5	15.3
44	15.0	15.0	15.0	15.0	15.0	15.0
45	15.0	15.0	15.0	15.0	15.0	15.0
46	15.0	15.0	15.0	15.0	15.0	15.0
47	15.0	15.0	15.0	15.0	15.0	15.0
48	15.0	15.0	15.0	15.0	15.0	15.0
49	15.0	15.0	15.0	15.0	15.0	15.0

เวลา (นาที)	อุณหภูมิ ($^{\circ}\text{C}$)					ค่าเฉลี่ย ($^{\circ}\text{C}$)
	ครั้งที่ 1	ครั้งที่ 2	ครั้งที่ 3	ครั้งที่ 4	ครั้งที่ 5	
50	15.0	15.0	15.0	15.0	15.0	15.0
51	15.0	15.0	15.0	15.0	15.0	15.0
52	15.0	15.0	15.0	15.0	15.0	15.0
53	15.0	15.0	15.0	15.0	15.0	15.0
54	15.0	15.0	15.0	15.0	15.0	15.0
55	15.0	15.0	15.0	15.0	15.0	15.0
56	15.0	15.0	15.0	15.0	15.0	15.0
57	15.0	15.0	15.0	15.0	15.0	15.0
58	15.0	15.0	15.0	15.0	15.0	15.0
59	15.0	15.0	15.0	15.0	15.0	15.0
60	15.0	15.0	15.0	15.0	15.0	15.0



รูปที่ 4.3 กราฟแสดงผลการเปรียบเทียบหาอุณหภูมิที่มีการเปลี่ยนแปลง

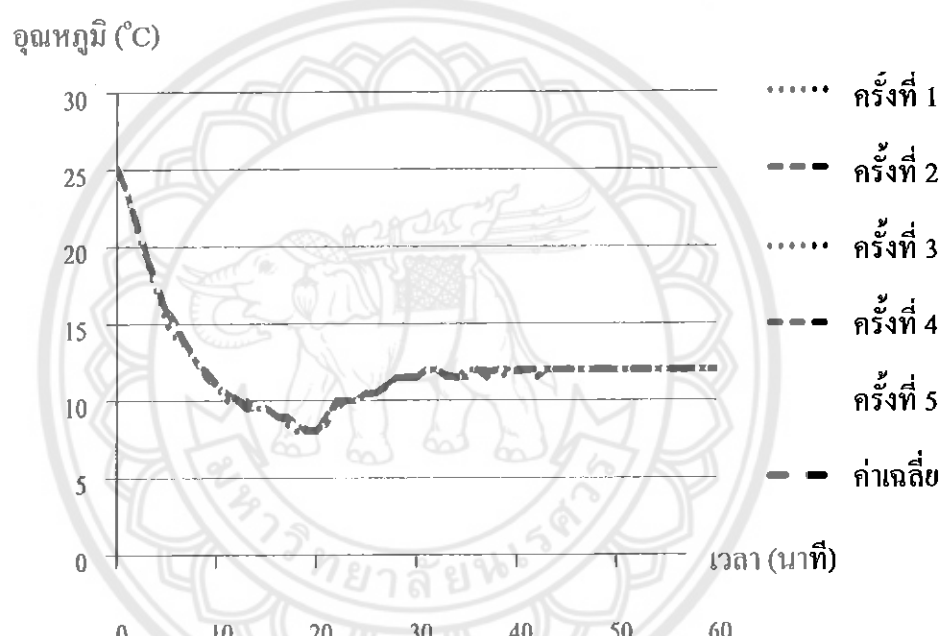
จากรูปที่ 4.3 พบร่วมกันว่า อุณหภูมนี้จะค่อนข้างคงตัว ทำให้เกิด ไอเวอร์ชูตที่ไม่มากเกินไปโดยที่ ไอเวอร์ชูตไม่เกิน 2.0 องศาเซลเซียส และดูจากค่าการแปรผันของอุณหภูมิในสถานะอยู่ตัวที่น้อยที่สุด อยู่ในช่วง 14.5-15.0 องศาเซลเซียส จากการทดลองทั้ง 5 ผลการทดลอง

ตารางที่ 4.6 ผลการทดลองหาอุณหภูมิในระยะเวลาทุกๆ 1 นาที เมื่อเซตอุณหภูมิ 12.0 องศาเซลเซียส

เวลา (นาที)	อุณหภูมิ (°C)					ค่าเฉลี่ย (°C)
	ครั้งที่ 1	ครั้งที่ 2	ครั้งที่ 3	ครั้งที่ 4	ครั้งที่ 5	
0	25.0	25.0	25.0	25.0	25.0	25.0
1	23.5	23.5	23.5	23.5	23.5	23.5
2	21.0	21.5	21.0	21.5	21.5	21.3
3	19.0	19.5	19.0	19.5	19.5	19.3
4	17.0	17.5	17.0	17.5	17.5	17.3
5	15.0	16.0	15.0	16.0	16.0	15.7
6	14.5	15.0	14.0	14.5	14.5	14.6
7	13.5	13.5	13.5	13.5	13.5	13.6
8	12.5	12.5	12.5	12.5	12.5	12.6
9	12.0	11.5	11.5	12.0	12.0	11.8
10	11.0	11.0	11.0	11.0	11.0	11.1
11	10.0	10.5	10.5	10.5	10.5	10.5
12	10.0	10.0	10.0	10.0	10.0	10.1
13	9.5	9.5	9.5	10.0	10.0	9.7
14	9.5	9.5	9.5	9.5	9.5	9.5
15	9.5	9.5	9.5	9.5	9.5	9.5
16	9.0	9.0	9.0	9.0	9.0	9.0
17	8.5	9.0	9.0	9.0	8.5	8.8
18	8.0	8.5	8.5	8.5	8.5	8.4
19	8.0	8.0	8.0	8.0	8.5	8.1
20	8.0	8.0	8.0	8.0	8.0	8.0
21	9.0	8.5	9.0	9.0	8.5	8.8
22	10.0	9.5	10.0	10.0	9.5	9.8
23	10.0	10.0	10.0	10.0	10.0	10.0
24	10.0	10.0	10.0	10.0	10.0	10.0
25	10.5	10.5	10.5	10.5	10.0	10.4
26	10.5	10.5	10.5	10.5	10.5	10.5

เวลา (นาที)	อุณหภูมิ (°C)					ค่าเฉลี่ย (°C)
	ครั้งที่ 1	ครั้งที่ 2	ครั้งที่ 3	ครั้งที่ 4	ครั้งที่ 5	
27	11.0	11.0	11.0	11.0	10.5	10.9
28	11.5	11.5	11.5	11.5	11.0	11.4
29	11.5	11.5	11.5	11.5	11.5	11.5
30	11.5	11.5	11.5	11.5	11.5	11.5
31	12.0	12.0	12.0	12.0	12.0	12.0
32	12.0	12.0	12.0	12.0	12.0	12.0
33	11.5	11.5	11.5	11.5	12.0	11.6
34	11.5	11.5	11.5	11.5	11.5	11.5
35	12.0	11.5	11.5	11.5	11.5	11.6
36	12.0	12.0	12.0	12.0	12.0	12.0
37	12.0	11.5	12.0	11.5	12.0	11.8
38	12.0	12.0	12.0	12.0	12.0	12.0
39	11.5	12.0	12.0	12.0	12.0	11.9
40	12.0	12.0	12.0	12.0	11.5	11.9
41	12.0	12.0	12.0	12.0	12.0	12.0
42	12.0	12.0	12.0	11.5	12.0	12.0
43	12.0	12.0	12.0	12.0	12.0	12.0
44	12.0	12.0	12.0	12.0	12.0	12.0
45	12.0	12.0	12.0	12.0	12.0	12.0
46	12.0	12.0	12.0	12.0	12.0	12.0
47	12.0	12.0	12.0	12.0	12.0	12.0
48	12.0	12.0	12.0	12.0	12.0	12.0
49	12.0	12.0	12.0	12.0	12.0	12.0
50	12.0	12.0	12.0	12.0	12.0	12.0
51	12.0	12.0	12.0	12.0	12.0	12.0
52	12.0	12.0	12.0	12.0	12.0	12.0
53	12.0	12.0	12.0	12.0	12.0	12.0
54	12.0	12.0	12.0	12.0	12.0	12.0
55	12.0	12.0	12.0	12.0	12.0	12.0

เวลา (นาที)	อุณหภูมิ ($^{\circ}\text{C}$)					ค่าเฉลี่ย ($^{\circ}\text{C}$)
	ครั้งที่ 1	ครั้งที่ 2	ครั้งที่ 3	ครั้งที่ 4	ครั้งที่ 5	
56	12.0	12.0	12.0	12.0	12.0	12.0
57	12.0	12.0	12.0	12.0	12.0	12.0
58	12.0	12.0	12.0	12.0	12.0	12.0
59	12.0	12.0	12.0	12.0	12.0	12.0
60	12.0	12.0	12.0	12.0	12.0	12.0



รูปที่ 4.4 กราฟแสดงผลการเปรียบเทียบหาอุณหภูมิที่มีการเปลี่ยนแปลง

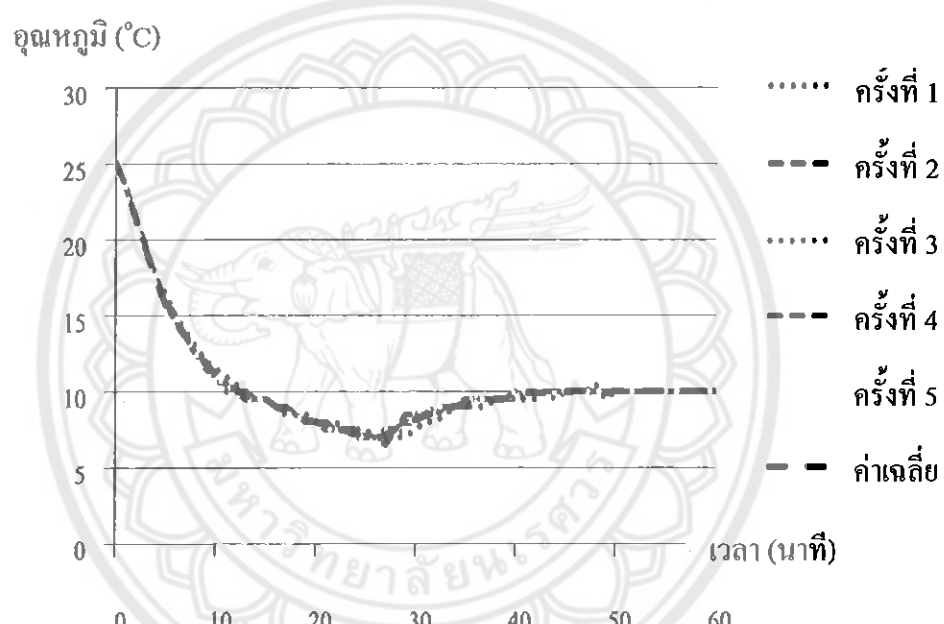
จากรูปที่ 4.4 พบว่า อุณหภูมิมีจุดต่ำสุด ทำให้เกิด ไอเวอร์ชูดที่ไม่น่าเกินไปโดยที่ ไอเวอร์ชูดไม่น่าเกิน 4.0 องศาเซลเซียส และคุณภาพการแก่วงของอุณหภูมิในสถานะอยู่ตัวที่น้อยที่สุด อยู่ในช่วง 11.5-12.0 องศาเซลเซียส จากการทดลองทั้ง 5 ผลการทดลอง

ตารางที่ 4.7 ผลการทดสอบหาอุณหภูมิในระยะเวลาทุกๆ 1 นาที เมื่อเซตอุณหภูมิ 10.0 องศาเซลเซียส

เวลา (นาที)	อุณหภูมิ ($^{\circ}\text{C}$)					ค่าเฉลี่ย ($^{\circ}\text{C}$)
	ครั้งที่ 1	ครั้งที่ 2	ครั้งที่ 3	ครั้งที่ 4	ครั้งที่ 5	
0	25.0	25.0	25.0	25.0	25.0	25.0
1	23.5	23.5	23.5	23.5	23.5	23.5
2	21.5	21.5	21.0	21.5	21.0	21.3
3	19.5	19.5	19.0	19.5	19.0	19.3
4	17.5	17.5	17.0	17.5	17.0	17.3
5	16.5	16.0	15.0	16.0	15.0	15.7
6	15.0	14.5	14.5	15.0	14.0	14.6
7	14.0	13.5	13.5	13.5	13.5	13.6
8	13.0	12.5	12.5	12.5	12.5	12.6
9	12.0	12.0	12.0	11.5	11.5	11.8
10	11.5	11.0	11.0	11.0	11.0	11.1
11	11.0	10.5	10.0	10.5	10.5	10.5
12	10.5	10.0	10.0	10.0	10.0	10.1
13	10.0	10.0	9.5	9.5	9.5	9.7
14	9.5	9.5	9.5	9.5	9.5	9.5
15	9.5	9.5	9.5	9.5	9.5	9.5
16	9.0	9.0	9.0	9.0	9.0	9.0
17	8.5	9.0	9.0	9.0	8.5	8.8
18	8.5	8.5	8.5	8.5	8.5	8.5
19	8.5	8.0	8.0	8.0	8.0	8.1
20	8.0	8.0	8.0	8.0	8.0	8.0
21	8.0	7.5	8.0	8.0	7.5	7.8
22	8.0	7.5	7.5	7.5	7.5	7.6
23	7.5	7.5	7.5	7.5	7.0	7.4
24	7.5	7.0	7.0	7.5	7.0	7.2
25	7.5	7.0	7.0	7.0	7.0	7.1
26	7.0	7.0	7.0	7.0	6.5	6.9

เวลา (นาที)	อุณหภูมิ (°C)					ค่าเฉลี่ย (°C)
	ครั้งที่ 1	ครั้งที่ 2	ครั้งที่ 3	ครั้งที่ 4	ครั้งที่ 5	
27	7.0	6.5	7.0	7.5	7.5	7.1
28	7.0	7.5	7.5	7.5	8.0	7.5
29	7.0	8.0	7.5	8.5	7.5	7.7
30	7.5	8.0	8.5	8.5	8.5	8.2
31	8.0	8.5	8.5	8.5	8.5	8.4
32	8.0	8.5	8.5	9.0	9.0	8.6
33	8.5	9.0	9.0	9.0	9.0	8.9
34	9.0	9.0	9.0	9.0	9.0	9.0
35	9.0	9.0	9.0	9.5	9.5	9.2
36	9.0	9.5	9.5	9.5	9.5	9.4
37	9.0	9.5	9.5	9.5	9.5	9.4
38	9.5	9.5	9.5	9.5	9.5	9.5
39	9.5	9.5	9.5	9.5	9.5	9.5
40	9.5	9.5	9.5	10.0	10.0	9.7
41	9.5	10.0	10.0	10.0	10.0	9.9
42	9.5	10.0	10.0	10.0	10.0	9.9
43	10.0	10.0	10.0	10.0	9.5	9.9
44	10.0	10.0	9.5	10.0	10.0	9.9
45	10.0	10.0	10.0	10.0	10.0	10.0
46	10.0	10.0	10.0	10.0	10.0	10.0
47	10.0	10.0	10.0	10.0	10.0	10.0
48	10.5	10.0	10.0	10.0	10.0	10.1
49	9.5	10.0	10.0	10.0	10.0	9.9
50	10.0	10.0	10.0	10.0	10.0	10.0
51	10.0	10.0	10.0	10.0	10.0	10.0
52	10.0	10.0	10.0	10.0	10.0	10.0
53	10.0	10.0	10.0	10.0	10.0	10.0
54	10.0	10.0	10.0	10.0	10.0	10.0
55	10.0	10.0	10.0	10.0	10.0	10.0

เวลา (นาที)	อุณหภูมิ ($^{\circ}\text{C}$)					ค่าเฉลี่ย ($^{\circ}\text{C}$)
	ครั้งที่ 1	ครั้งที่ 2	ครั้งที่ 3	ครั้งที่ 4	ครั้งที่ 5	
56	10.0	10.0	10.0	10.0	10.0	10.0
57	10.0	10.0	10.0	10.0	10.0	10.0
58	10.0	10.0	10.0	10.0	10.0	10.0
59	10.0	10.0	10.0	10.0	10.0	10.0
60	10.0	10.0	10.0	10.0	10.0	10.0



รูปที่ 4.5 กราฟแสดงผลการเปรียบเทียบหาอุณหภูมิที่มีการเปลี่ยนแปลง

จากรูปที่ 4.5 พบว่า อุณหภูมนี้จะค่อยๆ ลดลง ทำให้เกิด ไอเวอร์ชูตที่ไม่มากเกินไปโดยที่ ไอเวอร์ชูต ไม่เกิน 3.0 องศาเซลเซียส และดูจากค่าการแปร่งของอุณหภูมิในสถานะอยู่ตัวที่น้อย ที่สุด อยู่ในช่วง 9.5-10.0 องศาเซลเซียส จากการทดลองทั้ง 5 ผลการทดลอง

บทที่ 5

สรุปผลการทดลอง

จากการศึกษาและทำการทดลอง ในบทนี้จะเป็นเรื่องเกี่ยวกับการสรุปผลการทดลอง รวมถึงปัญหาและการแก้ไขข้อเสนอแนะเพื่อเป็นแนวทางในการพัฒนาโครงการต่อไป

5.1 สรุปผลการทดลอง

จากการทดลองดูแล้วคุณค่าในโกรคอน โทรเลอร์ สามารถทำงานได้จริง อย่างมีประสิทธิภาพ โดยมีในโกรคอน โทรเลอร์ไปควบคุมอุปกรณ์ต่างๆ ได้ การทำงานของตู้ แห่งวัสดุซึ่งควบคุมด้วยในโกรคอน โทรเลอร์ พนว่า ค่าอุณหภูมิจะอยู่ที่ K_d ไปสู่จุดเดือดพื้อย่าง และไม่เกิดค่าโอเวอร์ชูต เมื่อจากอัตราขยาย K_d ที่มีค่าเหมาะสมดังวิธีการของ Ziegler-Nichols และค่า อุณหภูมิที่ได้จะมีค่าในสถานะอยู่ตัวอยู่ที่ 15.0, 12.0 และ 10.0 องศาเซลเซียส อัตราขยายของ K_d ก็จะช่วยลดอัตราการเปลี่ยนแปลงของสัญญาณขาออกของระบบควบคุม และตัวผลนี้จะช่วยให้ ระบบควบคุมเข้าสู่จุดที่ต้องการ ได้ ดังนั้นผลของอัตราขยายของค่า K_d จะใช้ในการลดขนาดของ โอเวอร์ชูตที่เกิดจากผลอัตราขยายของ K_d และทำให้เสถียรภาพของการรวมกันของระบบควบคุมดี ขึ้น

ในโครงการนี้ตู้แห่งวัสดุซึ่งควบคุมด้วยในโกรคอน โทรเลอร์สามารถควบคุม อุณหภูมิได้ตามเป้าหมายที่วางไว้ในโครงการ แต่ยังต้องการพัฒนาคุณภาพอีกหลายอย่างเพื่อการ ควบคุมอุณหภูมิด้วย ระบบทำความเย็น ได้ดียิ่งขึ้น

5.2 ปัญหาและการแก้ไข

1. การประกอบอุปกรณ์ เนื่องจากอุปกรณ์บางชิ้นทำขึ้นเอง เวลาประกอบตู้แห่งวัสดุนี้ มีปัญหาในการซีลการซิลิโคน ทำให้ความเย็นซึ่งมีอุณหภูมิจากตู้แห่งวัสดุซึ่ง ดังนั้นจึงแก้ไขโดยการใช้ กาวอีพ็อกซี่ซีลติดเพื่อป้องกันความเย็นซึ่งมีอุณหภูมิจากตู้แห่งวัสดุซึ่ง

2. ระบบทำความเย็นทำงานมากขึ้น เนื่องจากปัญหาฝ่าตู้แห่งวัสดุซึ่งไม่แน่น ดังนั้นจึง แก้ไขโดยการใช้เทปกาวบีคิดกับฝ่าตู้แห่งวัสดุซึ่งเข้ากับตู้แห่งวัสดุซึ่ง ซึ่งทำให้ระบบทำความเย็น ทำงานไม่หนักเกินไป

3. การประกอบถังใช้แรงดันมากไป จะทำให้เพลทีเยอร์เสียหายได้ ดังนั้นจึงแก้ไขโดย การขยายช่องบรรจุเพลทีเยอร์ให้มีขนาดใหญ่ขึ้น เพื่อลดแรงกดขณะประกอบเพลทีเยอร์

4. การคลายความร้อนไม่ดี ส่งผลให้เพลเทียร์ทำงานไม่เต็มประสิทธิภาพ ดังนั้นจึงแก้ไขโดยการใช้ชุดระบบทำความร้อนชนิดสแตนเลส และพัดลมระบบทำความร้อนที่มีความเร็วรอบสูง

5. เพลเทียร์มีการใช้กระแสงไฟจำนวนมาก ส่งผลให้แหล่งจ่ายไฟไม่เพียงพอ ดังนั้นจึงแก้ไขปัญหาโดยการใช้แหล่งจ่ายไฟขนาด 30 แอมป์ ซึ่งถือว่าเพียงพอ กับโครงการนี้

5.3 ข้อเสนอแนะ

1. ตู้แชร์วัสดุนีบขนาดเล็กอาจทำให้แชร์วัสดุได้จำนวนจำกัด หากมีความต้องการเพิ่มที่แชร์วัสดุมากกว่านี้จำเป็นที่จะต้องเพิ่มน้ำดูแลตู้แชร์วัสดุ

2. หากต้องการให้ตู้แชร์วัสดุสามารถทำความเย็นอย่างรวดเร็ว ควรเพิ่มจำนวนเพลเทียร์มากกว่านี้ แต่จะส่งผลถึงเรื่องต้นทุนที่สูงขึ้น

3. ควรมีการทำความสะอาดภายในตู้แชร์วัสดุหลังจากใช้งานเสร็จสิ้น เพื่อทำให้ปราศจากเชื้อโรคในการแพร่กระจายสู่วัสดุที่จะนำมาใช้ต่อไป

4. การใช้งานตู้แชร์วัสดุ อุปกรณ์บางอย่างเป็นอุปกรณ์เฉพาะงาน ควรศึกษาการทำงานอย่างละเอียด เพื่อป้องกันไม่เกิดความเสียหายกับตู้แชร์วัสดุ

5. การเคลื่อนย้ายตู้แชร์วัสดุ ควรระมัดระวังมากที่สุด เนื่องจากเพลเทียร์ภายในตู้แชร์วัสดุอาจแตกหักขึ้นได้

เอกสารอ้างอิง

- [1] ประจิน พลังสันติคุณ. (2549). **C Programming for AVR Microcontroller and WinAVR (C Compiler)**. กรุงเทพฯ : จัดพิมพ์โดยบริษัท อินโนเวตีฟ เอ็กเพรสริมเม้นต์ จำกัด
- [2] ประจิน พลังสันติคุณ. (2551). **Apply C Programming for AVR Microcontroller Book 2**. กรุงเทพฯ : จัดพิมพ์โดยบริษัท อินโนเวตีฟ เอ็กเพรสริมเม้นต์ จำกัด
- [3] บุญชัย กิ่งรุ้งเพชร. (2543). **Protel99**. กรุงเทพฯ : จัดพิมพ์โดยบริษัท แอคตรา เอ็นจิเนียริ่ง จำกัด
- [4] ประภาพร ช่างไม้. (2537). **คู่มือการเขียนโปรแกรมภาษา C**. นนทบุรี : จัดพิมพ์โดย บริษัท กอนฟอร์ม จำกัด
- [5] นิรุธ อํานวยศิลป์. (2550). **คู่มือการเขียนโปรแกรมภาษา C**. กรุงเทพฯ : จัดพิมพ์โดยบริษัท ไประวิชั่น จำกัด
- [6] วิญญา แสงวีระพันธุ์ศิริ. (2548). **การควบคุมระบบผลิตภัณฑ์**. กรุงเทพฯ : จัดพิมพ์โดย สำนักพิมพ์จุฬาลงกรณ์มหาวิทยาลัย
- [7] อนุชา หริัญวัฒน์, นฤพนธ์ พนาคุลชัยวิทัย, และสมชัย ตรีรัตนชาڑ. (2551). **การควบคุม อัตโนมัติ และการประยุกต์ใช้งานพีแอลซี (ชั้นกลาง)**. นนทบุรี : จัดพิมพ์โดย ห้างหุ้นส่วนจำกัด ธนาịnhชัย.



```

#include <mega64.h>
#include <delay.h>
#include <string.h>
#include <stdio.h>
#include <stdlib.h> // CHAR TO INT
#include <math.h>

#define LED1 PORTA.1
#define LED2 PORTA.2
#define Relay_FAN PORTA.0
#define Buzzer PORTA.3
#define SW_Up PINE.4
#define SW_Down PINE.5

char Show_lcd[16];
int LDR;
int Data_Ds1820;
int Timer_ovf;

////////////////// Ds1820 ///////////////////
unsigned char devices=0;
#define MAX_DEVICES 8
unsigned char rom_codes[MAX_DEVICES][9];
float temp=0;
eprom float Set_Temp = 0;

////////////////// PID ///////////////////
float kp,ki,kd,dt;
float error_PID ;
float actual_position,integral ;
eprom float setpoint=5.0;
float derivative, previous_error;

```

```

int j;

int Start_Buzzer=0;

int frequency=100,duty=0;

// 1 Wire Bus functions

#asm

    .equ __w1_port=0x03 ;PORTE
    .equ __w1_bit=2

#endasm

#include <1wire.h>

// DS1820 Temperature Sensor functions

#include <ds1820.h>

// Alphanumeric LCD Module functions

#asm

    .equ __lcd_port=0x12 ;PORTD
#endasm

#include <lcd.h>

#define RXB8 1
#define TXB8 0
#define UPE 2
#define OVR 3
#define FE 4
#define UDRE 5
#define RXC 7
#define FRAMING_ERROR (1<<FE)
#define PARITY_ERROR (1<<UPE)
#define DATA_OVERRUN (1<<OVR)
#define DATA_REGISTER_EMPTY (1<<UDRE)
#define RX_COMPLETE (1<<RXC)

```

```

// USART0 Receiver buffer

#define RX_BUFFER_SIZE0 8

char rx_buffer0[RX_BUFFER_SIZE0];

// If RX_BUFFER_SIZE0<256
unsigned char rx_wr_index0,rx_rd_index0,rx_counter0;
#else
unsigned int rx_wr_index0,rx_rd_index0,rx_counter0;
#endif

// This flag is set on USART0 Receiver buffer overflow
bit rx_buffer_overflow0;

// USART0 Receiver interrupt service routine
interrupt [USART0_RXC] void usart0_rx_isr(void)
{
    char status,data;
    status=UCSR0A;
    data=UDR0;
    if ((status & (FRAMING_ERROR | PARITY_ERROR | DATA_OVERRUN))==0)
    {
        rx_buffer0[rx_wr_index0]=data;
        if (++rx_wr_index0 == RX_BUFFER_SIZE0) rx_wr_index0=0;
        if (++rx_counter0 == RX_BUFFER_SIZE0)
        {
            rx_counter0=0;
            rx_buffer_overflow0=1;
        };
    };
}
#endif

```

```

// Get a character from the USART0 Receiver buffer

#define _ALTERNATE_GETCHAR_
#pragma used+
}

char getchar(void)
{
    char data;
    while (rx_counter0==0);
    data=rx_buffer0[rx_rd_index0];
    if (++rx_rd_index0 == RX_BUFFER_SIZE0) rx_rd_index0=0;
    #asm("cli")
    --rx_counter0;
    #asm("sei")
    return data;
}
#pragma used-
#endif

// USART0 Transmitter buffer

#define TX_BUFFER_SIZE0 8
char tx_buffer0[TX_BUFFER_SIZE0];

#if TX_BUFFER_SIZE0<256
unsigned char tx_wr_index0,tx_rd_index0,tx_counter0;
#else
unsigned int tx_wr_index0,tx_rd_index0,tx_counter0;
#endif

// USART0 Transmitter interrupt service routine

interrupt [USART0_TXC] void usart0_tx_isr(void)
{
    if (tx_counter0)
    {

```

```

--tx_counter0;

UDR0=tx_buffer0[tx_rd_index0];
if (++tx_rd_index0 == TX_BUFFER_SIZE0) tx_rd_index0=0;
};

}

#ifndef _DEBUG_TERMINAL_IO_
// Write a character to the USART0 Transmitter buffer
#define _ALTERNATE_PUTCHAR_
#pragma used+
void putchar(char c)
{
while (tx_counter0 == TX_BUFFER_SIZE0);
#asm("cli")
if (tx_counter0 || ((UCSR0A & DATA_REGISTER_EMPTY)==0))
{
tx_buffer0[tx_wr_index0]=c;
if (++tx_wr_index0 == TX_BUFFER_SIZE0) tx_wr_index0=0;
++tx_counter0;
}
else
UDR0=c;
#asm("sei")
}
#pragma used-
#endif

// Standard Input/Output functions
#include <stdio.h>

// Timer 0 overflow interrupt service routine
interrupt [TIM0_OVF] void timer0_ovf_isr(void)

```

```

{
    Timer_ovf++;
    if(Timer_ovf>1000)
    {
        if((!SW_Up) && (setpoint < 100.0)) { setpoint += 0.5; LED2 = !LED2; Timer_ovf=0;}
        if((!SW_Down) && (setpoint > 0.0)) { setpoint -= 0.5; LED2 = !LED2; Timer_ovf=0;}
        if(Timer_ovf>1000) Timer_ovf=1000;
    }
    // if(Start_Buzzer == 1) Buzzer = !Buzzer;
    // else Buzzer = 0;
}

#define ADC_VREF_TYPE 0x00
// Read the AD conversion result
unsigned int read_adc(unsigned char adc_input)
{
    ADMUX=adc_input|ADC_VREF_TYPE;
    // Start the AD conversion
    ADCSRA|=0x40;
    // Wait for the AD conversion to complete
    while ((ADCSRA & 0x10)==0);
    ADCSRA|=0x10;
    return ADCW;
}
void main(void)
{
    // Input/Output Ports initialization
    // Port A initialization
    // Func7=In Func6=In Func5=In Func4=In Func3=In Func2=In Func1=In Func0=In
    // State7=T State6=T State5=T State4=T State3=T State2=T State1=T State0=T
    PORTA=0x00;
    PORTA.3 = 1;
}

```

```

DDRA=0xFF;

// Port B initialization
// Func7=In Func6=Out Func5=Out Func4=In Func3=In Func2=In Func1=In Func0=In
// State7=T State6=0 State5=0 State4=T State3=T State2=T State1=T State0=T
PORTB=0x00;
DDRB=0x60;

// Port C initialization
// Func7=In Func6=In Func5=In Func4=In Func3=In Func2=In Func1=In Func0=In
// State7=T State6=T State5=T State4=T State3=T State2=T State1=T State0=T
PORTC=0x00;
DDRC=0x00;

// Port D initialization
// Func7=In Func6=In Func5=In Func4=In Func3=In Func2=In Func1=In Func0=In
// State7=T State6=T State5=T State4=T State3=T State2=T State1=T State0=T
PORTD=0x00;
DDRD=0x00;

// Port E initialization
// Func7=In Func6=In Func5=In Func4=In Func3=In Func2=In Func1=In Func0=In
// State7=T State6=T State5=T State4=T State3=T State2=T State1=T State0=T
PORTE=0xF0;
DDRE=0x00;

// Port F initialization
// Func7=In Func6=In Func5=In Func4=In Func3=In Func2=In Func1=In Func0=In
// State7=T State6=T State5=T State4=T State3=T State2=T State1=T State0=T
PORTF=0x00;
DDRF=0x00;

```

```

// Port G initialization
// Func4=In Func3=In Func2=In Func1=In Func0=In
// State4=T State3=T State2=T State1=T State0=T
PORTG=0x00;
DDRG=0x00;

// Timer/Counter 0 initialization
// Clock source: System Clock
// Clock value: 1000.000 kHz
// Mode: Normal top=FFh
// OC0 output: Disconnected
ASSR=0x00;
TCCR0=0x02;
TCNT0=0x00;
OCR0=0x00;

// Timer/Counter 1 initialization
// Clock source: System Clock
// Clock value: 1000.000 kHz
// Mode: Ph. & fr. cor. PWM top=ICR1
// OC1A output: Non-Inv.
// OC1B output: Non-Inv.
// OC1C output: Discon.
// Noise Canceler: Off
// Input Capture on Falling Edge
// Timer 1 Overflow Interrupt: Off
// Input Capture Interrupt: Off
// Compare A Match Interrupt: Off
// Compare B Match Interrupt: Off
// Compare C Match Interrupt: Off
TCCR1A=0xA0;
TCCR1B=0x12;

```

```

TCNT1H=0x00;
TCNT1L=0x00;
// ICR1H=0x00;
// ICR1L=0x00;
// OCR1AH=0x00;
// OCR1AL=0x00;
// OCR1BH=0x00;
// OCR1BL=0x00;
// OCR1CH=0x00;
// OCR1CL=0x00;

// Timer/Counter 2 initialization
// Clock source: System Clock
// Clock value: Timer 2 Stopped
// Mode: Normal top=FFh
// OC2 output: Disconnected
TCCR2=0x00;
TCNT2=0x00;
OCR2=0x00;

// Timer/Counter 3 initialization
// Clock source: System Clock
// Clock value: Timer 3 Stopped
// Mode: Normal top=FFFFh
// Noise Canceler: Off
// Input Capture on Falling Edge
// OC3A output: Discon.
// OC3B output: Discon.
// OC3C output: Discon.
// Timer 3 Overflow Interrupt: Off
// Input Capture Interrupt: Off
// Compare A Match Interrupt: Off

```

```

// Compare B Match Interrupt: Off
// Compare C Match Interrupt: Off

TCCR3A=0x00;
TCCR3B=0x00;
TCNT3H=0x00;
TCNT3L=0x00;
ICR3H=0x00;
ICR3L=0x00;
OCR3AH=0x00;
OCR3AL=0x00;
OCR3BH=0x00;
OCR3BL=0x00;
OCR3CH=0x00;
OCR3CL=0x00;

// External Interrupt(s) initialization
// INT0: Off
// INT1: Off
// INT2: Off
// INT3: Off
// INT4: Off
// INT5: Off
// INT6: Off
// INT7: Off

EICRA=0x00;
EICRB=0x00;
EIMSK=0x00;

// Timer(s)/Counter(s) Interrupt(s) initialization
TIMSK=0x01;
ETIMSK=0x00;
}

```

```

// USART0 initialization
// Communication Parameters: 8 Data, 1 Stop, No Parity
// USART0 Receiver: On
// USART0 Transmitter: On
// USART0 Mode: Asynchronous
// USART0 Baud rate: 9600
UCSR0A=0x00;
UCSR0B=0xD8;
UCSR0C=0x06;
UBRR0H=0x00;
UBRR0L=0x33;

// Analog Comparator initialization
// Analog Comparator: Off
// Analog Comparator Input Capture by Timer/Counter 1: Off
ACSR=0x80;
SFIOR=0x00;

// ADC initialization
// ADC Clock frequency: 1000.000 kHz
// ADC Voltage Reference: AREF pin
ADMUX=ADC_VREF_TYPE;
ADCSRA=0x83;

// I Wire Bus initialization
wl_init();

// LCD module initialization
lcd_init(16);

// Global enable interrupts
#asm("sei")

```

```

Buzzer = 1;

}

lcd_gotoxy(0,0);
sprintf(Show_lcd, "Vaccine Refriger");
lcd_puts(Show_lcd);
lcd_gotoxy(0,1);
sprintf( Show_lcd,"Coolness Control");
lcd_puts(Show_lcd);
printf("\r\nVaccine Refrigerator Control With Microcontroller");
delay_ms(1000);

Buzzer = 0;
delay_ms(50);
Buzzer = 1;
Relay_FAN = 1;

kp = 15.480;
ki = 0.484;
kd = 123.840;
dt = 1;

while (1)
{
    devices = wl_search(0xf0,rom_codes);
    Data_Ds1820 = ds1820_temperature_10(&rom_codes[0][0]);
    temp = (float)Data_Ds1820/10.0;
    LED1 = !LED1;
    LDR = 0;
    for (j=0;j<20;j++)
    {
        LDR = LDR + read_adc(0);
    }
}

```

```

LDR = LDR/20;

if(LDR > 50) Buzzer = !Buzzer; //Start_Buzzer = 1;
else Buzzer = 1 ;// Start_Buzzer = 0;

actual_position = temp;
error_PID = actual_position - setpoint;
integral = integral + (error_PID*dt);
derivative = (error_PID - previous_error)/dt;
duty = (int)(kp*error_PID) + (int)(ki*integral) + (int)(kd*derivative);
if( duty >= 100 ) duty = 100;
if( duty < 0 ) duty = 0;

ICR1 = frequency; // F
OCR1A = duty; // duty
OCR1B = duty; // duty

previous_error = error_PID ;

lcd_gotoxy(0,0);
if(temp < -10.0)
{
    sprintf>Show_lcd," No Sensor ";
    lcd_puts>Show_lcd;
    lcd_gotoxy(0,1);
    sprintf>Show_lcd," Press Connect ";
    lcd_puts>Show_lcd;
    printf"No Sensor Press Connect\r\n";
}

else
{
    sprintf>Show_lcd,"T:%2.1fC S:%2.1fC ",temp,setpoint);
}

```

```
lcd_puts(Show_lcd);

lcd_gotoxy(0,1);
sprintf(Show_lcd,"D:%i%% E:%1.1f ",duty,error_PID);

lcd_puts(Show_lcd);
printf(" Error:%1.1f Integral:%1.1f Derivative:%1.1f Duty:%i%% T:%2.1fC
S:%2.1fC\r\n"
,error_PID,integral,derivative,duty,temp,setpoint);

}

};

}

;

;
```



Features

- High-performance, Low-power AVR® 8-bit Microcontroller
- Advanced RISC Architecture
 - 130 Powerful Instructions – Most Single Clock Cycle Execution
 - 32 x 8 General Purpose Working Registers + Peripheral Control Registers
 - Fully Static Operation
 - Up to 16 MIPS Throughput at 16 MHz
 - On-chip 2-cycle Multiplier
- Non-volatile Program and Data Memories
 - 64K Bytes of In-System Reprogrammable Flash
 - Endurance: 10,000 Write/Erase Cycles
 - Optional Boot Code Section with Independent Lock Bits
 - In-System Programming by On-chip Boot Program
 - True Read-While-Write Operation
 - 2K Bytes EEPROM
 - Endurance: 100,000 Write/Erase Cycles
 - 4K Bytes Internal SRAM
 - Up to 64K Bytes Optional External Memory Space
 - Programming Lock for Software Security
 - SPI Interface for In-System Programming
- JTAG (IEEE std. 1149.1 Compliant) Interface
 - Boundary-scan Capabilities According to the JTAG Standard
 - Extensive On-chip Debug Support
 - Programming of Flash, EEPROM, Fuses, and Lock Bits through the JTAG Interface
- Peripheral Features
 - Two 8-bit Timer/Counters with Separate Prescalers and Compare Modes
 - Two Expanded 16-bit Timer/Counters with Separate Prescaler, Compare Mode, and Capture Mode
 - Real Time Counter with Separate Oscillator
 - Two 8-bit PWM Channels
 - 6 PWM Channels with Programmable Resolution from 1 to 16 Bits
 - 8-channel, 10-bit ADC
 - 8 Single-ended Channels
 - 2 Differential Channels
 - 2 Differential Channels with Programmable Gain (1x, 10x, 200x)
 - Byte-oriented Two-wire Serial Interface
 - Dual Programmable Serial USARTs
 - Master/Slave SPI Serial Interface
 - Programmable Watchdog Timer with On-chip Oscillator
 - On-chip Analog Comparitor
- Special Microcontroller Features
 - Power-on Reset and Programmable Brown-out Detection
 - Internal Calibrated RC Oscillator
 - External and Internal Interrupt Sources
 - Six Sleep Modes: Idle, ADC Noise Reduction, Power-save, Power-down, Standby and Extended Standby
 - Software Selectable Clock Frequency
 - ATmega103 Compatibility Mode Selected by a Fuse
 - Global Pull-up Disable
- I/O and Packages
 - 53 Programmable I/O Lines
 - 64-lead TQFP and 64-pad QFN/MLF
- Operating Voltages
 - 2.7 - 6.5V for ATmega64L
 - 4.5 - 5.5V for ATmega64
- Speed Grades
 - 0 - 8 MHz for ATmega64L
 - 0 - 16 MHz for ATmega64



**8-bit AVR®
Microcontroller
with 64K Bytes
In-System
Programmable
Flash**

**ATmega64
ATmega64L**

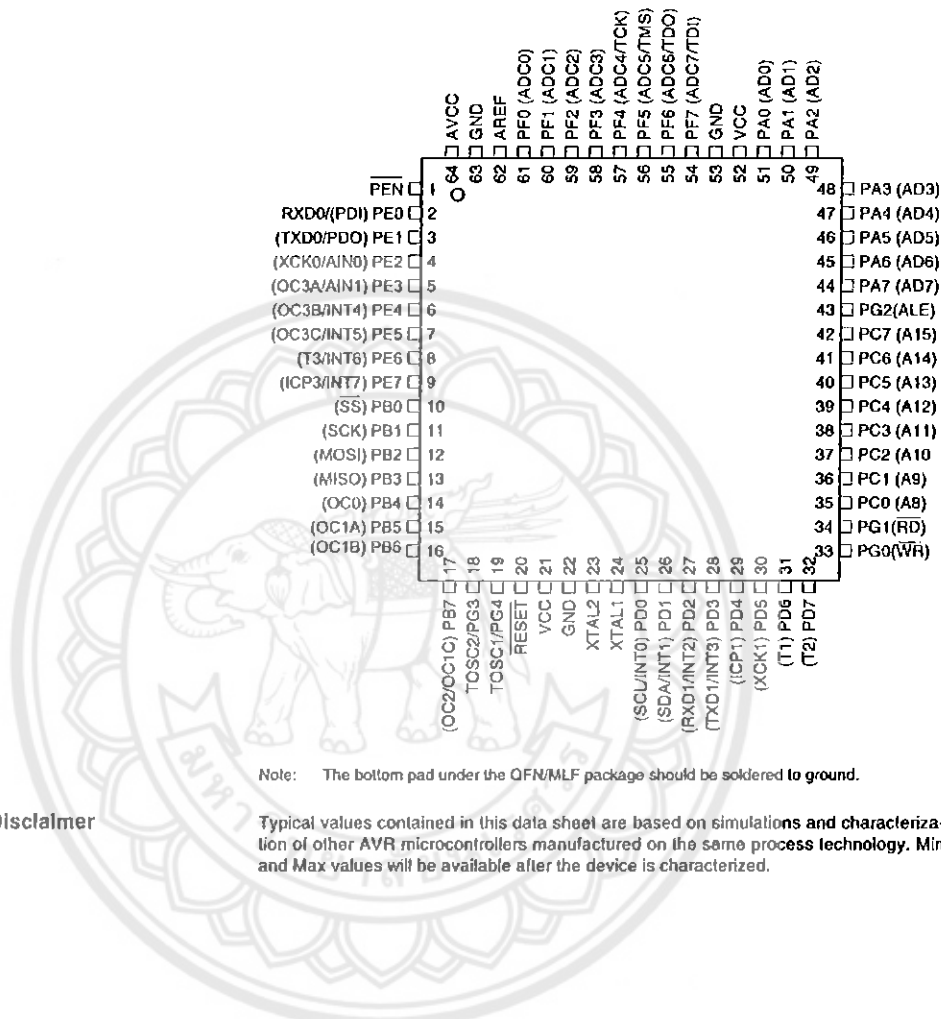
Summary



Pin Configuration

Figure 1. Pinout ATmega64

TQFP/MLF



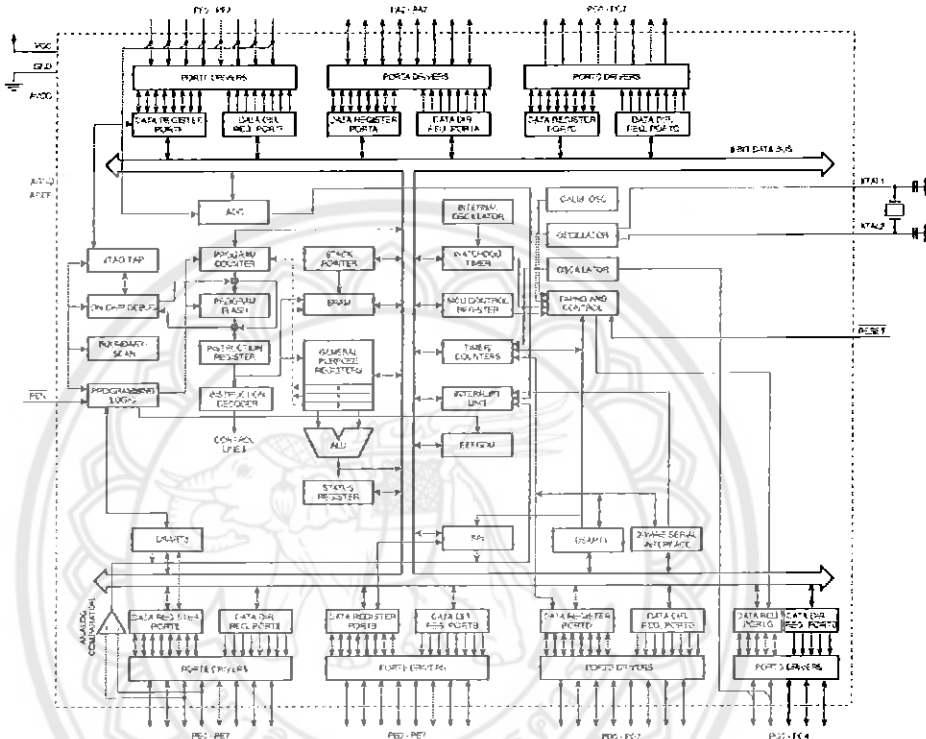
ATmega64(L)

Overview

The ATmega64 is a low-power CMOS 8-bit microcontroller based on the AVR enhanced RISC architecture. By executing powerful instructions in a single clock cycle, the ATmega64 achieves throughputs approaching 1 MIPS per MHz, allowing the system designer to optimize power consumption versus processing speed.

Block Diagram

Figure 2. Block Diagram



The AVR core combines a rich instruction set with 32 general purpose working registers. All the 32 registers are directly connected to the Arithmetic Logic Unit (ALU), allowing two independent registers to be accessed in one single instruction executed in one clock cycle. The resulting architecture is more code efficient while achieving throughputs up to ten times faster than conventional CISC microcontrollers.

ATmega64(L)

ATmega103 Compatibility Mode

By programming the M103C Fuse, the ATmega64 will be compatible with the ATmega103 regards to RAM, I/O pins and Interrupt Vectors as described above. However, some new features in ATmega64 are not available in this compatibility mode, these features are listed below:

- One USART instead of two, asynchronous mode only. Only the eight least significant bits of the Baud Rate Register is available.
- One 16 bits Timer/Counter with two compare registers instead of two 16 bits Timer/Counters with three compare registers.
- Two-wire serial Interface Is not supported.
- Port G serves alternate functions only (not a general I/O port).
- Port F serves as digital input only in addition to analog input to the ADC.
- Boot Loader capabilities Is not supported.
- It is not possible to adjust the frequency of the internal calibrated RC Oscillator.
- The External Memory Interface can not release any Address pins for general I/O, neither configure different wait states to different External Memory Address sections.
- Only EXTRF and PORF exist in the MCUCSR Register.
- No timed sequence is required for Watchdog Timeout change.
- Only low-level external interrupts can be used on four of the eight External Interrupt sources.
- Port C is output only.
- USART has no FIFO buffer, so Data OverRun comes earlier.
- The user must have set unused I/O bits to 0 in ATmega103 programs.

Pin Descriptions

VCC

Digital supply voltage.

GND

Ground.

Port A (PA7..PA0)

Port A is an 8-bit bi-directional I/O port with internal pull-up resistors (selected for each bit). The Port A output buffers have symmetrical drive characteristics with both high sink and source capability. As inputs, Port A pins that are externally pulled low will source current if the pull-up resistors are activated. The Port A pins are tri-stated when a reset condition becomes active, even if the clock is not running.

Port A also serves the functions of various special features of the ATmega64 as listed on page 72.

Port B (PB7..PB0)

Port B is an 8-bit bi-directional I/O port with internal pull-up resistors (selected for each bit). The Port B output buffers have symmetrical drive characteristics with both high sink and source capability. As inputs, Port B pins that are externally pulled low will source current if the pull-up resistors are activated. The Port B pins are tri-stated when a reset condition becomes active, even if the clock is not running.

Port B also serves the functions of various special features of the ATmega64 as listed on page 73.

**Port C (PC7..PC0)**

Port C is an 8-bit bi-directional I/O port with internal pull-up resistors (selected for each bit). The Port C output buffers have symmetrical drive characteristics with both high sink and source capability. As inputs, Port C pins that are externally pulled low will source current if the pull-up resistors are activated. The Port C pins are tri-stated when a reset condition becomes active, even if the clock is not running.

Port C also serves the functions of special features of the ATmega64 as listed on page 76. In ATmega103 compatibility mode, Port C is output only, and the port C pins are not tri-stated when a reset condition becomes active.

Port D (PD7..PD0)

Port D is an 8-bit bi-directional I/O port with internal pull-up resistors (selected for each bit). The Port D output buffers have symmetrical drive characteristics with both high sink and source capability. As inputs, Port D pins that are externally pulled low will source current if the pull-up resistors are activated. The Port D pins are tri-stated when a reset condition becomes active, even if the clock is not running.

Port D also serves the functions of various special features of the ATmega64 as listed on page 77.

Port E (PE7..PE0)

Port E is an 8-bit bi-directional I/O port with internal pull-up resistors (selected for each bit). The Port E output buffers have symmetrical drive characteristics with both high sink and source capability. As inputs, Port E pins that are externally pulled low will source current if the pull-up resistors are activated. The Port E pins are tri-stated when a reset condition becomes active, even if the clock is not running.

Port E also serves the functions of various special features of the ATmega64 as listed on page 80.

Port F (PF7..PF0)

Port F serves as the analog inputs to the A/D Converter. Port F also serves as an 8-bit bi-directional I/O port, if the A/D Converter is not used. Port pins can provide internal pull-up resistors (selected for each bit). The Port F output buffers have symmetrical drive characteristics with both high sink and source capability. As inputs, Port F pins that are externally pulled low will source current if the pull-up resistors are activated. The Port F pins are tri-stated when a reset condition becomes active, even if the clock is not running. If the JTAG interface is enabled, the pull-up resistors on pins PF7(TDI), PF5(TMS) and PF4(TCK) will be activated even if a reset occurs.

The TDO pin is tri-stated unless TAP states that shift out data are entered.

Port F also serves the functions of the JTAG interface.

In ATmega103 compatibility mode, Port F is an input port only.

Port G (PG4..PG0)

Port G is a 5-bit bi-directional I/O port with internal pull-up resistors (selected for each bit). The Port G output buffers have symmetrical drive characteristics with both high sink and source capability. As inputs, Port G pins that are externally pulled low will source current if the pull-up resistors are activated. The Port G pins are tri-stated when a reset condition becomes active, even if the clock is not running.

Port G also serves the functions of various special features.

In ATmega103 compatibility mode, these pins only serve as strobes signals to the external memory as well as input to the 32 kHz Oscillator, and the pins are initialized to PG0 = 1, PG1 = 1, and PG2 = 0 asynchronously when a reset condition becomes active, even if the clock is not running. PG3 and PG4 are Oscillator pins.

ATmega64(L)

RESET	Reset input. A low level on this pin for longer than the minimum pulse length will generate a reset, even if the clock is not running. The minimum pulse length is given in Table 19 on page 51. Shorter pulses are not guaranteed to generate a reset.
XTAL1	Input to the inverting Oscillator amplifier and input to the internal clock operating circuit.
XTAL2	Output from the inverting Oscillator amplifier.
AVCC	AVCC is the supply voltage pin for Port F and the A/D Converter. It should be externally connected to V_{CC} , even if the ADC is not used. If the ADC is used, it should be connected to V_{CC} through a low-pass filter.
AREF	AREF is the analog reference pin for the A/D Converter.
PEN	This is a programming enable pin for the SPI Serial Programming mode. By holding this pin low during a Power-on Reset, the device will enter the SPI Serial Programming mode. PEN has no function during normal operation.



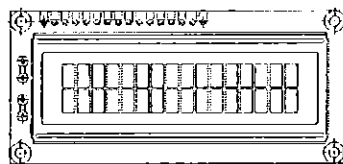




16 x 2 Character LCD

LCD-016M002B

Vishay



FEATURES

- 5 x 8 dots with cursor
 - Built-in controller (KS 0066 or Equivalent)
 - + 5V power supply (Also available for + 3V)
 - 1/16 duty cycle
 - B/L to be driven by pin 1, pin 2 or pin 15, pin 16 or A/J (LED)
 - N.V. optional for + 3V power supply

MECHANICAL DATA		
ITEM	STANDARD VALUE	UNIT
Module Dimension	80.0 x 36.0	mm
Viewing Area	66.0 x 16.0	mm
Dot Size	0.56 x 0.66	mm
Character Size	2.96 x 5.56	mm

ABSOLUTE MAXIMUM RATING					
ITEM	SYMBOL	STANDARD VALUE			UNIT
		MIN.	TYP.	MAX.	
Power Supply	VDD-VSS	-0.3	-	7.0	V
Input Voltage	VI	-0.3	-	VDD	V

NOTE: VSS = 0 Volt, VDD = 5.0 Volt

ELECTRICAL SPECIFICATIONS

ITEM	SYMBOL	CONDITION	STANDARD VALUE			UNIT
			MIN.	TYP.	MAX.	
Input Voltage	VDD	VDD = +5V	4.7	5.0	5.3	V
		VDD = +3V	2.7	3.0	3.3	V
Supply Current	iDD	VDD = 5V		-	1.2	3.0 mA
Recommended LC Driving Voltage for Normal Temp Version Module	VDD - V0	-20 °C		-	-	V
		0 °C		4.2	4.8	
		25 °C		3.8	4.2	
		50 °C		3.6	4.0	
		70 °C		-	-	
LED Forward Voltage	VF	25 °C		-	4.2	4.6 V
LED Forward Current	IF	25 °C	Array	-	130	260 mA
			Edge	-	20	40 mA
EL Power Supply Current	IEL	Vdc = 110VAC@400Hz		-	-	5.0 mA

DISPLAY CHARACTER ADDRESS CODE:

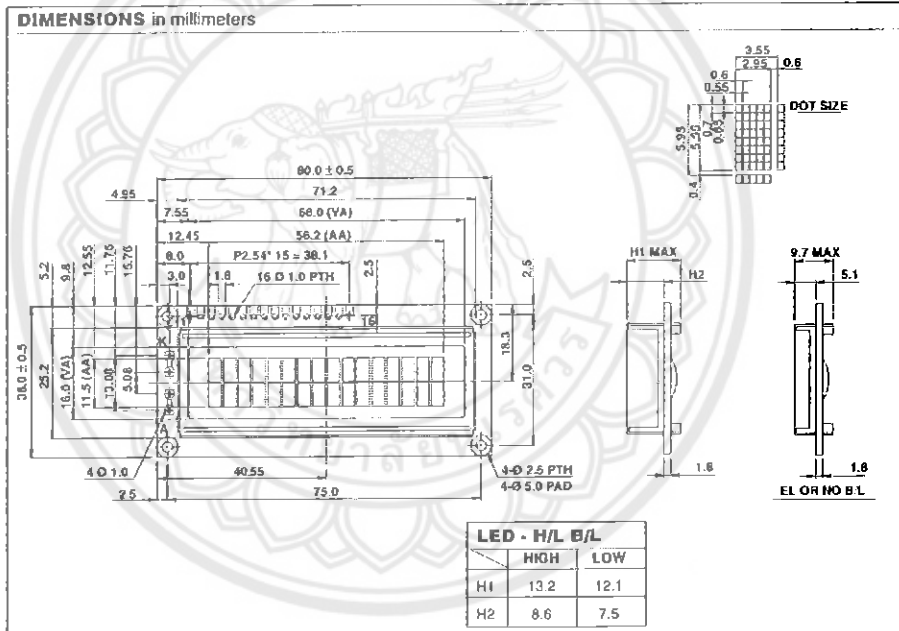
LCD-016M002B

Vishay

16 x 2 Character LCD



PIN NUMBER	SYMBOL	FUNCTION
1	V _{SS}	GND
2	V _{dd}	+3V or +5V
3	V _O	Contrast Adjustment
4	RS	H/L Register Select Signal
5	R/W	H/L Read/Write Signal
6	E	H-L Enable Signal
7	D ₀ 0	H/L Data Bus Line
8	D ₀ 1	H/L Data Bus Line
9	D ₀ 2	H/L Data Bus Line
10	D ₀ 3	H/L Data Bus Line
11	D ₀ 4	H/L Data Bus Line
12	D ₀ 5	H/L Data Bus Line
13	D ₀ 6	H/L Data Bus Line
14	D ₀ 7	H/L Data Bus Line
15	A/V _{ee}	+4.2V for LED:Negative Voltage Output
16	K	Power Supply for B/L (OV)

DIMENSIONS in millimeters

ภาคผนวก ง

รายละเอียดของ TLP250N, IRFP2907, LM2575, POWER RELAY

TOSHIBA**TLP250**

TOSHIBA Photocoupler GaAlAs Ired & Photo-IC

TLP250**Transistor Inverter****Inverter For Air Conditioner****IGBT Gate Drive****Power MOS FET Gate Drive**

The TOSHIBA TLP250 consists of a GaAlAs light emitting diode and a integrated photodetector.

This unit is 8-lead DIP package.

TLP250 is suitable for gate driving circuit of IGBT or power MOS FET.

- Input threshold current: $I_F = 5\text{mA}(\text{max.})$
- Supply current (I_{CC}): $11\text{mA}(\text{max.})$
- Supply voltage (V_{CC}): $10\text{--}35\text{V}$
- Output current (I_O): $\pm 1.5\text{A}(\text{max.})$
- Switching time (t_{PLH}/t_{PHL}): $1.5\mu\text{s}(\text{max.})$
- Isolation voltage: $2500\text{VRms}(\text{min.})$
- UL recognized: UL1577, file No.E67349
- Option (D4) type

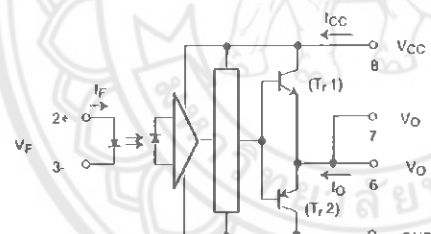
VDE approved: DIN VDE0884/06 92, certificate No.76823

Maximum operating insulation voltage: 630VPK

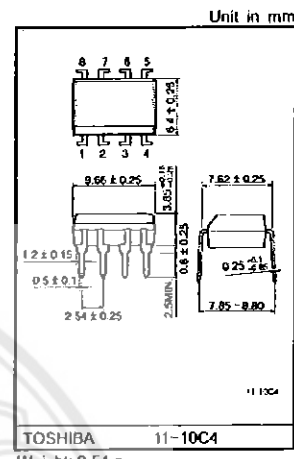
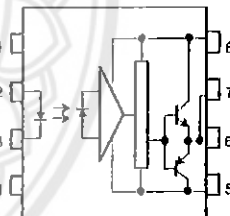
Highest permissible over voltage: 4000VPK

(Note) When a VDE0884 approved type is needed,
please designate the "option (D4)"

- Creepage distance: $6.4\text{mm}(\text{min.})$
- Clearance: $6.4\text{mm}(\text{min.})$

Schematic

A $0.1\mu\text{F}$ bypass capacitor must be
connected between pin 8 and 5 (See Note 5).

**Pin Configuration (top view)**

- 1 : N.C.
- 2 : Anode
- 3 : Cathode
- 4 : N.C.
- 5 : GND
- 6 : V_O (Output)
- 7 : V_O
- 8 : V_{CC}

Truth Table

		Tr1	Tr2
Input LED	On	On	Off
	Off	Off	On

TOSHIBA**TLP250****Absolute Maximum Ratings (Ta = 25°C)**

Characteristic		Symbol	Rating	Unit
LED	Forward current	I _F	20	mA
	Forward current derating (Ta ≥ 70°C)	ΔI _F / ΔTa	-0.36	mA / °C
	Peak transient forward current (Note 1)	I _{FPT}	1	A
	Reverse voltage	V _R	5	V
	Junction temperature	T _J	125	°C
Detector	*H peak output current (P _W ≤ 2.5μs, f ≤ 15kHz)	I _{OPH}	-1.5	A
	*L peak output current (P _W ≤ 2.5μs, f ≤ 15kHz)	I _{OPL}	+1.5	A
	Output voltage (Ta ≤ 70°C)	V _O	35	V
	(Ta = 85°C)		24	
	Supply voltage (Ta ≤ 70°C)	V _{CC}	35	V
	(Ta = 85°C)		24	
	Output voltage derating (Ta ≥ 70°C)	ΔV _O / ΔTa	-0.73	V / °C
	Supply voltage derating (Ta ≥ 70°C)	ΔV _{CC} / ΔTa	-0.73	V / °C
	Junction temperature	T _J	125	°C
	Operating frequency (Note 3)	f	25	kHz
Operating temperature range		T _{opr}	-20~85	°C
Storage temperature range		T _{stg}	-55~125	°C
Lead soldering temperature (10 s)		T _{sot}	260	°C
Isolation voltage (AC, 1 min., R.H.≤ 60%) (Note 4)		BVS	2500	Vrms

(Note 1) Pulse width P_W ≤ 1μs, 300pps

(Note 2) Exponential waveform

(Note 3) Exponential waveform, I_{OPH} ≤ -1.0A (≤ 2.5μs), I_{OPL} ≤ +1.0A (≤ 2.5μs)

(Note 4) Device considerd a two terminal device: Pins 1, 2, 3 and 4 shorted together, and pins 5, 6, 7 and 8 shorted together.

(Note 5) A ceramic capacitor(0.1μF) should be connected from pin 8 to pin 5 to stabilize the operation of the high gain linear amplifier. Failure to provide the bypassing may impair the switching property. The total lead length between capacitor and coupler should not exceed 1cm.

Recommended Operating Conditions

Characteristic	Symbol	Min.	Typ.	Max.	Unit
Input current, on	I _{F(ON)}	7	8	10	mA
Input voltage, off	V _{F(OFF)}	0	—	0.8	V
Supply voltage	V _{CC}	15	—	30 20	V
Peak output current	I _{OPH} /I _{OPL}	—	—	±0.5	A
Operating temperature	T _{opr}	-20	25	70 65	°C

TOSHIBA**TLP250****Electrical Characteristics ($T_a = -20\text{--}70^\circ\text{C}$, unless otherwise specified)**

Characteristic	Symbol	Test Circuit	Test Condition	Min.	Typ.*	Max.	Unit
Input forward voltage	V_F	—	$I_F = 10 \text{ mA}, T_a = 25^\circ\text{C}$	—	1.6	1.8	V
Temperature coefficient of forward voltage	$\Delta V_F / \Delta T_a$	—	$I_F = 10 \text{ mA}$	—	-2.0	—	mV / °C
Input reverse current	I_R	—	$V_R = 5\text{V}, T_a = 25^\circ\text{C}$	—	—	10	μA
Input capacitance	C_I	—	$V = 0, f = 1\text{MHz}, T_a = 25^\circ\text{C}$	—	45	250	pF
Output current	'H' level	I_{OPH}	3 $V_{CC} = 30\text{V}$ (*1)	$I_F = 10 \text{ mA}$ $V_{B-6} = 4\text{V}$	-0.5	-1.5	—
	'L' level	I_{OPL}	2	$I_F = 0$ $V_{B-5} = 2.5\text{V}$	0.5	2	—
Output voltage	'H' level	V_{OH}	4	$V_{CC1} = +15\text{V}, V_{EE1} = -15\text{V}$ $R_L = 2000\Omega, I_F = 5\text{mA}$	11	12.8	—
	'L' level	V_{OL}	5	$V_{CC1} = +15\text{V}, V_{EE1} = -15\text{V}$ $R_L = 2000, V_F = 0.8\text{V}$	—	-14.2	-12.5
Supply current	'H' level	I_{CCH}	—	$V_{CC} = 30\text{V}, I_F = 10\text{mA}$ $T_a = 25^\circ\text{C}$	—	7	—
	'L' level	I_{CCL}	—	$V_{CC} = 30\text{V}, I_F = 0\text{mA}$ $T_a = 25^\circ\text{C}$	—	7.5	—
Threshold input current	'Output L→H'	I_{IHL}	—	$V_{CC1} = +15\text{V}, V_{EE1} = -15\text{V}$ $R_L = 2000\Omega, V_O > 0\text{V}$	—	1.2	5
Threshold input voltage	'Output H→L'	I_{IHL}	—	$V_{CC1} = +15\text{V}, V_{EE1} = -15\text{V}$ $R_L = 2000\Omega, V_O < 0\text{V}$	0.8	—	—
Supply voltage	V_{CC}	—	—	—	10	—	35
Capacitance (input-output)	C_S	—	$V_S = 0, f = 1\text{MHz}$ $T_a = 25^\circ\text{C}$	—	1.0	2.0	pF
Resistance(input-output)	R_S	—	$V_S = 500\text{V}, T_a = 25^\circ\text{C}$ R.H.S 60%	1×10^{12}	10^{14}	—	Ω

* All typical values are at $T_a = 25^\circ\text{C}$ (*1): Duration of I_O time $\leq 50\mu\text{s}$

TOSHIBA**TLP250****Switching Characteristics ($T_a = -20\text{--}70^\circ\text{C}$, unless otherwise specified)**

Characteristic		Symbol	Test Circuit	Test Condition	Min.	Typ.*	Max.	Unit
Propagation delay time	L-H	t_{PLH}	6	$I_F = 8\text{mA}$ $V_{CC1} = +15\text{V}$, $V_{EE1} = -15\text{V}$ $R_L = 200\Omega$	—	0.15	0.5	μs
	H-L	t_{PHL}			—	0.15	0.5	
Output rise time		t_r			—	—	—	
Output fall time		t_f			—	—	—	
Common mode transient immunity at high level output		C_{MH}	7	$V_{CM} = 600\text{V}$, $I_F = 8\text{mA}$ $V_{CC} = 30\text{V}$, $T_a = 25^\circ\text{C}$	-5000	—	—	$\text{V}/\mu\text{s}$
Common mode transient immunity at low level output		C_{ML}	7	$V_{CM} = 600\text{V}$, $I_F = 0\text{mA}$ $V_{CC} = 30\text{V}$, $T_a = 25^\circ\text{C}$	5000	—	—	$\text{V}/\mu\text{s}$

* All typical values are at $T_a = 25^\circ\text{C}$ 

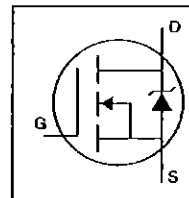
International
IR Rectifier

AUTOMOTIVE MOSFET

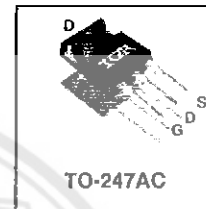
PD-93906D

IRFP2907

HEXFET® Power MOSFET



$V_{DSS} = 75V$
$R_{DS(on)} = 4.5m\Omega$
$I_D = 209A@$

**Typical Applications**

- Integrated Starter/Alternator
- 42 Volts Automotive Electrical Systems

Benefits

- Advanced Process Technology
- Ultra Low On-Resistance
- Dynamic dv/dt Rating
- 175°C Operating Temperature
- Fast Switching
- Repetitive Avalanche Allowed up to T_{jmax}

Description

Specifically designed for Automotive applications, this Stripe Planar design of HEXFET® Power MOSFETs utilizes the latest processing techniques to achieve extremely low on-resistance per silicon area. Additional features of this HEXFET power MOSFET are a 175°C junction operating temperature, fast switching speed and improved repetitive avalanche rating. These benefits combine to make this design an extremely efficient and reliable device for use in Automotive applications and a wide variety of other applications.

Absolute Maximum Ratings

	G	D	S
	Gate	Drain	Source
$I_D @ T_C = 25^\circ C$	Continuous Drain Current, $V_{GS} @ 10V$	209A	
$I_D @ T_C = 100^\circ C$	Continuous Drain Current, $V_{GS} @ 10V$	148A	A
I_{DM}	Pulsed Drain Current	840	
$P_D @ T_C = 25^\circ C$	Power Dissipation	470	W
	Linear Derating Factor	3.1	W/°C
V_{GS}	Gate-to-Source Voltage	± 20	V
E_{AS}	Single Pulse Avalanche Energy	1970	mJ
I_{AR}	Avalanche Current	See Fig.12a, 12b, 15, 16	A
E_{AR}	Repetitive Avalanche Energy		mJ
dv/dt	Peak Diode Recovery dv/dt	5.0	V/ns
T_J	Operating Junction and	-55 to +175	
T_{STG}	Storage Temperature Range		°C
	Soldering Temperature, for 10 seconds	300 (1.6mm from case)	
	Mounting Torque, 6-32 or M3 screw	10 lbf-in (1.1N·m)	

Thermal Resistance

	Parameter	Typ.	Max.	Units
R_{JC}	Junction-to-Case	—	0.32	
R_{CS}	Case-to-Sink, Flat, Greased Surface	0.24	—	°C/W
R_{JA}	Junction-to-Ambient	—	40	

IRFP2907

International
I²R RectifierElectrical Characteristics @ $T_J = 25^\circ\text{C}$ (unless otherwise specified)

	Parameter	Min.	Typ.	Max.	Units	Conditions
$V_{D(BR)SS}$	Drain-to-Source Breakdown Voltage	75	—	—	V	$V_{GS} = 0V, I_D = 250\mu\text{A}$
$\Delta V_{D(BR)SS}/\Delta T_J$	Breakdown Voltage Temp. Coefficient	—	0.085	—	V/ $^\circ\text{C}$	Reference to $25^\circ\text{C}, I_D = 1\text{mA}$
$R_{DS(on)}$	Static Drain-to-Source On-Resistance	—	3.6	4.5	m Ω	$V_{GS} = 10V, I_D = 125A$ ^①
$V_{GS(th)}$	Gate Threshold Voltage	2.0	—	4.0	V	$V_{DS} = 10V, I_D = 250\mu\text{A}$
g_f	Forward Transconductance	130	—	—	S	$V_{DS} = 25V, I_D = 125A$
I_{GSS}	Drain-to-Source Leakage Current	—	—	20	μA	$V_{DS} = 75V, V_{GS} = 0V$
I_{GSS}	Gate-to-Source Forward Leakage	—	—	200	nA	$V_{DS} = 60V, V_{GS} = 0V, T_J = 150^\circ\text{C}$
I_{GSS}	Gate-to-Source Reverse Leakage	—	—	200	nA	$V_{GS} = 20V$
Q_g	Total Gate Charge	—	410	620	—	$I_D = 125A$
Q_{gp}	Gate-to-Source Charge	—	92	140	nC	$V_{DS} = 60V$
Q_{gd}	Gate-to-Drain ("Miller") Charge	—	140	210	nC	$V_{GS} = 10V$ ^②
t_{on}	Turn-On Delay Time	—	23	—	—	$V_{DD} = 38V$
t_r	Rise Time	—	190	—	ns	$I_D = 125A$
t_{off}	Turn-Off Delay Time	—	130	—	ns	$R_G = 1.2\Omega$
t_f	Fall Time	—	130	—	ns	$V_{GS} = 10V$ ^③
L_D	Internal Drain Inductance	—	5.0	—	nH	Between lead, 6mm (0.25in.) from package and center of die contact
L_S	Internal Source Inductance	—	13	—	nH	Between lead, 6mm (0.25in.) from package and center of die contact
C_{iss}	Input Capacitance	—	13000	—	pF	$V_{GS} = 0V$
C_{oss}	Output Capacitance	—	2100	—	pF	$V_{DS} = 25V$
C_{rss}	Reverse Transfer Capacitance	—	500	—	pF	$f = 1.0\text{MHz}$, See Fig. 6
C_{oss}	Output Capacitance	—	9780	—	pF	$V_{GS} = 0V, V_{DS} = 1.0V, f = 1.0\text{MHz}$
C_{oss}	Output Capacitance	—	1360	—	pF	$V_{GS} = 0V, V_{DS} = 60V, f = 1.0\text{MHz}$
$C_{oss\ eff.}$	Effective Output Capacitance ^④	—	2320	—	pF	$V_{GS} = 0V, V_{DS} = 0V \text{ to } 60V$

Source-Drain Ratings and Characteristics

	Parameter	Min.	Typ.	Max.	Units	Conditions
I_S	Continuous Source Current (Body Diode)	—	—	209	A	MOSFET symbol showing the integrated reverse p-n junction diode.
I_{SM}	Pulsed Source Current (Body Diode) ^⑤	—	—	840	A	
V_{SD}	Diode Forward Voltage	—	—	1.3	V	$T_J = 25^\circ\text{C}, I_S = 125A, V_{GS} = 0V$ ^⑥
t_r	Reverse Recovery Time	—	140	210	ns	$T_J = 25^\circ\text{C}, I_F = 125A$
O_r	Reverse Recovery Charge	—	880	1320	nC	$dV/dt = 100A/\mu\text{s}$ ^⑦
t_{on}	Forward Turn-On Time	—	—	—	—	Intrinsic turn-on time is negligible (turn-on is dominated by $L_S + L_D$)

Notes:

- ① Repetitive rating; pulse width limited by max. junction temperature. (See fig. 11).
- ② Starting $T_J = 25^\circ\text{C}$, $L = 0.25\text{mH}$, $R_G = 25\Omega$, $I_{AS} = 125A$. (See Figure 12).
- ③ $I_{SD} \leq 125A$, $dV/dt \leq 260A/\mu\text{s}$, $V_{DD} \leq V_{BR(DSS)}$, $T_J \leq 175^\circ\text{C}$.
- ④ Pulse width $\leq 400\mu\text{s}$; duty cycle $\leq 2\%$.
- ⑤ $C_{oss\ eff.}$ is a fixed capacitance that gives the same charging time as C_{oss} while V_{DS} is rising from 0 to 80% V_{oss} .
- ⑥ Calculated continuous current based on maximum allowable junction temperature. Package limitation current is 90A.
- ⑦ Limited by T_{max} , see Fig. 12a, 12b, 15, 16 for typical repetitive avalanche performance.

International
I_{OR}R Rectifier

IRFP2907

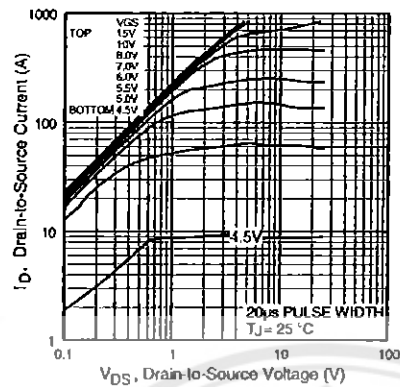


Fig 1. Typical Output Characteristics

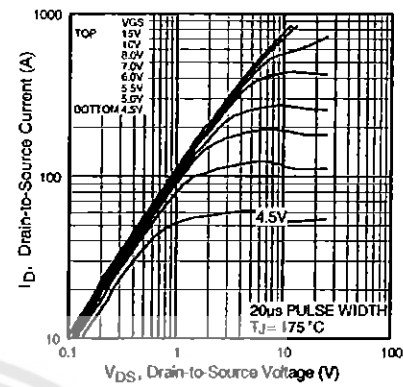


Fig 2. Typical Output Characteristics

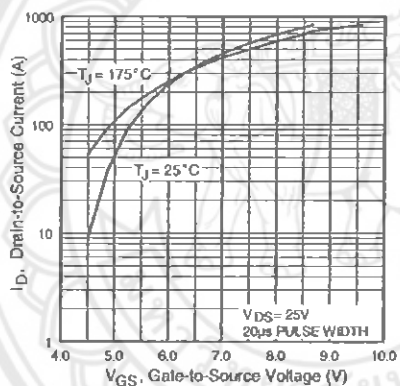


Fig 3. Typical Transfer Characteristics

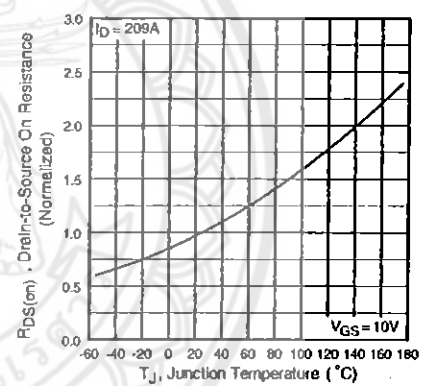


Fig 4. Normalized On-Resistance
Vs. Temperature

IRFP2907

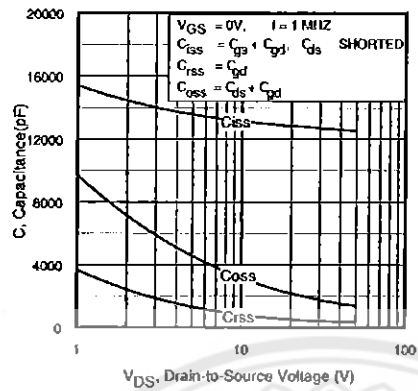
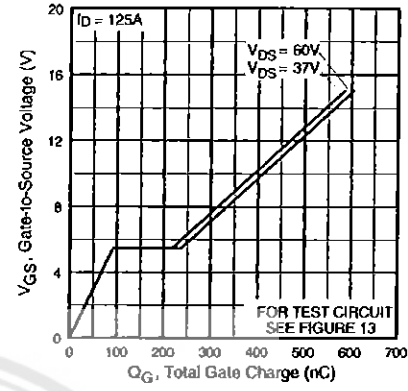
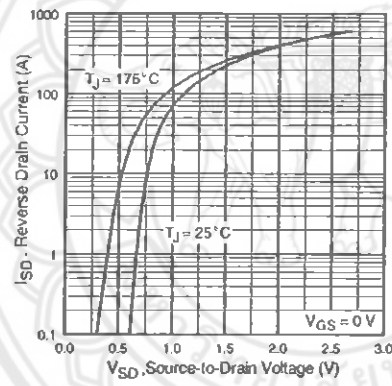
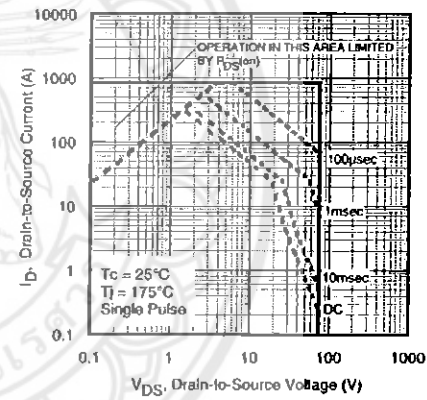
International
I²R RectifierFig 5. Typical Capacitance Vs.
Drain-to-Source VoltageFig 6. Typical Gate Charge Vs.
Gate-to-Source VoltageFig 7. Typical Source-Drain Diode
Forward Voltage

Fig 8. Maximum Safe Operating Area

International
I²R Rectifier

IRFP2907

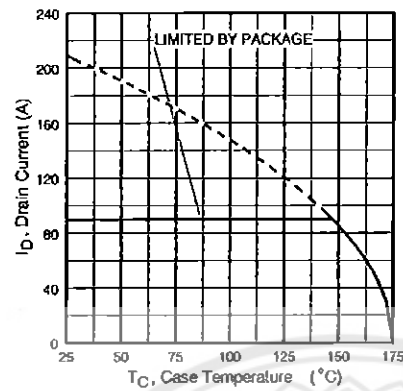


Fig 9. Maximum Drain Vs.
Case Temperature

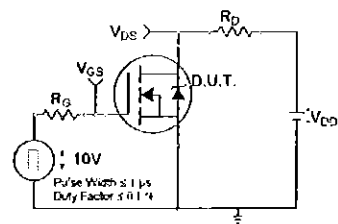


Fig 10a. Switching Time Test Circuit

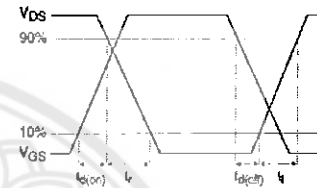


Fig 10b. Switching Time Waveforms

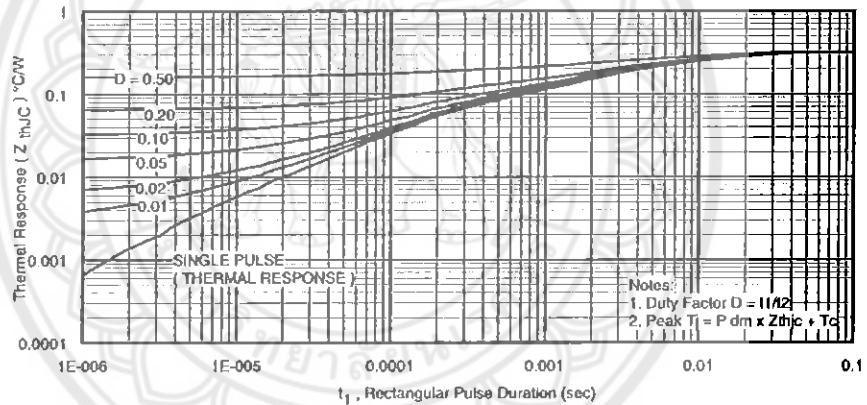


Fig 11. Maximum Effective Transient Thermal Impedance, Junction-to-Case

LM1575/LM2575/LM2575HV Series SIMPLE SWITCHER 1A Step-Down Voltage Regulator



April 2007

LM1575/LM2575/LM2575HV SIMPLE SWITCHER® 1A Step-Down Voltage Regulator

General Description

The LM2575 series of regulators are monolithic integrated circuits that provide all the active functions for a step-down (buck) switching regulator, capable of driving a 1A load with excellent line and load regulation. These devices are available in fixed output voltages of 3.3V, 5V, 12V, 15V, and an adjustable output version.

Requiring a minimum number of external components, these regulators are simple to use and include internal frequency compensation and a fixed-frequency oscillator.

The LM2575 series offers a high-efficiency replacement for popular three-terminal linear regulators. It substantially reduces the size of the heat sink, and in many cases no heat sink is required.

A standard series of inductors optimized for use with the LM2575 are available from several different manufacturers. This feature greatly simplifies the design of switch-mode power supplies.

Other features include a guaranteed $\pm 4\%$ tolerance on output voltage within specified input voltages and output load conditions, and $\pm 10\%$ on the oscillator frequency. External shutdown is included, featuring 50 μ A (typical) standby current. The output switch includes cycle-by-cycle current limiting, as well as thermal shutdown for full protection under fault conditions.

Features

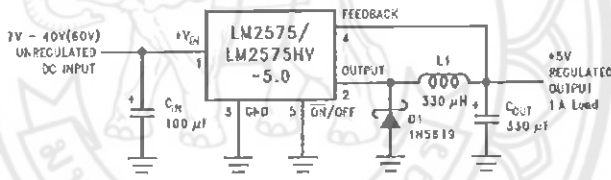
- 3.3V, 5V, 12V, 15V, and adjustable output versions
- Adjustable version output voltage range, 1.23V to 37V (57V for HV version) $\pm 4\%$ max over line and load conditions
- Guaranteed 1A output current
- Wide input voltage range, 40V up to 60V for HV version
- Requires only 4 external components
- 52 kHz fixed frequency internal oscillator
- TTL shutdown capability, low power standby mode
- High efficiency
- Uses readily available standard inductors
- Thermal shutdown and current limit protection
- P+ Product Enhancement tested

Applications

- Simple high-efficiency step-down (buck) regulator
- Efficient pre-regulator for linear regulators
- On-card switching regulators
- Positive to negative converter (Buck-Boost)

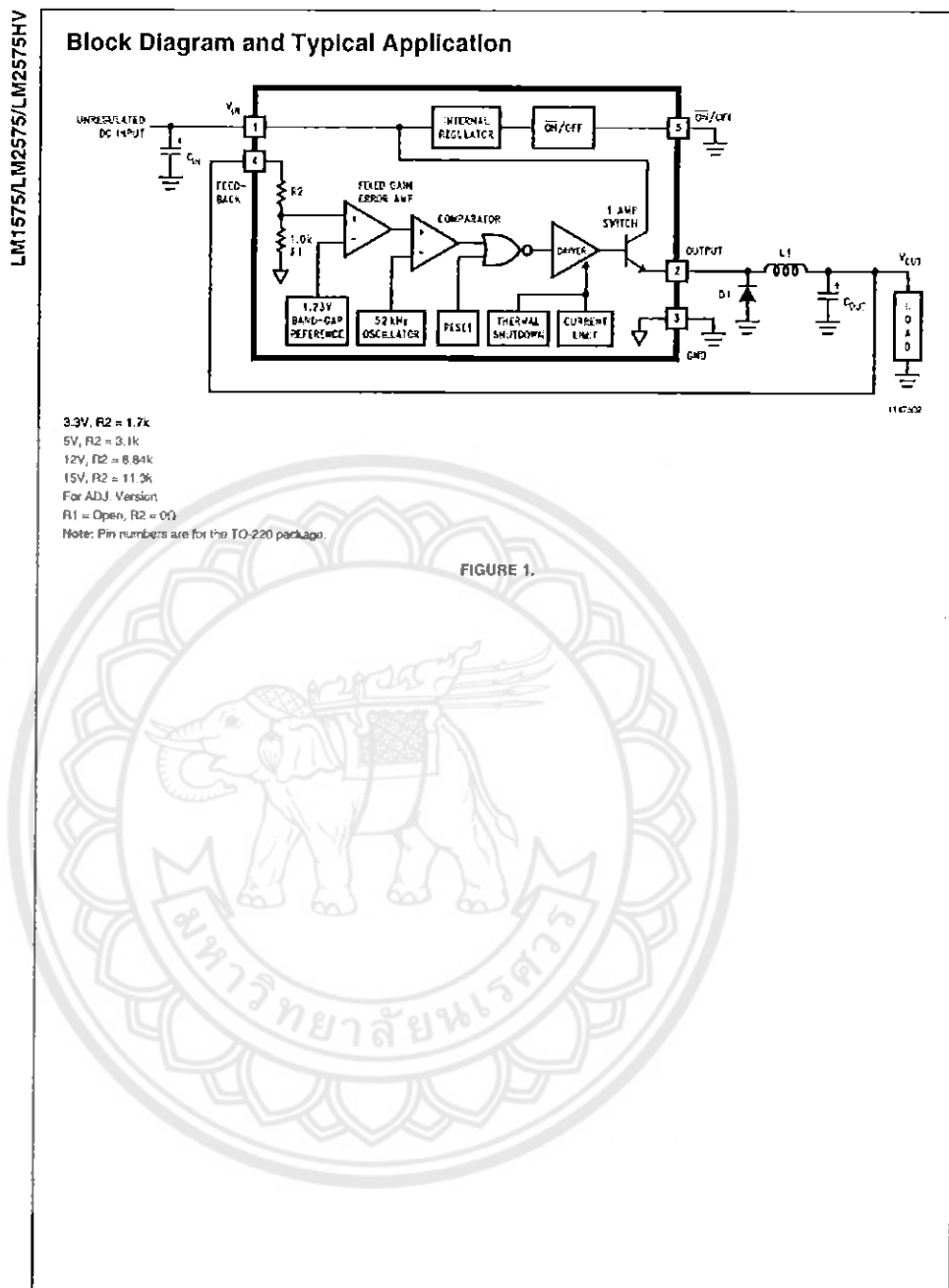
Typical Application

(Fixed Output Voltage Versions)



Note: Pin numbers are for the TO-220 package.

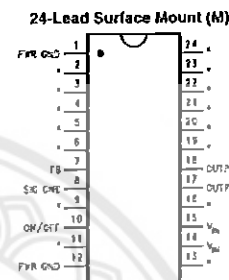
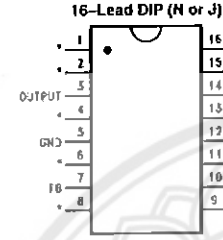
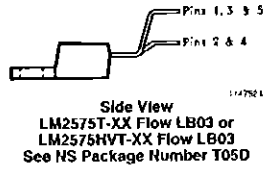
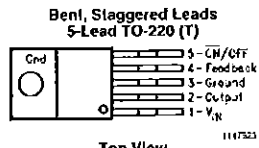
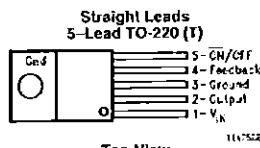
SIMPLE SWITCHER® is a registered trademark of National Semiconductor Corporation.



LM1575/LM2575/LM2575HV

Connection Diagrams

(XX indicates output voltage option. See Ordering Information table for complete part number.)

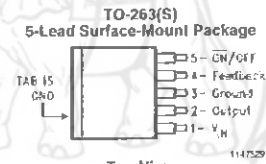


*No Internal Connection

Top View
LM2575N-XX or LM2575HVN-XX
See NS Package Number N16A
LM1575J-XX-QML
See NS Package Number J16A

*No Internal Connection

Top View
LM2575M-XX or LM2575HVM-XX
See NS Package Number M24B





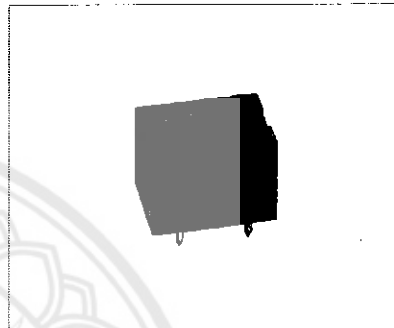
POWER RELAY

1 POLE—3, 5, 10 A

FBR160 SERIES

■ FEATURES

- Compact with high power (3 A to 10 A)
- 6 types of contact materials available for home electronics and automotive applications
- Design conforms to the following safety standards
 UL114 No. E63615
 UL508 No. E63614
 CSA No. LR64026
 Japan Electric Appliance Control Law (150–300 V)
- For automatic assembly
 Tube packaging suitable for automatic insertion equipment is available



■ ORDERING INFORMATION

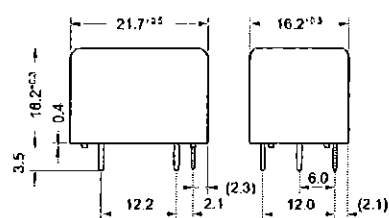
(Example) FBR16 1 S E D 012 UH -CSA -** -S
 (a) (b) (c) (d) (e) (f) (g) (h) (i) (j)

(a)	Series Name	FBR16: FBR160 Series		
(b)	Contact Arrangement	1 : 1 form C (SPDT) 3 : 1 form A (SPST-NO)		
(c)	Enclosure	S : Flux free N : Plastic sealed		
(d)	Coil Rating	E : Nominal power 0.36 W type C : Nominal power 0.5 W type (refer to the SPECIFICATIONS)		
(e)	Coil	D : DC Coil		
(f)	Nominal Voltage	(Example) 012; 12 VDC coil 024; 24 VDC coil (refer to the COIL DATA CHART)		
(g)	UL Standard and Contact Material	UL 114 recognized	UL508 recognized	Material / Rating
		U	R	Silver (3A)
		UK	RK	Silver-cadmium oxide (3 A)
		UH	RH	Silver-cadmium oxide (5 A)
		UW	RW	Silver tin oxide alloy (5 A)
		UHB	RHB	Silver-cadmium oxide (AC 10A)
		UWB	RWB	Silver tin oxide alloy (DC 10 A)

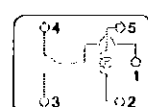
FBR160 SERIES

■ DIMENSIONS

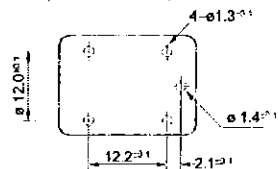
● Dimensions



● Schematic (BOTTOM VIEW)

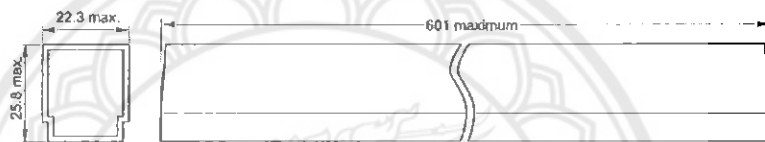


● PC board mounting hole layout (BOTTOM VIEW)



Note : For 1 form A type, terminal No.4 is removed.

● Tube carrier



Unit: mm





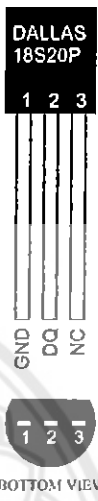
www.maxim-ic.com

DS18S20-PAR 1-Wire Parasite-Power Digital Thermometer

FEATURES

- Unique 1-Wire® interface requires only one port pin for communication
- Derives power from data line ("parasite power")—does not need a local power supply
- Multi-drop capability simplifies distributed temperature sensing applications
- Requires no external components
- $\pm 0.5^\circ\text{C}$ accuracy from -10°C to $+85^\circ\text{C}$
- Measures temperatures from -55°C to $+100^\circ\text{C}$ (-67°F to $+212^\circ\text{F}$)
- 9-bit thermometer resolution
- Converts temperature in 750 ms (max.)
- User-programmable non-volatile temperature alarm settings
- Alarm search command identifies and addresses devices whose temperature is outside of programmed limits (temperature alarm condition)
- Ideal for use in remote sensing applications (e.g., temperature probes) that do not have a local power source

PIN ASSIGNMENT



TO-92
(DS18S20-PAR)

PIN DESCRIPTION

GND	- Ground
DQ	- Data In/Out
NC	- No Connect

DESCRIPTION

The DS18S20-PAR digital thermometer provides 9-bit centigrade temperature measurements and has an alarm function with nonvolatile user-programmable upper and lower trigger points. The DS18S20-PAR does not need an external power supply because it derives power directly from the data line ("parasite power"). The DS18S20-PAR communicates over a 1-Wire bus, which by definition requires only one data line (and ground) for communication with a central microprocessor. It has an operating temperature range of -55°C to $+100^\circ\text{C}$ and is accurate to $\pm 0.5^\circ\text{C}$ over a range of -10°C to $+85^\circ\text{C}$.

Each DS18S20-PAR has a unique 64-bit identification code, which allows multiple DS18S20-PARs to function on the same 1-wire bus; thus, it is simple to use one microprocessor to control many DS18S20-PARs distributed over a large area. Applications that can benefit from this feature include HVAC environmental controls, temperature monitoring systems inside buildings, equipment or machinery, and process monitoring and control systems.

DETAILED PIN DESCRIPTIONS Table 1

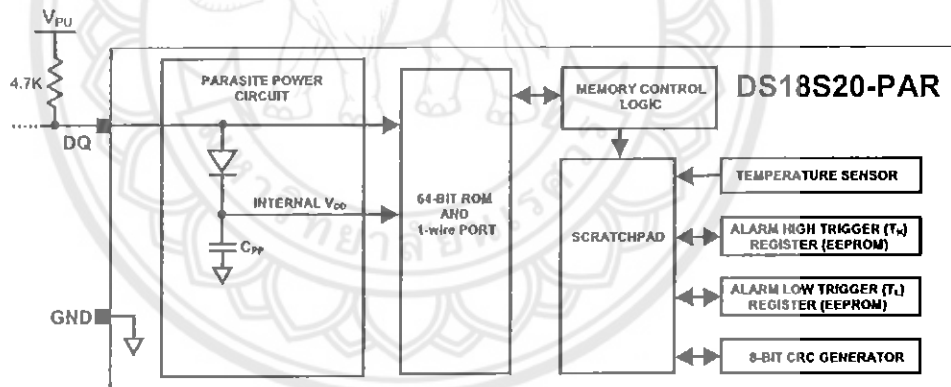
PIN	SYMBOL	DESCRIPTION
1	GND	Ground.
2	DQ	Data Input/Output pin. Open-drain 1-Wire interface pin. Also provides power to the device when used in parasite power mode (see "Parasite Power" section.)
3	NC	No Connect. Doesn't connect to internal circuit.

OVERVIEW

The DS18S20-PAR uses Dallas' exclusive 1-Wire bus protocol that implements bus communication using one control signal. The control line requires a weak pullup resistor since all devices are linked to the bus via a 3-state or open-drain port (the DQ pin in the case of the DS18S20-PAR). In this bus system, the microprocessor (the master device) identifies and addresses devices on the bus using each device's unique 64-bit code. Because each device has a unique code, the number of devices that can be addressed on one bus is virtually unlimited. The 1-Wire bus protocol, including detailed explanations of the commands and "time slots," is covered in the 1-WIRE BUS SYSTEM section of this datasheet.

An important feature of the DS18S20-PAR is its ability to operate without an external power supply. Power is instead supplied through the 1-Wire pullup resistor via the DQ pin when the bus is high. The high bus signal also charges an internal capacitor (C_{PP}), which then supplies power to the device when the bus is low. This method of deriving power from the 1-Wire bus is referred to as "parasite power."

Figure 1 shows a block diagram of the DS18S20-PAR, and pin descriptions are given in Table 1. The 64-bit ROM stores the device's unique serial code. The scratchpad memory contains the 2-byte temperature register that stores the digital output from the temperature sensor. In addition, the scratchpad provides access to the 1-byte upper and lower alarm trigger registers (T_{H} and T_{L}). The T_{H} and T_{L} registers are nonvolatile (EEPROM), so they will retain their data when the device is powered down.

DS18S20-PAR BLOCK DIAGRAM Figure 1

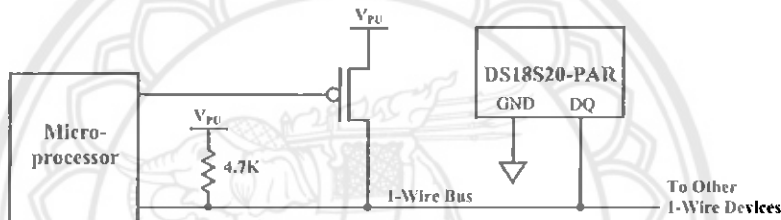
PARASITE POWER

The DS18S20-PAR's parasite power circuit allows the DS18S20-PAR to operate without a local external power supply. This ability is especially useful for applications that require remote temperature sensing or that are very space constrained. Figure 1 shows the DS18S20-PAR's parasite-power control circuitry, which "steals" power from the I-Wire bus via the DQ pin when the bus is high. The stolen charge powers the DS18S20-PAR while the bus is high, and some of the charge is stored on the parasite power capacitor (C_{PP}) to provide power when the bus is low.

The I-Wire bus and C_{PP} can provide sufficient parasite power to the DS18S20-PAR for most operations as long as the specified timing and voltage requirements are met (refer to the DC ELECTRICAL CHARACTERISTICS and the AC ELECTRICAL CHARACTERISTICS sections of this data sheet). However, when the DS18S20-PAR is performing temperature conversions or copying data from the scratchpad memory to EEPROM, the operating current can be as high as 1.5 mA. This current can cause an unacceptable voltage drop across the weak I-Wire pullup resistor and is more current than can be supplied by C_{PP} . To assure that the DS18S20-PAR has sufficient supply current, it is necessary to provide a strong pullup on the I-Wire bus whenever temperature conversions are taking place or data is being copied from the scratchpad to EEPROM. This can be accomplished by using a MOSFET to pull the bus directly to the rail as shown in Figure 2. The I-Wire bus must be switched to the strong pullup within 10 µs (max) after a Convert T [44h] or Copy Scratchpad [48h] command is issued, and the bus must be held high by the pullup for the duration of the conversion (t_{conv}) or data transfer ($t_{tr} = 10$ ms). No other activity can take place on the I-Wire bus while the pullup is enabled.

SUPPLYING THE DS18S20-PAR DURING TEMPERATURE CONVERSIONS

Figure 2



OPERATION – MEASURING TEMPERATURE

The core functionality of the DS18S20-PAR is its direct-to-digital temperature sensor. The temperature sensor output has 9-bit resolution, which corresponds to 0.5°C steps. The DS18S20-PAR powers-up in a low-power idle state; to initiate a temperature measurement and A-to-D conversion, the master must issue a Convert T [44h] command. Following the conversion, the resulting thermal data is stored in the 2-byte temperature register in the scratchpad memory and the DS18S20-PAR returns to its idle state. The DS18S20-PAR output data is calibrated in degrees centigrade; for Fahrenheit applications, a lookup table or conversion routine must be used. The temperature data is stored as a 16-bit sign-extended two's complement number in the temperature register (see Figure 3). The sign bits (S) indicate if the temperature is positive or negative: for positive numbers S = 0 and for negative numbers S = 1. Table 2 gives examples of digital output data and the corresponding temperature reading.

Resolutions greater than 9 bits can be calculated using the data from the temperature, COUNT REMAIN and COUNT PER °C registers in the scratchpad. Note that the COUNT PER °C register is hard-wired to

16 (10h). After reading the scratchpad, the TEMP_READ value is obtained by truncating the 0.5°C bit (bit 0) from the temperature data (see Figure 3). The extended resolution temperature can then be calculated using the following equation:

$$\text{TEMPERATURE} = \text{TEMP_READ} - 0.25 + \frac{\text{COUNT_PER_C} - \text{COUNT_REMAIN}}{\text{COUNT_PER_C}}$$

TEMPERATURE REGISTER FORMAT Figure 3

	bit 7	bit 6	bit 5	bit 4	bit 3	bit 2	bit 1	bit 0
LS Byte	2^6	2^5	2^4	2^3	2^2	2^1	2^0	2^{-1}
	bit 15	bit 14	bit 13	bit 12	bit 11	bit 10	bit 9	bit 8
MS Byte	S	S	S	S	S	S	S	S

TEMPERATURE/DATA RELATIONSHIP Table 2

TEMPERATURE	DIGITAL OUTPUT (Binary)	DIGITAL OUTPUT (Hex)
+85.0°C*	0000 0000 1010 1010	00AAh
+25.0°C	0000 0000 0011 0010	0032h
+0.5°C	0000 0000 0000 0001	0001h
0°C	0000 0000 0000 0000	0000h
-0.5°C	1111 1111 1111 1111	FFFFh
-25.0°C	1111 1111 1100 1110	FFCEh
-55.0°C	1111 1111 1001 0010	FF92h

*The power-on reset value of the temperature register is +85°C.

OPERATION – ALARM SIGNALING

After the DS18S20-PAR performs a temperature conversion, the temperature value is compared to the user-defined two's complement alarm trigger values stored in the 1-byte T_{H} and T_{L} registers (see Figure 4). The sign bit (S) indicates if the value is positive or negative: for positive numbers S = 0 and for negative numbers S = 1. The T_{H} and T_{L} registers are nonvolatile (EEPROM) so they will retain data when the device is powered down. T_{H} and T_{L} can be accessed through bytes 2 and 3 of the scratchpad as explained in the MEMORY section of this datasheet.

T_H AND T_L REGISTER FORMAT Figure 4

	bit 7	bit 6	bit 5	bit 4	bit 3	bit 2	bit 1	bit 0
	S	2^6	2^5	2^4	2^3	2^2	2^1	2^0

Only bits 8 through 1 of the temperature register are used in the T_{H} and T_{L} comparison since T_{H} and T_{L} are 8-bit registers. If the result of a temperature measurement is higher than T_{H} or lower than T_{L} , an alarm condition exists and an alarm flag is set inside the DS18S20-PAR. This flag is updated after every temperature measurement; therefore, if the alarm condition goes away, the flag will be turned off after the next temperature conversion.

The master device can check the alarm flag status of all DS DS18S20-PARs on the bus by issuing an Alarm Search [ECh] command. Any DS18S20-PARs with a set alarm flag will respond to the command,

DS18S20-PAR

so the master can determine exactly which DS18S20-PARs have experienced an alarm condition. If an alarm condition exists and the T_{H} or T_{L} settings have changed, another temperature conversion should be done to validate the alarm condition.

64-BIT LASERED ROM CODE

Each DS18S20-PAR contains a unique 64-bit code (see Figure 5) stored in ROM. The least significant 8 bits of the ROM code contain the DS18S20-PAR's 1-wire family code: 10h. The next 48 bits contain a unique serial number. The most significant 8 bits contain a cyclic redundancy check (CRC) byte that is calculated from the first 56 bits of the ROM code. A detailed explanation of the CRC bits is provided in the CRC GENERATION section. The 64-bit ROM code and associated ROM function control logic allow the DS18S20-PAR to operate as a 1-wire device using the protocol detailed in the 1-WIRE BUS SYSTEM section of this datasheet.

64-BIT LASERED ROM CODE Figure 5

8-BIT CRC	48-BIT SERIAL NUMBER				8-BIT FAMILY CODE (10h)		
MSB	LSB	MSB	LSB	MSB	LSB	MSB	LSB

MEMORY

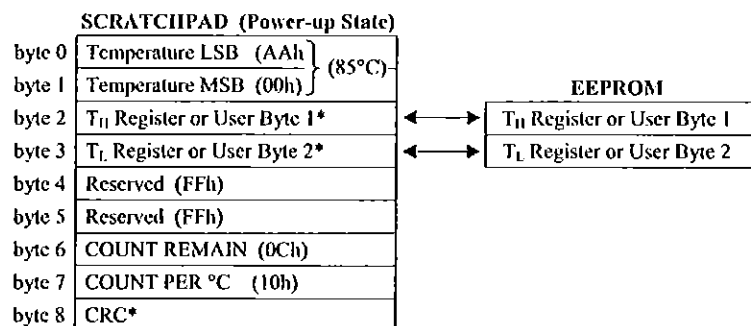
The DS18S20-PAR's memory is organized as shown in Figure 6. The memory consists of an SRAM scratchpad with nonvolatile EEPROM storage for the high and low alarm trigger registers (T_{H} and T_{L}). Note that if the DS18S20-PAR alarm function is not used, the T_{H} and T_{L} registers can serve as general-purpose memory. All memory commands are described in detail in the DS18S20-PAR FUNCTION COMMANDS section.

Byte 0 and byte 1 of the scratchpad contain the LSB and the MSB of the temperature register, respectively. These bytes are read-only. Bytes 2 and 3 provide access to T_{H} and T_{L} registers. Bytes 4 and 5 are reserved for internal use by the device and cannot be overwritten; these bytes will return all 1s when read. Bytes 6 and 7 contain the COUNT REMAIN and COUNT PER °C registers, which can be used to calculate extended resolution results as explained in the OPERATION – MEASURING TEMPERATURE section. Byte 8 of the scratchpad is read-only and contains the cyclic redundancy check (CRC) code for bytes 0 through 7 of the scratchpad. The DS18S20-PAR generates this CRC using the method described in the CRC GENERATION section.

Data is written to bytes 2 and 3 of the scratchpad using the Write Scratchpad [4Eh] command; the data must be transmitted to the DS18S20-PAR starting with the least significant bit of byte 2. To verify data integrity, the scratchpad can be read (using the Read Scratchpad [BEh] command) after the data is written. When reading the scratchpad, data is transferred over the 1-Wire bus starting with the least significant bit of byte 0. To transfer the T_{H} and T_{L} data from the scratchpad to EEPROM, the master must issue the Copy Scratchpad [48h] command.

Data in the EEPROM registers is retained when the device is powered down; at power-up the EEPROM data is reloaded into the corresponding scratchpad locations. Data can also be reloaded from EEPROM to the scratchpad at any time using the Recall E² [B8h] command. The master can issue “read time slots” (see the 1-WIRE BUS SYSTEM section) following the Recall E² command and the DS18S20-PAR will indicate the status of the recall by transmitting 0 while the recall is in progress and 1 when the recall is done.

DS18S20-PAR MEMORY MAP Figure 6





+5V-Powered, Multichannel RS-232 Drivers/Receivers

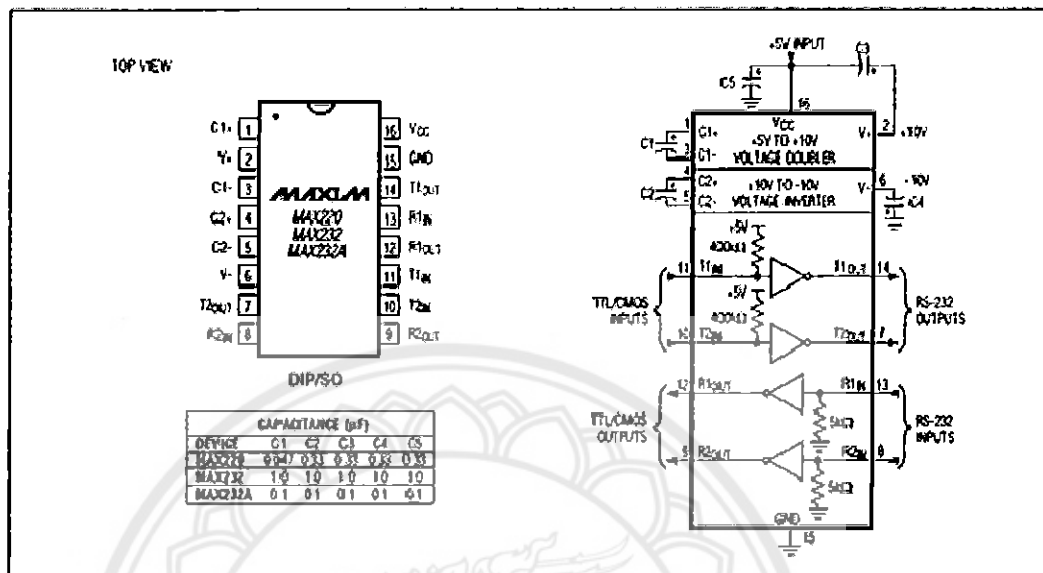


Figure 5. MAX220/MAX232/MAX232A Pin Configuration and Typical Operating Circuit

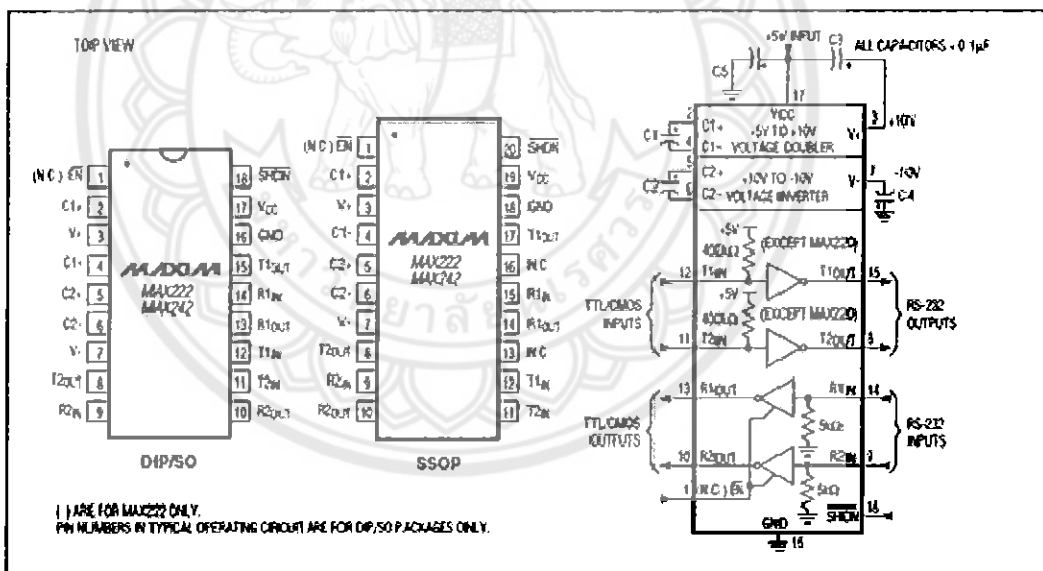


Figure 6. MAX222/MAX242 Pin Configurations and Typical Operating Circuit